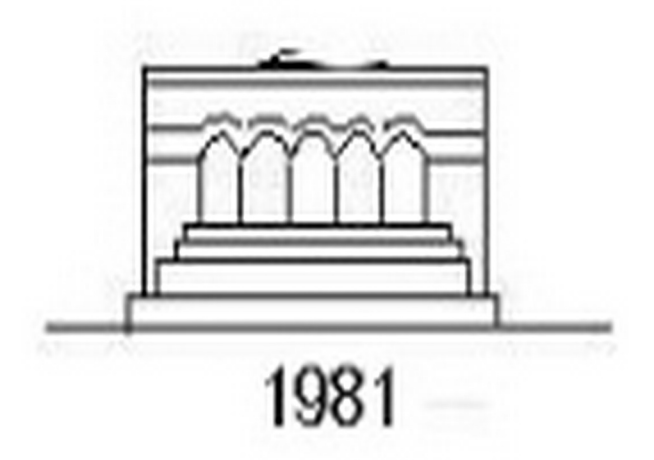
ՄԵԽԱՆԻԿԱ

МЕХАНИКА

MECHANICS



Մ հիսանիկա

XXXIV, Nº 4, 1981

Механика

А Г. БАГДОЕВ, А В. ШЕКОЯН

трехмерные нелинейные волны в Пьезодиэлектриках и пьезополупроводниках

Распространение звуковых воли в разных средах изучено в работах [1-3, 21].

Опубликовано много работ, в которых изучали акустические волны в пьезоэлектриках (см., напр., обзоры, монография [4-10]). В большинстве этих работ [4-9] ограничиваются рассмотренном одномерного приближения. В результате остаются вне поля эрения представляющие интерес попросы о пространственном распределении звуковых воли. зарядов, о фокусировке (дефокусировке), о самофокусировке (самодефокусировке) звуковых воли и о некоторых других эффектах.

В статье [10] выведены трехмерные уравнения для амплитуды акустической волим, однако вторые пространственные производные по поперечным координатам, которые при пространствению ограниченных волнах (например, при звуковых пучках) часто того же порядка, что и первая производная по продольной координате, там не сохранены.

Распространение звуковых воли в пьезоэлектриках описывается уравнениями геории упругости и Максвелла [1-10]. Эти уравнения с учетом нелиненностей (упругой, геометрической, электрострикционнов и электронно-конпентрационной) имеют следующий вид:

$$\phi \frac{\partial^2 R_i}{\partial t^i} = \frac{\partial \phi_{ik}}{\partial X_i}$$
(1)

rotrot
$$\vec{E}' = -\frac{1}{2} \left(\frac{\partial^2 \vec{D}}{\partial \vec{r_1}} + \frac{\partial \vec{f}}{\partial t_1} \right)$$
 (2)

$$\operatorname{div} \tilde{D} = -qn \tag{3}$$

$$\hat{J}_{t} = s_{ts}^{\dagger} E_{s}^{\dagger} + q d_{ts} \frac{\partial u}{\partial x_{s}} \tag{4}$$

$$D_i = \varepsilon_{ik} E_i + \varepsilon_{ikl} S_{kl} + a_{iklm} E_{ii}$$
 (5)

$$= \frac{\partial}{\partial \left(\frac{\partial u_i}{\partial x_k}\right)} \left| \frac{1}{2} S_{ij} S_{kl} - \frac{1}{6} C_{iklm} S_{ij} S_{kl} S_{mn} \right| - \epsilon_{ik} E_i - a_{iklm} E_m E_i$$
 (6)

$$S_{ij} = \frac{1}{2} \left(\frac{\partial u_{ij}}{\partial x_{ij}} - \frac{\partial u_{ij}}{\partial x_{ij}} + \frac{\partial u_{ip}}{\partial x_{ij}} \frac{\partial u_{ip}}{\partial x_{ij}} \right) \tag{7}$$

$$\sigma_{ih}^{0} = a_{ih} - a_{ik}^{nex} = q v_{ik} (n_0 + n)$$
 (8)

где u_i — компонента смещения, z — плотность, $\partial/\partial t$ и $\partial/\partial t_1$ — производные по времени при лагранжевом и эйлеровом описании, σ_{lk}^{\prime} — тензор напряжения, E и D — векторы электрического напряжения и смещения, q — заряд электрона, n_0 и n — равновесная и возмущенная звуковой волной концентрация злектронов, f — вектор плотности электрического тока, σ_{lk}^{0} , σ_{l

Для сокращения записи уравнения (1)—(8) выписаны в таком виде. гтобы они были верны как для пьезодиэлектрика, так и для пьезополупроводника.

Уравнения (2) в (3) написаны в переменных Эйлера, а остальные в переменных Лагранжа.

Будем предполагать, что звуковая волна распространяется в полубесконечной среде. Выберем ортогональную координатную систему x_1 , x_2 , x_3 так, чтобы плоскость $x_2 = 0$ совпала с поверхностью среды. Нормаль к фронту звуковой волны совпалает с осью x_3 . В направлении $x_3 > 0$ распространяется звуковая волна. Предполагается, что в плоскости $x_3 = 0$, $x_4 = 0$, а в ограниченной се части

Для простоты выбираем направление распространения нолны (ось x_3) совпадающим с осью симметрии кристалла и рассмотрим гексагональную (6 mm) и тетрагональную (4 mm) систему, в которых отличны от пуля [8, 11]: модули упругости $c_{12}=c_{22}, \ldots = c_{31}=c_{31}=c_{32}, \ldots = c_{32}, \ldots = c_{31}=c_{32}, \ldots = c_{32}, \ldots = c_{31}=c_{32}, \ldots = c_{31}=c_{32}, \ldots = c_{32}, \ldots = c_{33}, \ldots = c_{33}, \ldots = c_{34}, \ldots$ пнезомодули $c_{15}=c_{32}, c_{33}, c_{34}, \ldots = c_{32}, \ldots = c_{34}, \ldots =$

Будет рассмотрен случай, когда E_3 параллельно оси x_3 .

Переходим во всех уравнениях (1)—(8) к переменным Лагранжа. Тогда система (1)—(8) примет следующий вид:

$$\frac{\partial^{2}u_{1}}{\partial t^{2}} = c_{11} \frac{\partial^{2}u_{1}}{\partial x_{1}^{2}} + c_{11} \frac{\partial^{2}u_{2}}{\partial x_{1}\partial x_{2}} + c_{13} \frac{\partial^{2}u_{3}}{\partial x_{2}\partial x_{1}} + c_{22} \left(\frac{\partial^{2}u_{3}}{\partial x_{1}\partial x_{3}} + \frac{\partial^{2}u_{1}}{\partial x_{2}^{2}}\right) + \\
+ c_{11} \left(\frac{\partial^{2}u_{3}}{\partial x_{1}\partial x_{3}} + \frac{\partial^{2}u_{1}}{\partial x_{1}\partial x_{2}}\right) - c_{15} \frac{\partial E_{1}}{\partial x_{3}} - c_{31} \frac{\partial E_{3}}{\partial x_{1}} \qquad (9)$$

$$\rho \frac{\partial^{2}u_{2}}{\partial t^{2}} = c_{11} \frac{\partial^{2}u_{2}}{\partial x_{2}^{2}} + c_{12} \frac{\partial^{2}u_{1}}{\partial x_{1}\partial x_{2}} + c_{21} \frac{\partial^{2}u_{3}}{\partial x_{2}\partial x_{3}} + c_{11} \left(\frac{\partial^{2}u_{1}}{\partial x_{2}\partial x_{3}} - \frac{\partial^{2}u_{2}}{\partial x_{3}^{2}}\right) + \\
+ c_{11} \left(\frac{\partial^{2}u_{1}}{\partial x_{1}\partial x_{2}} + \frac{\partial^{2}u_{2}}{\partial x_{1}^{2}}\right) - c_{15} \frac{\partial E_{2}}{\partial x_{3}} - c_{31} \frac{\partial E_{3}}{\partial x_{3}} \qquad (10)$$

$$\rho \frac{\partial^{2}u_{3}}{\partial t^{2}} = (c_{13} + c_{11}) \left(\frac{\partial^{2}u_{1}}{\partial x_{1}\partial x_{3}} + \frac{\partial^{2}u_{2}}{\partial x_{2}\partial x_{3}}\right) - c_{15} \frac{\partial E_{2}}{\partial x_{3}} - c_{31} \frac{\partial E_{3}}{\partial x_{3}} \qquad (10)$$

$$\rho \frac{\partial^{2}u_{3}}{\partial t^{2}} = (c_{13} + c_{11}) \left(\frac{\partial^{2}u_{1}}{\partial x_{1}\partial x_{3}} + \frac{\partial^{2}u_{2}}{\partial x_{2}\partial x_{3}}\right) - c_{31} \frac{\partial E_{3}}{\partial x_{3}} - c_{31} \frac{\partial^{2}u_{3}}{\partial x_{3}} + c_{32} \frac{\partial^{2}u_{$$

$$+ a_{1} \left(E_{2} \frac{\partial^{2} u_{1}}{\partial t^{2} \partial x_{1}} + 2 \frac{\partial^{2} u_{1}}{\partial t \partial x_{2}} \frac{\partial E_{3}}{\partial t} + \frac{\partial u_{3}}{\partial x_{3}} \frac{\partial E_{2}}{\partial t^{2}} \right) + \left(e_{33} + a_{32} E_{3} \right) \frac{\partial^{2}}{\partial t} \left(\frac{\partial^{2} u_{1}}{\partial x_{3}} \right) + c_{33} \frac{\partial E_{3}}{\partial t} + q_{133} E_{3} \frac{\partial^{2} u_{1}}{\partial t} + q$$

$$+ \frac{\partial}{\partial x_1} \left(\frac{\partial u_1}{\partial x_1} + \frac{\partial u_2}{\partial x_2} \right) + e_{13} \Delta_1 u_1 + e_{11} \frac{\partial}{\partial x_1} \left(\frac{\partial u_1}{\partial x_1} + \frac{\partial u_2}{\partial x_2} \right) + e_{13} \frac{\partial^2 u_3}{\partial x_2} + e_{14} \left(\frac{\partial E_1}{\partial x_1} + \frac{\partial E_2}{\partial x_2} \right) + e_{13} \frac{\partial E_3}{\partial x_2} = -qn$$

$$(15)$$

rae $\Delta_1 = \frac{\partial^1}{\partial x_1} = \frac{\partial^2}{\partial x_2}$.

В уравшениях (9), (10), (12), (13), (15) опущены, а в (11), (14) упрощены пелвиейные члены, сохранены только те члены, в которые входят E_{μ} μ_{τ} и n В пьезополупроводинхах будем пренебрегать геометрической нелинейностью, тогда можно отождествлять переменные Лагранжа и Эйлера Поэтому в уравнениях (9)—(15) члены, обусловленые пьезополупроводинковыми свойствами, не изменились после нерехода к описанию Лагранжа.

В пьезодивлектриках и пьезополупроводниках звуковая волна распространяется совершенно различных образом, повтому рассмотрим их раздельно.

1. Поезодия сктрики. В этой среде n=j=0. Тогда основными тинами нелиненности будут упругая, геометрическая и электрострикционная. Уравнения, описывающие распространение звуковых воли в такой среде, — это (91 - (14) с учетом вышеуказанных условий.

Если ограничи и плимерным приближением, то связанная система уравнений (9)—(14) расшеплиется на пары уравнений (9), (12), (10), (13) и (11), (14), то есть волновые движения, обусловленные (E_1, u_1) , (E_2, u_2) и (E_3, u_3) распространяются раздельно, не взаимодействуя друг с другом.

Из системы (9)—(14) видно, что в трехмерном случае волноные цинжения взаимосвизаны и раздельно распространяться не могут.

В том случае, когла в среде распространяется гармоническая плоская продольная волна, в линейном приближении схорость ее имеет следующий вид.

$$v^{1} = \frac{c_{33}}{\rho \epsilon_{33}} - \frac{2a_{33}c_{11}E_{3}}{\rho \epsilon_{33}} - \frac{a_{33}(E_{3})}{(1.1)}$$

Если подставить в выражение (11) = 0, то v² совпадает со окоростью, которая была получена ранее для случая распространения звуковой волны с пьезодиэлектриках в одномерном приближения [4-8] Как видно из (1.1), при $e_{zz}=0$ среда под действием E_{z}^{0} как бы приобретает пьезосвойство [5].

Систему (9)—(14) удобно изучить в координатной системе, движущейся со скоростью волны,

$$\delta \tau' = \tau = t - \frac{x_3}{v}$$
 , $x_1 = \delta^{-1} x_1$, $x_2 = \delta^{-1} x_2$

где 5- малый параметр, который характеризует порядок малости нормальной к волие скорости частиц. Порядки x_{i-2} выбраны [1, 14] такими же, как в газодинамике.

Ввиду того, что у входа и среду создаются только продольные смещения, разумно предполагать, что поперечиме смещения и электрические поля малы по сравнению с продольными. Поэтому отношение смещений и электрических полей u_1, u_2, E_1, E_2, u_1 и E_1 к их характерным величинам имеют порядки малости δ^{h_1} , δ^{h_2} , δ^{h_3} , δ^{h_4} , δ^{h_4} , соответственно Учитывая это, в уравнениях (9), (10), (12) и (13) отбрасываем члены по порядку малости выше δ^{h_1} , а в уравнениях (11) и (14) — выше, чем δ . Далее последовательно исключаем величины $u_1, u_2, u_3, u_4, u_5, u_6$ и u_4, u_5, u_6, u_6 стоит под знаком дифференцирования по координатам u_4, u_5, u_6, u_6 а также в нелинейных членах u_6, u_6, u_6, u_6, u_6 и имеет следующий вид:

$$\underline{e_{13} + a_{13}E_3^0} \quad \frac{\partial u_2}{\partial \tau} \tag{1.2}$$

Под главными членами подразумеваем те члены, которые в данном уравнении по порядку — наибольшие.

Члены, которые содержат отношение скорости упругой волны к окорости света, как малые, пренебрегаются. Тогда для смещения и, получается следующее уравнение:

$$-\frac{\partial^2 u_3}{\partial z \partial x_3} + D\Delta_2 u_3 - G\frac{\partial^2 u_3}{\partial z^2} \frac{\partial u_3}{\partial z} = 0$$
 (1.3)

Для дальнейших исследований удобио уравнение (1.3) преобразовать к виду

$$\frac{\partial}{\partial z} \left(\frac{\partial \Psi}{\partial x_3} - G \Psi \frac{\partial \Psi}{\partial z} \right) = D \Delta_z \Psi \tag{1.4}$$

где $\Psi = \partial u_i/\partial \tau_i$

$$G = \left[\frac{3c_{11} + c_{21}}{2^{1/2}} + \frac{2\left(c_{11} + a_{33}E_{3}^{0}\right)^{2}}{2^{1/2}} \left(1 + \frac{3a_{33}}{2c_{33}}\right) \right]_{2}^{1/2}$$
(1.5)

$$D = \frac{v}{2c_{11}} \left\{ \frac{(c_{11} + c_{21})^{2}}{c_{21}} + c_{21} + \left[\frac{(c_{12} + c_{41})}{c_{41}} + \frac{a_{11}c_{13}}{c_{23}} + \frac{(c_{11} + 2a_{23}E_{3}^{0})}{c_{23}} \right] - \left[\left(\frac{c_{21}}{c_{21}} + \frac{a_{22}}{c_{23}} + \frac{a_{22}c_{23}}{c_{23}} + \frac{a_{22}c_{23}}{c_{23}} \right] - \left(\frac{a_{22}}{c_{23}} + \frac{a_{22}c_{23}}{c_{23}} \right) \right] - \left[\frac{a_{22}}{c_{23}} + \frac{a_{22}c_{23}}{c_{23}} + \frac{a_{22}c_{23}}{c_{23}} \right] - \left(\frac{a_{22}}{c_{23}} + \frac{a_{22}c_{23}}{c_{23}} + \frac{a_{22}c_{23}}{c_{23}} \right) - \left(\frac{a_{22}}{c_{23}} + \frac{a_{22}c_{23}}{c_{23}} + \frac{a_{2$$

В выражении (1.6) было пренебрежено малыми членами, содержащими пьезомодули, возведенные в степень выше второй. Из (1.5) видно, что когда $E_2^0 = -e_{20}/a_{20}$ среда ведет себя как чисто упругая с точки зрешия нелинейных свойсти

Уравнение (14) по своей математической форме собладает с урявлением ислинейной вкустики, выведенным в работах [13, 14] иля ограниченных эвуковых пучков, распространяющихся в жидких и газообранных средах без инсентации, в также с уравнениями, выведенными в [15, 16], если пренебречь в них диссипацией и дисперсией. Существенное различие заключается в том, что коэффициенты G и D могут быть $G=0,\ D<0,\$ что приводит к существенно новым свойствам. G=0 о шачает, что хоти в среде распространяется интенсивная волна, улектрострикционная и упругая нелинейности компенсируют друг друга, и волна распространяется как линейная

Сперва рассмотрим случай, когда G=0. Тогда для аксиально-симметричного и плоского случаев в безразмерных величинах уравнение (1.4) примет вид

$$\frac{\dot{\sigma}^2 R}{\dot{\sigma} \cdot \sigma x'} = \frac{N_1}{4} \left(\frac{\dot{\sigma}^2 R}{\dot{\sigma} z^2} - \frac{1}{5} \frac{\partial R}{\dot{\sigma} z} \right) \tag{1.7}$$

где $x' = kx_3$, $V_1 = 4D/k^2\alpha^2$, $R = E_2 E_0$, v = r'a, $E_0 =$ амплитуда волны, а a =поперечный размер пучка при x' = 0, v =частота, v = радиальная координата, которая и плоском случае сонпадает с x_1 или x_2 .

Предполагая, что при $x_3=0$

$$R = e^{-\sin\theta} \tag{1.8}$$

н применяя метод разделения переменных для плоского и цилиндрического случаев. Для R получим выражение (IX.2.14) и (IX.2.17) работы [14]. При > 0 все происходит так, как в газолинамике, то есть из-за лифракции звуковыя волна расходится, первоначальный плоский фронт при больших и переходит в цилипдрическую или сферическую волну в смысле затухвиня решения, а поверхности волны являются эллипсами. В отличие от газодинамики при $V_1 < 0$, хотя амплитуда продолжает оставаться такой же, как и для расходящейся полны, при больших фронт цолны имеет форму гиперболы

Когда нелинейные эффекты проявляются сильнее, чем дифракционные, уравнение (1.4) в безразмерных переменных примет инд

$$\frac{\partial}{\partial \theta} \left(\frac{\partial R}{\partial x} - \pi R \frac{\partial R}{\partial \theta} \right) = 0 \tag{1.9}$$

гле $\theta = \omega \tau$, $x = GE_0 \omega x_3$, $\alpha = 1$ или -1 в зависимости от знака G. Предположим, что остается в силе условие (1.8). Когда $\alpha = 1$, звуковая волна распространяется, как в газах и жидкостях. При малых 0 < x < 1 решение уравнения (1.9) можно представить в виде формулы (IX.3.1) из [14], которое при x > 1 переходит в пилообразную волну сжатия. Когда $\alpha = -1$, при больших x в среде распространяется пилообразная волна разрежения. В обоих случаях ширина пучка звуковой энергии остается пеизменной.

В общем случае при наличии дифракции и нелинейности изучение для больших и мялых K=2D/ уравнения (1.4) дает результаты близкие тем, что были получены выше [14].

Когда распространяется ограниченный в пространстве в виде пучка импульс сжатия или разрежения ограничиваясь приближением ислинейной геометрической акустики, полобно [14] можно показать, что при G < 0 импулье ежатия, распространяясь, становится сходящимся, увеличивается длительность импульса, а импулье разрежения расходится, длительность импульса уменьшается. В газах и жидкостях при G > 0 имеет место обратный характер распространения пучка.

Уравкение типа (1.4) можно вывести также тогда, когда звуковая волна распространяется в кристалле ромбической кристаллической системы с симметрией (2 mm) влоль оси второго порядка. В этой кристаллической системе исе постоянные, отличные от нуля, остлются те же, что и в гексатональной и тетрагональной системах, только некоторые равенства модулей, приведенных выше, здесь не осуществляются [8, 11]. Это приволит к тому, что правая часть уравнения (1.4) имеет выд:

$$D_1 \frac{\partial^2 E_2}{\partial x_1^2} + D_2 \frac{\partial^2 E_3}{\partial x_2^2}$$

где D, а D_2 из лучается из D замен и c_{44} , \dots c_{15} , ε_{41} на c_{55} , ε_{42} , соответстве ию. Это означает, что аксиально симметричный исчок в этой кристалличе кой системе осуществить исвозможно. Оливко после перехода к квординатной системе $x = (\pm D_1)^{-1} x_4$, $x_2 = 0^{-1} x_5$, получим уравнение (1.4), если в нем положить $D = \pm 1$.

До сих пор мы рассматривали однородную среду. В неоднородной среде для произвольной волны старшие производные от u_3 не меняются [17] и только должно быть добавлено в (1.3) слагаемое, содержащее производную первого порядка $\partial u_3/\partial z$, которое того же порядка, что и сстальные члены. Не проводя выкладок, можно утверждать, что сле-

дует в (1.3) прибавить $\frac{\partial B_{\alpha}}{\partial z} d (\ln z)/dx_3$, $\varepsilon = 0$ диомерное по Z_{α} (нор-

мали к волне) личейное лучевое решение для — Вначение можно определьть по уравнению, выражающему сох, внеиме нозмущенной энергии волны розе const. выведенному в [18, 19]. — скорость частии, в плещадь фронта волны внутри выбранной лучевой трубки.

2. Пьезополупроводники. В этих средах имеются свободные подвижные заряды, которые могут создавать электрический ток. Для простоты будем рассматривать электронный полупроводник. Полученные результаты легко обобщить также на дырочные полупроводники.

Под воздействем звуковой волны происходит перераспределение концентрации электронов, в результате чего первоначальная равновесная концентрация п_в (незанисящая от координат и времени) изменяется и концентрация становится зависящей от координат и времени [4—9].

Наличие электронной подсистемы приводит к поглощению и дисперсии звуковой волны. Кроме того, основной является электронная компентрационная нелинейность [4, 5, 9], которая выявляется при меньших интенсивностих, чем другие нелинейности, как например, упругая, электрострикционная. Поэтому в уравнениях (9)—(15) надо пренебрегать всеми нелинейными членами, кроме тех, которые обусловлены концентрационной ислинейностью.

Уравнения (11), (14) и (15) после перехода в инх к одномерному при лижению и после линеаризации совпадают с ранее получениыми уравнениями для пьезополупроводников [4—8].

Упростим уравнения (9)—(15), вводя как в случае пьезодналектриков, малый нараметр в Величины п и г имеют порядок в. Отбрасывает в уравнениях (9) и (10) члены выше в в (12) и (13) — выше в а в уравнениях (11), (14) и (15) — выше в. Решение полученной системы уравнений ишем в следующем виде:

$$E_{00}(x_1, x_2, x_3) \exp[t - kx_3] + \kappa. \ 1$$

$$= \frac{1}{2} \{ [u_{01}(x_1, x_2, x_3), u_{01}(x_1, x_2, x_3), u_{01}(x_1, x_2, x_3)] + \kappa. \ 1 \}$$

$$= u_1, E_1, n = \frac{1}{2} \{ [u_{01}(x_1, x_2, x_3), E_{01}(x_1, x_2, x_3), u_{01}(x_1, x_2, x_3)] \}$$

$$\times \exp[i(u_1t - kx_3)] + [u_1(x_1, x_2, x_3), E_{03}(x_1, x_2, x_3), u_{01}(x_1, x_2, x_3)] \times$$

$$\times \exp[2t(u_1t - kx_3)] + \kappa. \ c. \}$$

$$(2.1)$$

где $\omega_1 = \omega + i\alpha$, $\omega_1 + \kappa$ омилексная частота, $\alpha + \kappa$ оэффициент поглощения.

После подстановки (2.1) в упрощенную систему уравнений (9)—
(15) получим новую систему дифференциальных уравнений для амплитуд. При выводе этих амплитудных уравнений предполагается, что для
амплитуд выполняется неравенство типа

$$\left| \frac{\partial^2 u_{03}}{\partial x_3^2} \right| \ll k \left| \frac{\partial u_{00}}{\partial x_3} \right|$$

Последовательно исключаем амплитуды u_{01} , u_{02} , E_{01} , E_{02} , u_{01} , u_{03} , E_{03} , u_{04} , u_{05}

все амплитуды в нелинейных членах, исключаются с использованием главных членов соответствующих уравнений. Тогда получается следующее уравнение для амплитуды u_{az} :

$$A\Delta : u_{03} - 2ikB \frac{\partial u_{03}}{\partial x} + Pu_{03} = Cu_{03} |u_{03}|^2$$
 (2.2)

Коэффициенты A, B, P и C — комплексные. Если бы A — B = 1, P = 0, а C было действительной величниой, то уравнение (2.2) совпало бы с известным уравнением иелинейной оптики [20], а при переходе к одномерному приближению ($\Delta_{\perp}=0$) — с уравнением интенсивности звуковой волны [4, 9].

Аналогичным образом, как в пьезодиэлектриках, уравнение (2.2) можно обобщить для ромбических кристаллов с симметрией (2 mm), однако после замены переменных из-за комплексиости коэффициентов новые переменые будут также комплексными.

Соотношение P=0 дает дисперсионное уравнение. Оно комплексное и третьей степени относительно ω_1 . Решаем его методом последовательного приближения, считая, что поглощение и дисперсия малы. В качестве нулевого приближения берем частоту знуковой волны в упругом среде $\omega^2 = c_{33}k^2/p$. Тогда для частоты и поглощения получим

$$\mathbf{w} = \left(\frac{k^2 c_{23}}{p}\right)^{1/2} \left\{ 1 + \frac{c_{23}^2 k^2}{2c_{33} c_{33}} \frac{(v_0 - v_0)^2 + (k^2 d_{13} + v_{13}/c_{13}) d_{33}}{k^2 (v_0 - v_0)^2 + (k^2 d_{23} + c_{23}/c_{23})^2} \right\}$$
(2.3)

$$z = \frac{c_{33}v_4}{2c_{33}\varepsilon_{33}} \frac{k(v - v_4)s_{33}v_{44}}{+(k^2d_{33} + s_{33}/\varepsilon_{33})^2}$$
(2.4)

где $v_i = -\mu_i E_i$.

Из (2.4) видно, что при $v_0-v_1<0$, a<0, то есть звуковая волна усиливается. Это совпадает с полученным ранее результатом [4—8].

В общем виде коэффициенты A, B и C очень громоздки, поэтому надо их упростить. Во-первых, как малыми величинами пренебрежем членами, которые содержат отношение скорости звуковой волны к скорости света. Кроме того, в выражениях для A, B и C можно пренебречь членами, содержащими электромеханическую постоянную C C C C во всех тех случаях, пока это пренебрежение не приведет к равенству нулю коэффициентов A, B и C. Электропроводность и коэффициент диффузии также малы, поэтому в суммах сохраняем только члены, содержащие их первый порядок. После этих упрощений, деля уравнение на коэффициент B и отделяя минмые и действительные части в коэффициентах, получим

$$(A_1 + iA_2) \triangle_1 u_{03} - 2ik \frac{\partial u_{03}}{\partial x_1} = (C_1 + iC_2) u_{03} |u_{03}|^2$$
 (2.5)

где <mark>а) г_о го</mark> немало

$$A_{1} = \frac{1}{M} \left[(c_{11} + c_{41})^{2} / (c_{33} - c_{44}) \right] + \frac{1}{M} \left[(c_{11} + c_{41})^{2} / (c_{33} - c_{44}) \right] + \frac{1}{M} \left[(c_{33} - c_{44})^{2} / (c_{33} - c_{44}) \right]$$

$$= \frac{1}{M} \left[(c_{33} + c_{44})^{2} / (c_{33} - c_{44}) \right]$$

$$= \frac{1}{M} \left[(c_{33} + c_{44})^{2} / (c_{33} - c_{44}) \right]$$

$$= \frac{1}{M} \left[(c_{33} + c_{44})^{2} / (c_{33} - c_{44}) \right]$$

$$= \frac{1}{M} \left[(c_{33} + c_{44})^{2} / (c_{33} - c_{44}) \right]$$

$$= \frac{1}{M} \left[(c_{33} + c_{44})^{2} / (c_{33} - c_{44}) \right]$$

$$= \frac{1}{M} \left[(c_{33} + c_{44}) / (c_{33} - c_{44}) \right]$$

$$= \frac{1}{M} \left[(c_{33} + c_{44}) / (c_{33} - c_{44}) \right]$$

$$= \frac{1}{M} \left[(c_{33} + c_{44}) / (c_{33} - c_{44}) \right]$$

$$= \frac{1}{M} \left[(c_{33} + c_{44}) / (c_{33} - c_{44}) \right]$$

$$= \frac{1}{M} \left[(c_{33} + c_{44}) / (c_{33} - c_{44}) \right]$$

$$= \frac{1}{M} \left[(c_{33} + c_{44}) / (c_{33} - c_{44}) \right]$$

$$= \frac{1}{M} \left[(c_{33} + c_{44}) / (c_{33} - c_{44}) \right]$$

$$= \frac{1}{M} \left[(c_{33} + c_{44}) / (c_{33} - c_{44}) \right]$$

$$= \frac{1}{M} \left[(c_{33} + c_{44}) / (c_{33} - c_{44}) \right]$$

$$= \frac{1}{M} \left[(c_{33} + c_{44}) / (c_{33} - c_{44}) \right]$$

$$= \frac{1}{M} \left[(c_{33} + c_{44}) / (c_{33} - c_{44}) \right]$$

$$= \frac{1}{M} \left[(c_{33} + c_{44}) / (c_{33} - c_{44}) \right]$$

$$= \frac{1}{M} \left[(c_{33} + c_{44}) / (c_{33} - c_{44}) \right]$$

$$= \frac{1}{M} \left[(c_{33} + c_{44}) / (c_{33} - c_{44}) \right]$$

$$= \frac{1}{M} \left[(c_{33} + c_{44}) / (c_{33} - c_{44}) \right]$$

$$= \frac{1}{M} \left[(c_{33} + c_{44}) / (c_{33} - c_{44}) \right]$$

$$= \frac{1}{M} \left[(c_{33} + c_{44}) / (c_{33} - c_{44}) \right]$$

$$A_2 = -\frac{1}{A!} \left[2z_{33} k \left(c_0 - v_d \right) \left(c_{33} + k c_{33} d_{34} \right) \left(c_{13} + c_{44} \right)^2 / (c_{33} - c_{44}) \right]$$
 (2.7)

где

$$M = c_{13} \left[(v_{13} + v_{14})^{2} + v_{24} + (v_{14} - v_{14})^{2} \right]$$

нри

$$k^{2}t_{11}(v_{0}-v_{d})^{2} \gg (z_{11}+k^{2}t_{11}d_{11})$$

$$C_{1} = -9\rho_{1}k^{1}(v_{0}-v_{d})^{2}(z_{11}+k^{2}t_{11}d_{11}) \mid z_{11}(-v_{d}) \mid \cdot$$

$$+ 2kd_{11}(z_{11}+k^{2}t_{11}d_{11}) \mid T^{-1}$$

$$C_{2} \qquad (2.8)$$

где

$$T = 4c_{13}(s_{13} + k^2s_{23}d_{13}) \left\{ \left[s_{23}(v_0 - v_d) + 2kd_{13}(s_{23} + k^2s_{23}d_{23}) \right]^2 + 4(v_0 - v_d)^3 (s_{23} + k^2s_{23}d_{23})^4 \right\}$$

когда

$$k^{3} c_{33}^{2} (v_{0} - v_{d}) \ll (z_{33} + k^{3} z_{33} d_{33})$$

$$C_{1} = 3p_{1} k^{3} c_{33}^{2} |v_{0} (2z_{33} + \cdots + v_{d} z_{33})|$$

$$C_{2} = 0$$
(2.9)

где

$$D = 8c_{33}\varepsilon_{33}^4 (v_0 - v_0)^3 [(v_0^2_{11} - (v_0 - v_d)^3]$$

$$p_1 = e_{(3)}^4 \mu_{33}^2 e^{-2st}$$

б) в случае $v_1 - v_2 = 0$

$$A_1 = \frac{c_{11}}{c_{12}} - \frac{c_{23}}{c_{23} - c_{43}}, \quad A_3 = 0$$
 (2.10)

$$C_{1} = \frac{1}{\rho} \varepsilon_{1}^{1} k^{2} \mu_{33}^{2} d_{33} z_{33} \tag{2.11}$$

$$C_1 = -c_1 s_{11} \left(s_{21} + 4 v_0 k s_{22} \right) \tag{2.12}$$

гле

$$p = 2r_{11}(z_{21} + z_{22})^{2}$$

Решение уравнения (2.5) будем искать в следующем виде:

$$u_{\infty} = a \exp(t/s) \tag{2.13}$$

где а — действительная часть амплитуды, а S — эйконал. После подстановки (2.13) в (2.5), отделяя минмые и действительные части получим

$$A_{1}\Delta_{1}a - A_{2}a(\nabla S)^{2} - 2A_{2}(\nabla a)(\Delta S) - A_{2}a\Delta S + 2ak\frac{dS}{dx_{2}} = C_{1}a^{3}$$
(2.14)

$$A_{3}\Delta \ a - A_{3}a (\nabla_{\perp}S)^{2} + 2A_{1}(\Delta_{\perp}a)(\nabla_{\perp}S) + A_{1}a\Delta_{\perp}S - 2k \frac{\partial a}{\partial x_{3}} = C_{2}a^{3}$$
(2.15)

где ∇ — граднент по x_1 и x_2 .

Решение этон системы ищем в виде

$$u = a_0(x_3) + a_1(x_1, x_2, x_3), \qquad S = S_1(x_3) + S_1(x_1, x_2, x_3)$$
 (2.16)

где a_n и S_n медленно меняющиеся амплитуда и энконал одномерной иелинейной невоэмущенной волны. В силу того, что $|w_1t-kx_3|$ намного меньше κx_3 и w_1t , можно в выражениях (2.8), (2.9), (2.11) и (2.12) в мамом выражении at в экспоненте положить $t \approx \frac{x_3}{v}$. Как видно, переменные коэффициенты в уравнения (2.5) мало меняются по длине волиц

Подставляя (2.16) в (2.14) и (2.15), исключая S_{ω} линеаризуя уравнения, получим систему уравнений

$$A_1 \Delta_1 a_1 - A_2 a_0 \Delta_1 S_1 - 2k a_0 \frac{\Delta_1}{\partial x_1} - 2a^2 C_1 a_1 = 0$$
 (2.17)

$$A_2 \Delta_2 a_1 + A_1 \sigma_1 \Delta_2 S_2 - 2k \frac{da_1}{dx_1} - 3C_1 a_2 c_1 = 0$$
 (2.18)

Поскольку функции a_0 , C_2 и C_1 медленно меняются по длине возмущенной волны $2\pi k_3$, решения уравнений (2.17) и (2.18) имеют следующий вил:

$$a_1 = a \exp \{i(k_1 x_1 + k_2 x_2 + k_1 x_1) |$$

$$S = S'_1 \exp \{i(k_3 x_1 + k_2 x_2 + k_1 x_1)\}$$
(2.19)

Подставляя (2.19) в (2.17) и (2.18), получим систему алгебранческих уравиений относительно и S_1 , которые имеют непулевое решение, если детерминант равняется нулю. Из последнего условия находим выражение для k_{3_1} имеющее вид

$$k_3' = \frac{1}{A_2} \left[l \left(2A_2 k_1^2 + 4a_1^2 C_2 \right) \pm \left[- \left(2A_2 k_1^2 + 3a_0^2 C_2 \right)^2 + 4k_1^2 \left[k_1^2 \left(A_2^2 + A_1^2 \right) + a_1^2 \left(3A_2 C_2 + 2A_1 C_1 \right) \right] \right]^{2/3} \right]$$
(2.20)

где $k_1^2 \equiv (k_1)^2 + (k_2)^2$.

Условие устойчивости волны имеет вид: $\lim_{t\to\infty} 0$ ($x_3>0$). Теперь видно, что в случае б), когда $t\to0$ и $t\to0$, звуковая волны устойчивы.

В случае а) пусть $2A_*k^*-3a_*C_*>0$, тогда имеет место устойчивость при k^* $(A_1+A_1^2)=a_*^*(3A_*C_*-2A_*C_*)>0$, при обратном знаке имеется неустойчивость. Если же $2A_*k^2-3a_0^2C_2<0$, имеется неустойчивость. Допустим $v_0-v_*>0$, тогда усиленное условие неустойчивость будет иметь вид: $k^4a_0^2/k^*<-2A_2k^4/3c_*$, гле c_* получается из иыражения C_2 , если полставить и него $\exp(-2zt)\approx 1$. Для CdS_* , когда $k=2\cdot 10^{-1}$ м, а $z_{22}=10^{-2}$ ом $-M_*$, $k^4a_0^2/k^4<4\cdot 10^{-16}$, то есть уменьшение амплитуды a_0 усиливает явление неустойчивости.

Продольная неустойчивость $(k_1=0)$ всегда имеет место при $C_2>0$ и не имеет места при $C_2<0$. Амплитуда a_0 не влияет на устойчивость.

Для безразмерной ширины ососимметричных пучков решение имеет вид

$$f^{2} = \left(\frac{1}{R^{2}} - \frac{E^{2}}{2R} - \frac{E^{2}}{2R} - \frac{1}{2R^{2}} - \frac{1}{2R^{2}} + \frac{1}{2R^{2$$

Институт механики АН Арминской ССР

Hocrymuna 22 IX 1980

Ա Գ. ԲԱԳԴՈԵՎ, Ա Վ. ՇԵԿՈՏԱՆ

նՌԱՁԱՓ ՈՉ ԳԾԱՅԻՆ ԱԼԻՔՆԵՐԸ ՊՅԵԶՈԴԻԷԼԵԿՏՔԻԿՆԵՐՈՒՄ ԵՎ ՊՅԵԶՈԿԻՍԱՀԱՂՈՐԴԻՉՆԵՐՈՒՄ

Udhahard

Արտածված ևն կար^Հ ալիրների տարածման հավասարումները հռ<mark>աչափ</mark> պլեզոդիէլեկտրիկ միջավայրի համար։ Հաշվի են առնվում երկրաչափա<mark>կան,</mark> առաձգական և էլեկտրոստրիկցիոն ոչ գծալնությունները։ Ցույց է տրվում, որ կարող ևն առաջանալ իւտացման և նոսրացման հարվային ալիրներ։

Եռաչափ դեպքի համար արտածված են նաև մողուլացված ալիքների հավասարումները պլեզոկիսահաղորդիչ միջավայրի համար։

Ուսումնասիրված են ալիրների կայունության պայմանները։

THE THREE—DIMENSIONAL NONLINEAR WAVES IN PIEZODIELECTRICS AND PIEZOSEMICONDUCTORS

A. G. BAGDOEV, A. V. SHEKOYAN

Summary

The derivation of short waves equations in tree-dimensional case when the elastic wave propagates in plezodielectric with geometrical elastic and electrostrictional nonlinearities is presented. It is shown that

rarefaction and compression shock waves may be generated. The derivation of the modulation equation in three-dimensional case for piezosemi-conductor is given. The stability condition for quasimonochromatic wave is examined.

ЛИТЕРАТУРА

- 1. Рысков О. С. Распроегранение поли пеоднородных средях. ПМТФ, 1961, № 2
- 2. Нисул У. К., Энегльбрехт Ю. К. Пелянейшие и линейные переходные волновые процессы деформации в термоупругих и упругих телах. Изд. АН Эстопской ССР, Институт виберпетики, Таллии, 1972.
- Басооси А. Г. Определение окрествости фронтов воли в пространственной звдаче.
 Изв. АН Арм. ССР, Механика, 1977. 28, № 6
- 4. Гуревич В. Л. Теория акустических свойсти пьедоэлектрических полупроводников. ФТП, 1968, т. 2, № 11.
- 5. Протолойт В_ И: Взаимодействие электрониы) потоков с упругими волнами решетки. УФН, 1969, т 97, № 2.
- Мак-Фи Дж Распространение и успление звуковых воли в пьезоэлектрических полупроводниках. В ки Физическая акустика» под ред. У. Мэзона, т. IV, часть А. М., Изд. «Мир», 1969.
- Тругал Р., Эльборм Ч., Чик Б. Ультраннуковые методы в физике твердого гела. М., Изд. «Мир», 1972.
- 8. Такар Дж., Рэмпгон В. Гиперанук в филике гиер вы тела. М., Изд. «Мир», 1975.
- Гуляев Ю. В. К нелинейной теории усиления звука в полупроводниках. ФГТ, 1970, т. 12, № 12.
- Левин В. М., Пустовойт В. И. Геория взаимодействия акустических поли в полупроводниках. ЖЭТФ, 1969, т. 56, № 6
- Берлинкур Д., Керин Д., Жаффе Г. Пьезоэлектрические и пьезомагнитные материалы и их применение в преобразователях. В ки «Физическая акустика» под ред. Мэзона, т. 1, часть. А. М., «Мир», 1966.
- 12. Най Дж. Физические спойства кристаллов М., Пад. «Мир», 1967
- Заболотская Е. А., Холлов Р. В. Кназин. эские волны в ислинейний акустике ограинченных пучков. Акуст. ж., 1969, т. 15, № 1.
- Руденко О. С., Солукк С. Н. Теоретические основы нелинейной вкустики. М., Иза-«Наука», 1975.
- Багдого А. Г., Оганян Г. Г. Распространение модулированных нелинейных воли в релаксирующей газожидкостиой смеси. Изп. АН СССР, Механика жилкости и газа, 1980, № 1.
- Оганян Г. Г. Распространение слабых воли и релаксирующей газожидкостной смеси. Изв. АН Арм ССР, Механика, 1979, т. XXX, № 2.
- Баедоев А. Г., Даноян З. Н. Исследование движения среды в окрестиости точка касания ударных поли в линейной и нелинейной постановке. Жур вычисл. математ, и мат. физики, 1972, т. XII, № 6
- Bretherton F. P., Garrett J R. Wavetrains Inhomogenues moving media. Proc. Roy Soc., 1968, vol. A 302, No. 1471.
- Бабич В. М. Лучевой метод вычисления интенсивнасти волновых фронтов в случае упругой неоднородной анизотронной среды. В сб. «Вопросы динамической теории распространения сейсмическия воли Л. Изд JIIV, 1961.
- 20. Ахманов С. А., Сухоруков А. П., Хохлов Р. В. Самофокуспровка и дифракция евета в целинейной средс. УФН, 1967, т. 93, № 1
- 21. Федоров Ф. И. Теория упругих воли в кристаллах. М., Паухар, 1965.

м. х. гукасян

О ВЫЧИСЛИТЕЛЬНЫХ АЛГОРИТМАХ ОПТИМИЗАЦИИ ЛИНЕЙНЫХ УПРАВЛЯЕМЫХ СИСТЕМ С РАСПРЕДЕЛЕННЫМИ ПАРАМЕТРАМИ

В работе рассматриваются методы решения линейных управлиемых систем уравнений с частными производными и оптимального управления в этих системах. В отличие от систем, описываемых обыкновенными дифференциальными уравнениями, задача об управляемости систем с распределенными параметрами оказывается весьма сложной даже в линейном случае. Рассматриваемые в работе алгоритмы основываются на достаточных условиях оптимальности, предложенных В. Ф. Кротовым

Основным этапом решения оптимизационных задач этим методом является разрешение, так называемой, «элементарной операции» (ЭО).

В статье приводятся испые способы реализации ЭО для линейных систем с распределенными параметрими и квадратичным критерием качества.

1. Постановка задачи

Пусть дано множество T—прямоугольник t' (j=1,2,...,m) векторного пространства R^n . На множестве T определены пары вектор-функций (x(t), u(t)), удовлетворяющие условиям:

(1°) вектор-функции x (t) непрерывны, кусочно-дифференцируемы и принимают значения из векторного пространства R^n :

 (2^c) вектор-функции u(t) непрерывны и принимают значения из векторного пространства

 (3^c) на множестве T нары (x(t), u(t)) удовлетноряют системе дифференцияльных уравнений

$$\frac{dx}{dt} = a^{k} - b^{k}_{jk} x^{k} \quad (i, l = 1, ..., n; k = 1, ..., d; j = 1, ..., m)$$
 (1.1)

Здесь a_i , b_i^i , — произвольные заданные числа; по одинаковым значнам i, дважды входящим и произведение, чодразумевается сумми рование.

В точках границы S множества T на функции x(t) могут быть наложены дополнительные условия. Пары вектор-функции (x(t), u(t)), удовлетворяющие перечисленным пыше условиям, обозначим через D.

Условие управляемости процессы означает, что множество D не пусто. Обозначим через W множество функций q(t), заданных на границе S, таких, что для каждой из них найдется пара $(x(t), u(t)) \in D$,

$$x\left(t\in S\right)=q\left(t\right)$$

Введем в рассмотрение также множество E пар функций x(t), u(t), удовлетворяющих (1.1). На мнежестве E задян функционал 1 вили

$$\int_{Y}^{\infty} f[t, x(t), u(t)] dt + F[x(t \in S)]$$

Здесь $f^{\bullet}(t, x, u)$ — заданная функция, F[q(t)] — функционал, задинный на W.

В этой статье рассматрилется случай, когда функция $f^{o}(t, x, u)$ и функционал F квадратичны по аргументам x и u, более того, ны будем рассматринать тот случай, когда функционал F представляет собой средненвадратичное отклонение граничных значений фазовых координат процесса от заданных функционал При этих предположениях функционал 1 запишется следующим образом:

$$I = \int_{I} (a_{i}^{0} x^{i*} - b_{i}^{0})^{2} dt_{j} + \sum_{i=1}^{n} \sum_{j \neq i} \left[(x_{i}^{0} - h_{i}^{0})^{2} + (x_{i}^{0} - h_{j}^{0})^{2} \right] dt_{j}$$
 (1.2)

где $x^{0.4l} = x^{i}$ ($t^1, t^2, \dots, t_{0.1}^l, \dots, t^{n}$), а $h_j^{i,1l}$ — заданные функции m-1 аргументов ($t^1, t^2, \dots, t^{n-1}, \dots, t^{n-1}$): T^1 — сечение прямоугольника T при произвольном фиксированном значении аргумента $dt_j = x^{i} + x^{i} + \dots + x^{i-1} + x$

Всюду в дальнейшем будем считать, что коэффициенты a_I^0 , b_I^0 , $(i=1,\ldots,n;\ k=1,\ldots,d)$ положительны.

Вид подынтегральных выражений во втором слагаемом может быть легко обобщен с сохранением принципа среднеквадратичного отклонения для функционала F. в частности, можно рассматривать отклонение линейной комбинации фазывых координат процесса от заданной функции.

Рассматринаются следующие задачи.

1. Отыскание допустимого процесса, где требуется найти последонательность процессов $x_i(t)$, $u_i(t) \in E$, сходящихся в специально оговоренном смысле к D:

$$|z_{\varepsilon}(t), u_{\varepsilon}(t)| \rightarrow D$$

2. Минимнадция функционала / на $D_{\rm c}$ когда помимо п. 1 от последовательности $\{x_a, u_c\}$ требуется

$$I(\bar{x}_i, \bar{u}_i) - d = \inf_{D} I$$

В этом пункте мы вкратце изложим метол решения задач 1 и 2, который дай в работе [2] и который оппрается на достаточные услочия оптимальности

Обозначим $f_{+}^{i}(t, \mathbf{x}, \mathbf{u})$ правые части дифференциальных уравнений (1.1).

Введем в рассмотрение класс П функций $\pi(t,x)$, отображающих прямое произведение $T \times R^n$ в R^m , непрерывных и непрерывно-дифференцируемых, а также следующие конструкции:

$$R(t, x, u) = \frac{1}{|x|} (x, u) + \sum_{j=1}^{n} \frac{1}{|x|} (x, u)$$

На класс П наложим дополнительное условие, чтобы функция R(t,x,u) была определена и непрерывна и были определены величины m_{u}/t (φ).

Соглясно результатам [1], при всех $q \in \Pi$ имеем: 1) L(x, u) = I(x, u), если (x, u) = 2) $L(q) \le d$. Отсюди следует, что если процесс $x, u \in D$ и функция $q \in \Pi$ таковы, что L(q, x, u) = L(q), то

$$I(\bar{x}, \bar{u}) = \min_{D} I = d - I(\bar{\varphi}) = \max_{\Pi} I(\bar{\varphi})$$

При этом значения x(t), u(t) при каждом $t \in T^*$ обеспечивают максимум функции R(t, x, u), соответствующей ϕ , а значения $x(t \in S)$ — минимум G[q(t)] на W:

$$R(t, x(t), u) = \max_{t \in S} R(t, x, u).$$

$$G[x(t \in S)] = \min_{t \in S} G[q(t)]$$

Здесь $T^s = T \setminus S$.

Опираясь на эти факты, в работе [2] предложен способ решения поставленных выше задач: отыскивать последовательность e_s такую, что

$$l(\varphi_r) = \max l(\varphi) = d$$

В той же статье приведены достаточные условия разрешимости этих задач предложенным способом.

Введем в рассмотрение множество $E' \subset E$ нар x(t), u(t) таких, что функция x(t) кусочно-непрерывна и кусочно-дифференцируема.

Пусть имеется функция ε $(t, x) \in \Pi$, которой соответствует множество V^t максимумов R, (t, x, u) на $R^n \times R^n$ при фиксированном значенин t, множество W минимумов G_s на W и множество E_s пар x(t), u(t), удовлетворяющих условиям x(t), $u(t) \in V_S$ при всех $t \in X$ $(t) \in W$, $t \in X$, $t \in$

Функция ищется в виде

$$= \varphi_i + \iota_{\kappa \gamma_{\delta}}(t, x) \tag{2.1}$$

где λ_s и $\gamma_s(t,x)$ — число и функция, подлежащие определению. Введем функционал

$$\delta_s\left[x\left(t\right),\ u\left(t\right)\right] = \sum_{i} \int_{\mathcal{T}^i} \gamma_s^i \left[t,\ x\left(t\right)\right]_{t'=0}^{t'=t'} dt_s - \int_{T}^{t'} \left(\frac{\partial \mathcal{T}}{\partial x^i} f_s^i + \frac{\nabla}{2} \frac{\partial \gamma_s^i}{\partial t^i}\right) dt \tag{2.2}$$

Обозначим через \mathcal{R}_s (t, x, u, λ), E_s (λ) и т. д. конструкции, соответствующие функции $\phi = \phi_s + \lambda \gamma_s$.

Основную роль в вышеупомянутом приеме улучшения функции и играет формула

$$\Delta l_s(\lambda) = \lambda \delta_s(x, u) + [L_s(x, u) - l_s]$$
 (2.3)

где $\Delta l_s = l_s(\lambda) - l_s$, а x(t), u(t) — произвольная пара вектор-функций из множества $E_s(\lambda)$.

Второе слагаемое в правой части формулы (2.3) неотрицательно. Поэтому для положительности Δl_s достаточно положительности Δl_s

В работе [2] рассматривается понятие элементарной операции улучшения функции φ_x (t, x), которая задается условиями:

функция φ_{s+1} строится в виде (2.1), где $\kappa_s > 0$ и п выбираются произвольно в пределах следующих требований:

$$\delta_{u}[x, u] > 0$$

хотя бы при одном значении

$$x, \ u \in E_{s+1} = E_s(\lambda)$$

$$+ \dots + \dots + \dots$$

Ясно, что элементарная операция удовлетворяет перавенству

$$\delta l_z = l_{-+1} - l_s > 0 \tag{2.4}$$

Пусть q(t), x(t), u(t) — единственная совокупность функций, удовлетворяющих условиям

$$q(t) \in \overline{W}_s(\lambda), (x(t), u(t)) \in \overline{V}_s^I(\lambda)$$

Функцыя $\delta_r(x) = \delta[x_r(t,x), u_r(t,x)]$ является полунепрерывной снизу, откуда следует, что если функция $\gamma(t,x)$ такова, что

$$\delta_{\star}(0) > 0 \tag{2.5}$$

то существует .> 0 такое, что

$$\delta_{\lambda}(a) > 0 \tag{2.6}$$

Элементвриая операция распадается на два шага: задание функции $\gamma_{i}(t,x)$, удовлетворяющей (2.5), и отыскание i>0, удовлетворяющего (2.6) при заданиом $\gamma_{i}=1$

Постоянная $k=k_t$ может «моверать и в силу усиленного нарианта

$$\lambda_i = \begin{pmatrix} \tilde{N}, & \text{ec. if } \overline{\lambda}_i \geqslant N \\ \overline{\lambda}_i, & \text{ec. if } \overline{\lambda}_i < N \end{pmatrix}$$

где N — заданное положительное число, не зависищее от в

В следующем пункте мы займемся способами реализации элементарной операции для рассматриваемой нами задачи.

3. Способы реализации в О

Свичила предположим, что значения фазовых координат процесса на границе S заданы. Функция — (x) разы кивается и виде

$$\gamma^{i}(t, x) = -(t)x^{i}$$
 $(j = 1, ..., m; t = 1, ..., n)$

где у подлежащие определению пепрерывные функции.

Функционал 6, эля расематриваемого случая запишется следующим образом:

$$\tilde{\mathbf{z}}_{i}\left[\tilde{\mathbf{x}}_{i}, \tilde{\mathbf{u}}_{i}, \mathbf{v}\right] = \sum_{i} \int_{t \in \mathbb{R}_{p}^{i}} \sum_{t \in \mathbb{R}_{p}^{i}} v_{ii}\left(t\right) \tilde{\mathbf{x}}_{i}^{i}\left(t\right) |_{t^{i} = 0}^{t^{i} + 0} dt_{i} + \int v_{ii}^{i} \tilde{\mathbf{z}}_{ii}^{i} dt$$

где \mathfrak{o}_s — множество точек разрывов функцин x_s по аргументу \mathfrak{t}' .

Для выполнения условия (2.5) достаточно выбирать непрерывную вектор-функцию $v_s(t)$ так, чтобы имело место перавенство

$$a[x, y] = 0$$
 (3.1)

Пусть w (t) - функция, определяемая следующим образом:

$$\begin{cases} x_s^t(t'+0) - \bar{x}_s^t(t'-0), & \text{если} \\ \vdots & \text{в остальных точках } T \end{cases}$$
 (3.2)

Очевидно, что для этой функции условие (3.1) выполняется. Тем не менсе, мы не можем брать ее в качестве искомой, поскольку в общем случае функция, определяемая из соотношения (3.2) является кусочно-непрерывной, что противоречит условию непрерывной дифференцируемости, наложечному на функции, принадлежащие классу П.

Заметим, что функционал v линеен, а значит и непрерывен по аргументу v. Поэтому условие (3.1) будет иметь место и для некоторой непрерывно-дифференцируемой функции v(t), аппроксимирующей функцию v(t) с достаточно высокой степенью точности. Кроме того, функция v(t) может быть выбрана так, чтобы ее значения совпадали со значениями функции v(t) в заданных точках, число которых конечно. Ввиду этого, при численном решении можно пользоваться значениями, получаемыми из соотношения (3.2).

Перепнием выражение для $\hat{\mathfrak{o}}_s$ [x, u, v] в несколько ином виде:

$$\hat{\mathbf{v}}_{s}[x, \dots, \mathbf{v}] = \hat{\mathbf{v}}_{s}[x, \dots, \mathbf{v}] = \sum_{i=1}^{n} \bar{\mathbf{v}}_{i}[t] + \sum_{i=1}^{n} \bar{\mathbf{v}}_$$

Через $\delta(\cdot)$ в этом выражения обозначена дельта-функция Дирака. Из (3.3) следует, что приняв

$$\tau_{l_{i}}^{\prime}(t)=\overline{z}_{l_{i}}^{\prime}+\sum_{2^{l}\in s_{l}^{\prime}}\overline{k}(t^{\prime}-\overline{t}^{\prime})\,\overline{x}_{l_{i}}^{\prime}(t)|_{\overline{t}^{\prime}=0}^{\overline{t}^{\prime}=0}$$

мы снова придем к перавенству (3.1).

Во многих задачах, в честности в линейных задачах с выпуклым функционалом, функцию $\mathbf{v}^{j}(t)$ удобно брать зависящей лишь от j-ой переменной. Для этого случая равенство (3.3) запишется так:

$$\delta_s = \sum_{i}^{m} \left[\left[\left[\left(t + \sum_{i} \left(t - 1 \right) \overline{x}_s^i \left(t \right) \right] \right]_{\overline{t}^j = 0}^{-0} \right] dt dt'$$

н в качестве у/ можно взять

$$V_{t}(t) = \int_{T_{t}} |\overline{z}_{is}^{t}(t) + \sum_{T_{t} \in \mathcal{S}} |\overline{z}(t' - \overline{t}^{t}) \overline{x}_{s}^{t}(t)|_{T_{t} = 0}^{T_{t}' + 0} |dt_{t}|$$

Задание функций у в таком виде обеспечивает максимальный рост функционала в.

Можно предложить еще один способ нахождения функций у, обеспечивающих условис (2.5).

Будем разыскивать функции у в виде тригонометрического ряда

$$\mathbf{v}_{ls} = \sum \widetilde{a}_{il}^{ij} \cos kt^{j} + \widetilde{b}_{il}^{ij} \sin kt^{j}$$

Подставляя функции Ψ_s в выражение для функционала и производи несложные преобразования, получим соотношение

$$\delta_{s}\left[\bar{x}, \ \bar{u}, \ \nu\right] = \sum_{k=0}^{\infty} \tilde{a}_{kl}^{s} \left(A_{1s}^{0} - \int_{T} A_{1s} dt\right)_{k}^{l} + \sum_{k=0}^{\infty} \tilde{b}_{kl}^{s} \left(A_{2s}^{0} - \int_{T} A_{2s} dt\right)_{k}^{l} \quad (3.4)$$

где

$$A_{1i}^{g} = \sum_{j=1}^{n} \cos kt_{i}^{j} \int_{T^{j}} \overline{x}_{ji}^{(i)} dt_{j} - \sum_{j=1}^{n} \cos kt_{i}^{j} \int_{T^{j}} \overline{x}_{ji}^{(e)} dt_{j}$$

$$A_{2x} = \sum_{j=1}^{n} \frac{\sin kt_{i}}{t_{j}} \left(x_{j}^{i}; dt_{j} - \sum_{j=1}^{n} \sin kt_{0} \int_{T_{j}} x_{j}^{i0} dt_{j} \right)$$

$$A_{1s} = \sum_{i} \left[\cos kt^{i} \times a_{ji}^{i} x_{s}^{i} + \cos kt^{i} \times b_{ip} u^{p} - k \sin kt^{i} \times x_{s}^{i}\right]$$

$$A_{2s} = \sum_{i=1}^{n} [\sin kt^{i} \times a^{i}, \overline{x}_{i}^{i} + \sin kt^{i} \times b_{ip}^{i} u^{s} + k \cos kt^{i} \times \overline{x}_{i}^{i}]$$

Здесь

Из (3.4) следует, что для выполнения условия (3.1) достаточно задать

$$a_{1l} = L_{kl} \operatorname{sign} \left(A_{1l} - \left| A_{1l} d\ell \right| \right)$$

$$\widetilde{b}_{ij} \simeq M_{ki}^{3} \operatorname{sign}\left(A_{2s} - \int A_{2s} dt\right)^{k}$$

где $L_{\rm st}$ и $M_{\rm ht}^2$ — произвольные числа, большие нуля.

При доказательстве сходимости применяемого здесь алгоритма в работе [2] используется понятие нормировки функций и:

- v (t) < 1;
- 2) существует число $C \in (0, 1)$ такое, что при всех s

$$\delta_{z}[\bar{x}_{s}, \bar{u}_{s}] > C\{\Delta^{1}[\bar{z}_{s}] + \Delta^{2}[x_{s}(t)]\}$$
 (3.5)

3) число λ_s выбирается согласно усиленному варианту.

Фигурирующие в условия (3.5) величины Δ^1 и Δ^2 характеризуют отличие элемента $(x,u) \in E'$ от D. Этот элемент не содержится в классе D, если при каких-либо значениях t нарушаются основные уравнения связи z(t) = 0, либо имеют место разрыны x(t). В соответствии с этим имеем

$$\Delta^{1} = \int_{T} \sum_{j=1}^{m} |z_{j}(t)| dt, \qquad \Delta^{2} = \sum_{j=1}^{m} \int_{T^{j}} \sum_{t \in p^{j}} |x(t)|_{t^{j} = 0}^{t^{j} + 0} dt_{j}$$

Сходимость последовательности процессов $\{\bar{x}_i, \bar{u}_i | \kappa D_i\}$ о которой шла речь и п. 1, понимается в смысле равенств

$$\lim_{s\to -} \Delta_s^1 = 0, \qquad \lim_{s\to -} \Delta_s^2 = 0$$

Возвращаясь к условиям нормировки 1) и 2), отметим, что они легко учитываются первыми двумя из указанных выше способов реализация

ЭО Для этого достаточно в первом способе под функцией понимать единичный вектор e1, совпадающий в каждый момент t с направлением

а во втором — единячный вектор по направлению

$$\int\limits_{T^{d}}\left|\overline{z}_{j}+\sum_{T^{d}\in\mathfrak{p}^{d}}\overline{b}\left(t^{j}-\overline{t}^{d}\right)x\left(t\right)\right|_{t^{d}=0}^{t^{d}+0}\left|dt_{j}\right|$$

Для третьего способа условия нормировки будут выполнены, если в пределах ограничения

$$\sum_{i} (|\bar{a}_{kt}^s| + |\tilde{b}_{st}^s|) < 1 \tag{A}$$

$$(i = 1, 2, ..., n; s = 1, 2, ...)$$

удастся удовлетворить условию роста (3.1) функционала д.

Выше было предложено три способа реализации элементарной операции. Основным преимуществом первых двух из инх является то, что они выполнимы всегда, коль скоро выполнима элементарная операция вообще. При этом, второй способ, использующь, б-функцию, обладает большей универсальностью, так как он позволяет представить функцию у одинаковым образом во всех точках рассматриваемой области, что значительно облегчает работу на ЭВМ.

Возможности третьего способа несколько ограничены, поскольку выполнение условия (А) является труднопроверяемым.

4. Процедуры алгоритма

Выпишем конструкцию R(t, x, u), задав функции ϕ^j линейными отпосительно фазовых координат

$$= \psi_i^j(t) x^i$$

$$R(t, x, u) = \psi_i^j(a_{i1}^i x^i + b_{jk}^i u^k) - a^0 x^{i-} - b_i^0 u^{k^2} + \sum_{j=1}^n \frac{a_{j+1}^j}{a!} x^j$$

Найдем значения x и u, доставляющих максимум R(t, x, u). Простые вычисления показывают, что

$$x^{\omega} = \frac{\psi_{i}^{j} a^{i} + \frac{\dot{\alpha}^{j}}{\dot{\alpha}t^{j}}}{2a^{0}} \qquad \omega = 1, 2, ..., n$$
 (4.1)

$$\bar{a} = \frac{\psi b^{i}}{2} \qquad w' = 1, 2, ..., d \tag{4.2}$$

В этих выражениях

Из (4.1) и (4.2) следует соотношение

$$= \frac{\frac{\partial \psi_{l}^{f}}{\partial t^{s}} \stackrel{i}{\longrightarrow} \frac{\partial^{2} \psi_{\omega}^{f}}{\partial t' \partial t^{s}}}{2a_{\omega}^{0}} = \frac{\frac{\partial^{2} \psi_{\omega}^{f}}{\partial t' \partial t^{s}}}{2b_{\omega}^{0}}$$
(4.3)

Пусть на S-ом шаге нам известны величины

$$x_{j}^{w}(t), \ u_{j}^{w'}(t), \ z_{ms}^{k}(t), \ v_{ls}^{j}(t)$$

$$(l, w = 1, ..., n; j, k = 1, ..., m; w = 1, ..., d)$$

Подставив в правые части формул (4.1), (4.2) в (4.3) функции $\psi_{t_{x,T}}^{t_{x,T}}$, мы сможем явис выписать функции $x_{x}^{*}(t, i)$, (t, i), \vdots (t, i). Двяее определяем число i, в силу усиленного варианта.

Схема реализации в горитма вы обрам. Обозначим через Δ_s^1 , Δ_s , L_s значения функционалов Δ^1 , L_s и l_s соответствующие процессу $\{x_s, \dots$ и функции = на s-ом шаге.

Пусть последовательность {ви} такона, что

$$\lim_{n\to\infty} \varepsilon_n = 0, \quad \varepsilon_n > 0$$

При данном с проверяем условие

$$\max \left[\Delta_{s+1}^1 - \Delta_s^1, \Delta_{s+1}^1 - \Delta_s^1, A_{s+1} - \Delta_s^1 \right]$$

Если это условие выполнено при достаточно большом N, то проверяем условие

$$\max\{\Delta^1, \Delta_a^2\} < \varepsilon_N$$

Если выполнено и это условие, то принимаем $l_s = \overline{l}$ и считаем решение задачи законченным. В противном случае, но одному из способов переходим к s+1.

5. Общий случай

Выше всюду предполагалось, что значения фазовых координат на граните S заданы. Здесь мы рассмотрим общин случай, а именно, будем прелиолагать, что 2m граней исходного параллеленипеда T разбиты на три группы: в первую группу (их число обозначим через κ') входят те грани, на которых значения функций κ' (t) (t=1,...,n) не заданы, во вторую группу входят грани (их число обозначим через κ''), на которых требуется минимизировать функционал; ил остальных гранях значения искомых фазовых координат заданы.

Допустим, кроме того, что противолежащие грани принадлежат одной и той же группе. Это условие может быть легко обобщено и вводится нами лишь для облегчения записи.

Как следует из аппарата достаточных условий, для получения оптимальных значений фазовых координат на границе исобходимо изучить на минимум функцию

$$G = \sum_{j=1}^{m} \bigcap_{T^{j}} \varphi^{j} [t, x(t)]^{t_{1}^{j}} dt_{j} + F[q(t)], \quad q(t) = x(t \in S)$$

При сделанных выше предположениях функция G принимает вид

$$G[q(t)] = \sum_{j=1}^{K} \int_{T^{j}} \varphi^{j}(t, x)|_{t=0} dt = \sum_{T^{j}} |(x^{i}_{j} - h^{i}_{j})^{2} + (x^{i}_{j} - h^{i}_{j})^{2}| dt_{j}$$

$$+ \sum_{i=1}^{K} \sum_{i'=1}^{K} [(x^{i}_{i'} - h^{i}_{j'})^{2} + (x^{i}_{j'} - h^{i}_{j'})^{2}] dt_{j}$$
(5.1)

Для единственности функций, доставляющих минимум G, добавим к правой части (5.1) слагаемое

$$\sum_{i=1}^{n} \sum_{j=1}^{k'} \int_{T^j} \left[(x_j^{0i})^2 + (x_j^{1i})^2 \right] dt_i, \qquad i > 0$$

откуда получим

$$\widehat{x}^{ij} = \operatorname{argmin} G[q(t), \varepsilon] = \frac{2h^{ij} - (t!)}{2} \qquad (t = 1, ..., n)$$

$$x^{i0} = \operatorname{argmin} G[q(t), \varepsilon] = \frac{2h^{ij} - \psi(t!)}{2} \qquad (j = 1, ..., k'')$$

$$x^{ij} = \operatorname{argmin} G[q(t), \varepsilon] - \frac{1}{2\varepsilon} \qquad (i = 1, ..., n)$$

$$x^{ij} = \operatorname{argmin} G[q(t), \varepsilon] - \frac{1}{2\varepsilon} \qquad (i = 1, ..., n)$$

$$x^{ij} = \operatorname{argmin} G[q(t), \varepsilon] = \frac{(t'_0)}{2\varepsilon} \qquad (i = 1, ..., n)$$

$$x^{ij} = \operatorname{argmin} G[q(t), \varepsilon] = \frac{(t'_0)}{2\varepsilon} \qquad (i = 1, ..., n)$$

Злесь

$$G[q(t), \varepsilon] = G[q(t)] + \varepsilon \sum_{i=1}^{n} \sum_{j=1}^{n'} [(x_j^{0t})^2 + (x_j^{1t})^2] dt_j$$

Полученные значения следует использовать при вычислении функционалов 6, l, Δ^2 .

Правомерность замены задачи минимизации функции G[q(t)] на задачу минимизации функции $G[q(t),\varepsilon]$ обосновывается следующей леммой:

пусть последовательность функций $f_n(x)$ сходится при $n \to \infty$ к функции $f_0(x)$, монотонно не возрастая. Тогда $\lim_{n \to \infty} \inf_x f_n(x) = \inf_x f_0(x)$, н если последовательность точек $\{x_n \mid \text{такова, что } f_n(x_n) \leqslant \inf_x f_n(x) + \epsilon_n$, то

$$\lim_{n\to\infty} f_0(x_n) = \inf_{n\to\infty} f_0(x)$$

Здесь $\lim_{n\to\infty} \varepsilon_n = 0$, $\varepsilon_n > 0$.

Доказательство. По любому s>0 сувнествует точка x_0 и номер N такие, что

$$f_0(x_0) \leqslant \inf f_0(x) + \frac{\varepsilon}{2} \quad \text{if } f_n(x_0) - f_0(x_0) \leqslant \frac{\varepsilon}{2}, \quad n > N$$

Тогда

$$0 \leqslant \inf_{x} f_{n}(x) - \inf_{x} f_{0}(x) \leqslant \inf_{x} f_{n}(x) - f_{0}(x_{0}) + \frac{\varepsilon}{2} \leqslant f_{n}(x_{0}) - f_{0}(x_{0}) + \frac{\varepsilon}{2} \leqslant \varepsilon$$

откуда следует первое утверждение.

Для точех (хл) имеем

$$f_0(x_n) \leqslant f_n(x_n) \leqslant \inf_{x} f_n(x) + \varepsilon_{\varepsilon}$$

н так как

$$\liminf f_n(x) = \inf f_0(x)$$

$$f_0(x_n) - \inf_x f_0(x) = 0$$

н т. д.

Ясно, что функции $G(q, \epsilon)$ и G(q) удовлетворяют условиям леммы и поэтому при достаточно малых $\epsilon > 0$ полученные значения функций arcmin $G(q, \epsilon)$ можно считать хорошими приближениями к оптимальным значениям.

Автор выражает глубокую благодарность В. Ф. Кротову за постоянное внимание к работе.

Институт механики АН Армянской ССР

Поступила 25 VI 1980

Մ. թ. ՀՈՒԿԱՍՅԱՆ

<mark>ՔԱՇ</mark>ԽՎԱԾ ՊԱՐԱՄԵՏՐԵՐՈՎ ԳԾԱՅԻՆ ԿԱՌԱՎԱՐՎՈՂ ՀԱՄԱԿԱՐԳԵՐԻ ՈՊՏԻՄԻԶԱՑՄԱՆ ՀԱՇՎԱՅԻՆ ԱԷԳՈՐԻԹՄՆԵՐԻ ՄԱՍԻՆ

Udhahaid

Նկարագրվում են բաշխված պարամեուրերով դծային ղեկավարվող համակարգերի լուծման և օպտիմիզացման հայվային ալգորինմեերը, որոնք ⊰իմնված են Վ. Ֆ. Կրոտոմի օպտիմալունյան բավարար պայմանների վրա։

Բերված են ուսումնասիրվող ալզորիβմների հիմնական գործողության

իրականացման միջոցները։

Առաջարկված են դծային խնդիրների լուծման, ինչպես նաև քառակուսային որակի ֆունկցիոնալով խնդիրների համար բերված հաշվային ալգորիթմների իրականացման միջոցները հաշվի առնող սխնմաներ։

ON CALCULATIVE ALGORITHMS FOR THE SOLVING AND OPTIMIZATION OF LINEAR CONTROLLABLE SYSTEMS WITH DISTRIBUTED PARAMETERS

M. Kh. GHI KASIAN

Summary

Calculative algorithms for the solving and optimization of linear controllable systems with distributed parameters, based on the sufficient conditions of V. Krotov's optimality are described. The ways of realization of the basic operation of the studied algorithms are presented. A sufficiently general case of moving boundaries is considered. The solution scheme of linear problems as well as those with a quadratic functional of quality is suggested, taking into account the given ways of realization.

JHTEPATYPA

- 1. Кротов В. Ф., Гурман В. И. Методы и задачи оптимального управления, М., «Паука», 1973, стр. 434.
- 2. Кротов В. Ф. Вычислительные ялгоритмы решения и оптимилации управляемых систем уравнения. Изв. АН СССР, Техинческоя кибернетика, 1975, №№ 5. 6.
- Кротов В. Ф. Методы решения варивиконных задач на основе достаточных условий оптимальности, ч. 1, 11, 111 – Автоматика и телемеханика, 1962, № 12, 1963.
 № 5: 1964, № 7

Қ. С. КАРАПЕТЯН, Қ. А. КАРАПЕТЯН

ИССЛЕДОВАНИЕ ИЗМЕНЕНИЯ ПРОЧНОСТИ, МОДУЛЯ ДЕФОРМАЦИИ И СТЕПЕПИ АНИЗОТРОПИИ ВЕСЬМА СТАРОГО ТУФОБЕТОНА ПРИ СЖАТИИ ВСЛЕДСТВИЕ ВОДОНАСЫЩЕНИЯ И ВЫСЫХАНИЯ

В работах [5, 6] К. С. Карапетяна впервые было установлено, что бетон по прочности, модулю леформации и леформациям ползучести при сжатии является существенно анизотропным материалом. Дальнейшие многолетине исследования показали, что степень анизотропии бетона по прочности, модулю деформации и деформациям ползучести как при сжатии, так при растяжении минсит от многочисленных фактиров: величины напряжения, размеров поперсчного сечения и высоты образца, расхода цемента, влажности среды, продолжительности вибраини бетонной смеси, крупности заполнителя, возраста к моменту испытания в др. [7-14]. Эти исследования полностью подтвердили гинотезу К. С. Каранетяна о причинах анизотропии бетона [5, 6]. Согласно гипотезе автора, причиной знизотронии являются водные прослойки, которые неизбежно образуются под частицами заполнителя в результате внутреннего рассланвания бетова при его укладке и уплотиении. При испарении этих прослоск на их местах остаются пустоты (лефекты), которые ослабляют сечение бетонного элемента и снижают его прочность, увеличивают деформации. Отрицательное алияние дефектов более существенно в том случае, когда призмы испытываются перпендикулярно слоям бетонирования, так как в этом случае ослабление сечения образна дефектами получается наибольшее.

При высокой же влажности среды и особенно в изолированных образцах, когда испаренье не имеет места и водные прослойки сохраняются, последние играют положительную роль. Водные прослойки принимают участие в носприятии внешней нагрузки, способствуя работе всего сечения остоиного элемента и улучшению объемно-изпряженного состояния.

Специально поставленные К. С. Каранетяном опыты для исследования анизотропных свойсти бетона в зависимости от илажности среды показали, что в случае изолированных от влагонотери образцов прочность призм, испытанных перпендикулярно слоям, гораздо больше, а деформации при кратковременном и плительном загружениях меньше, чем призм, испытанных параллельно слоям. Удаление изоляции и в свячем призм, испытанных параллельно слоям.

зи с этим испарение и исчезновение водных прослоек приводило к обратному явлению [9].

Для подтверждения своей гинотезы о причинах анизотронии бетона К. С. Карапетяном были поставлены и обратные опыты [15]. При
этом им считал, что если испарение приводит к снижению прочности и
увеличению деформаций, то водонасыщение сухого бетона логически
должно привести к заполнению пустот (дефектов) водой и благодаря
восстановлению водных прослоек к росту прочности и уменьшению деформаций, а вместе с этим и к уменьшению степени анизотропии бетона. Опыты полностью подтверлили гипотезу автора. Таким образом,
было установлено, что восстановление водных прослоек играет весьма
важную роль в вовышении прочности и в уменьшении деформаций бетона при сжатии, а вызванное испарением исчезновение водных прослоек, наоборот, приводит к снижению прочности и увеличению деформаций.

Опыты К. С. Карапетяна хотя и дали возможность обнаружить эффект водных прослоек, но они были недостаточными, чтобы количественно оценить роль восстановления и непарения подных прослоек в общем явлении. При этом мы имеем в пиду, что опыты были поставлены на сравнительно нестаром бетоне и поэтом, наблюдаемое изменение физико-механических и апизотропных свойсти бетона при водонасыщении и высыхании являлось результатом изложения одновременно проявляющихся нескольких эффектов.

Учитывая это, авторы по специальной мето, ике поставили две се рии новых опытов для исследования влияния водонасыщения и высыхания на проччость и деформации бетона при сжатии с учетом анизотронии, результаты которых и приводятся в данной работе.

§ 1. Методика опытов

При водоизсыщения сухого бетона его прочность на сжатие изменяется за счет одновременно проявляющихся грех эффектов. С начала же обводнения прочность бетона снижается за с из экспроизвиных явлений, а в дальнейшем происходит упрочиение, вызваниюе возобновлением процесса твердения (вторичное твердение) и восстановлением водных прослоек в связи с заполнением нустот (дефектов) водой. При этом количественное влияние каждого из этих эффектов зависит от различных факторов и при соответствующих условиях каждый из инх может оказаться определяющим в прочности бетона. Поэтому для оценки роли эффекта водных прослоек опыты необходимо было поставить по такой методике, которая дала бы возможность максимально уменьшить влияние других эффектов. Учитывая это, опыты были поставлены нами над весьма старым сухим бетоном, так как в этом случае упрочнеяне за счет вторичного твердения практически исключается в поэтому вызнанный водонасыщением прирост прочности в основном будет обусловлен эффектом водных прослоек.

Опенить роль эффекта водных прослоех можно и обратными опытами, то есть путем исследования илияния высыхания на прочность бетона. В этом случае также опыты следует поставить над весьма старым бетоном с той лишь разницей, что с момента изготовления бетонный элемент должен быть изолирован от влагонотери. В условиях длительной изоляции бетонный элемент имеет возможность вормально твердеть и приобрести максимально возможную прочность и если спустя много лет изоляцию удалить, то это приведет к испарению и исчезновению водных прослоек и тем самым к спаду прочности.

На основании вышензложенного нами были поставлены опыты как с водонасыщенными, так и с высыхающими образнами. Результаты обсих серий опытов, как будет показано, даки возможность более обоснованно судить о количественном илиянии водных прослоек на прочность, деформативность и степень анизотронни бетона.

Испытавню подвергались инлиндрические образцы диаметром 5.5 см. высотой 16.5 см. которые выбуривались в двух взаимно перпеидикулярных направлениях из бетопного элемента. В качестве таких элементов использовали большие пилиндрические образцы (диаметром 25 см. высотой 60 см), которые были изготовлены и 1954 г. из туфобетона состава в массе 1:1.80:2.25. В/П = 1.43. П = 261 ка/м³. Сразу после распалубки часть больших инлиндров была изолирована от влагонотери и хравилась вместе с неизолированными образцами до момента выбуривания из ких малых цилиндрических образцов в возрасте 23 лет в обычных лабораторных условиях. В этих же условиях проводились опыты по исследованию влияния водонасыщения и высыхания на прочность и деформативность на малых инлиндрических образцах, выбуренных из неизолированных и изолированных больших цилиндров.

Для краткости дальнейшего изложения впредь под условным обозначением ПЕС мы будем иметь в виду те образцы, которые испытывались перпендикулярно слоям бетонирования, а ПАС—образцы, которые испытывались параллельно слоям бетонирования

При испытания образцов сжимающая нагрузка повышалась ступенями и после каждой ступени измерялись продольные и поперечные деформации. Под каждой ступенью нагрузки образец выдерживался лишь на время, необходимое для взятия отсчетов по приборам, измеряющим деформации. В опытах перной серии испытывались контрольные сухие образцы и подонасыщенные образцы после водного хранения 1, 3, 7, 30 сут. и 3 мет. В опытах же второй серии испытывались контрольные изолированные образцы (сразу после выбуривания) и образцы после высыхания 7 сут., а также 1, 3 и 6 мес. Ввиду ограниченного количества образнов и каждом случае испытывались по 2—3 образца. В опытах с водонасыщенными образцами максимальный разброс при испытании 2-х образцов составил ± 4.6%, а 3-х образцов — 4.4.8 и —4.8%. В опытах же с высыхающими образцами максимальный разброс при испытании 2-х образцов составил ± 1.8%, а при испытании 3-х образцов — +4.5 и — 5.1%.

§ 2. Влияние водонасыщения на прочность, деформации (продольные и поперечные) и степень анизотропии туфобетона

Цилиндрические прочности исследованного туфобетона по данным испытаний образцов нерпендикулярно (ПЕС) и нараллельно (ПАС) слоям бетонирования после различных сроков водного хранения приведены в табл. 1. Как видим, независимо от того, испытываются образцы перпенликулярно слоям (ПЕС) или параллельно слоям (ПАС), сначала водное хранение приводит к адсорбинонному сналу прочности бетона, в в лальнейшем — к устойчивому существенному упрочнению.

По данным табл. 1 после суточного водного хранения прочности образцов ПЕС и ПАС синзились соответственно на 1% и 14°, а к 3-м месящам существенно возросли и уже на 49% и 18% превышают прочности соответствующих контрольных сухих образцов. При этом полностью перекрыты и адсорбционные спады прочности указанных образцов

Влияние водонасышения на прочность туфобетона в степен. его анизотролии по прочности

Условия хранения образцов	Направление сжимающей нагрузки по отношенню к слоям бетона при испытании	% поло- ноглошения по массе сухого бетона	Циленари- ческая прочность п МПа	Отимпение прочности водопасыщенных образцов и прочности сухих образцов	Отношение прочиости образиов ПАС к прочиости образиов ТНЕС
Образны сухие	перлен. парал.	0	13.6 16.4	1,00	1 21
1 сут и поде	периен. парал.	14.9 13.9	13.1 14.1	0.96 0.86	1.08
3 сут в поде	перлен. парал.	15.8 15.0	14.1 15.2	1.04	1.08
7 сут в поле	перпен. парад.	17.4 16.0	17.3 16.4	1.27	0.95
30 сул в поде	исрпен. парал.	18.9 17.5	18 6 17.7	1.37 1.08	0.95
3 жес в 902с	перпен, парал.	19.4 18.2	20.2 19.4	1.49	0 98

О пажной положительной роли эффекта восстановления водных прослоск в упрочиении бетона в результате его водонасыщения свидетельствуе: тог факт, что в наших опытах до обводнения прочность образцов ПЕС была меньше прочности образцов НАС, а начиная с 7 сут. водного хранения и в последующем до копца опытов имеет место образное каление. Это гонории в том, что положительный эффект восста-

новленных водных прослоек для образцов ПЕС оказался более существенным, чем для образцов ПАС. Аналогичное явление наблюдалось и в работах [15, 16].

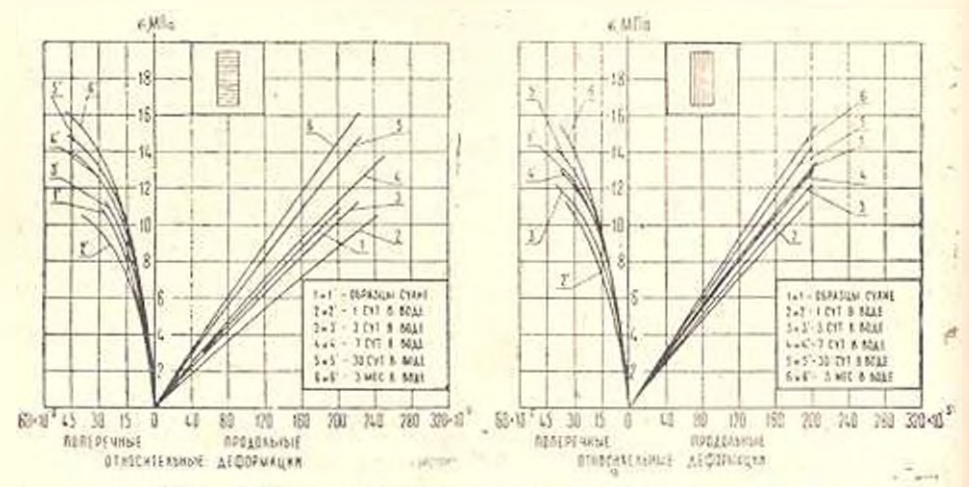
Конечно, наблюдаемый в наших опытах после суточного водного хранения спад прочности образнов ПЕС и ПАС не представляет полный алсорбционный спад прочности. В действительности алсорбционное понижение прочности было значительно больше, но так как водонасыщение и течение первых суток оказалось весьма значительным (до 77% от общего водопоглощения), то часть понижения прочности уже была компенсирована положительным эффектом восстановленных волных прослоек. Эти опыты наглядию показывают ту важную роль, которуют играют воестановленные водные прослойки в упрочнении бетона и одновременно еще раз подтверждают справедливость гипотезы К. С. Карапетяна о причинах анизотропии бетона.

Различное количественное илияние водонасыщения на цилиндрическую прочность образнов ПЕС и ПАС привело к существенному изменению степени анизотронии бетона по прочности. Коэффициент анизотронии бетона по прочности $K_1 = R_1 - R_2 + R_3 - R_4 - R_4 - R_4 - R_5 + R_6 - R_6 + R_6 +$

Рассмотрим теперь, как влияет водонасыщение на продольные и поперечные деформации образцов ПЕС и ПАС (фиг. 1). Как видим, независимо от направления сжимающей нагрузки по отношению к слоям бетовирования, водное хранение через сутки привело к существенному увеличению как продольных, так и поперечных деформаций, а в дальнейшем—к их заметному уменьшению. Из этих графиков ясно видио, что после суточного водного хранения с увеличением продолжительности водного хранения кривые продольных и поперечных деформаций образнов ПЕС и ПАС все больше приближаются к осям напряжений. В итоге кривые деформаций образнов, которые соответствуют водному хранению 3 мес., уже проходят заметно выше соответствующих кривых деформаций контрольных сухих образцов.

Для получения более ясного количестиенного представления о влиячии водонасыщения на деформации бетона рассмотрим данные табл. 2,
где приведены касательные модули деформации и поперечные деформации при различных напряжениях. По этим данным влияние водонасыщения на модуль деформации качествению имеет тот же характер,
что и влияние водонасыщения на цилиндрическую прочность бетона.
После суточного водного хранения модуль деформации также снижается, причем более чунствительно, чем прочность бетона. При этом, адсорбционный спад модуля деформации образцов ПЕС несколько больше, чем образцов ПАС и зависит от величины сжимающего напряжения: с увеличением напряжения спад модуля деформации образцов ПЕС

увеличивается, а образцов ПАС - уменьшается После адсорбционного спада модуля деформации дальнейшее водное хранение уже приводит к устойчивому росту модуля деформации но времени и через 3 мес., в зависимости от величины сжимающего напряжения, модуль деформации водонасыщенных образцов ПЕС на 37—39%, а образцов ПАС на 4—24% превышает модуль деформации соответствующих контрольных сухих образцов. При этом полностью перекрыты и начальные адсорбинонные спады модулей деформаций указанных образцов.



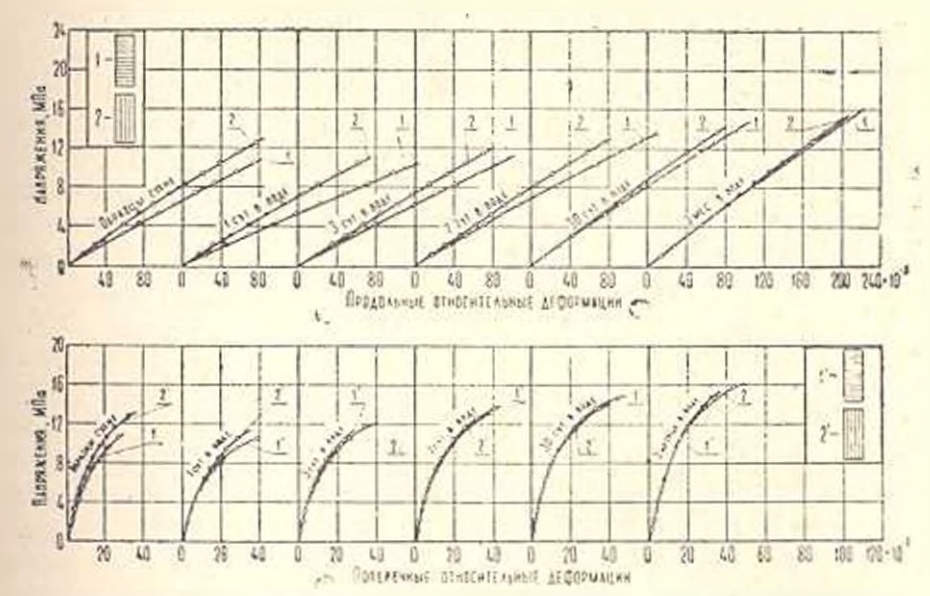
Фиг. 1. Влияние водонасыщения на деформации туфобетома.

Как видно из табл. 2, до обводнения модуль деформации образцов ПЕС был заметно меньше модуля деформации образцов ПАС, а после 3-х по водного хранения они уже практически равны друг другу. Таким образом, и полном соответствии с закономерностью влияния водонасыщения на прочность бетона в процессе волного хранения и расгашие модуля деформации во времени образцов ПЕС протекало более интенсивно, чем образцов ПАС.

По данным табл. 2 волонасыщение оказывает существенное влияние и на поперечные деформации образцов ПЕС и ПАС. Суточное водное хранение привело к заметному увеличению поперечных деформаций, а в последующем— к их существенному уменьшению.

Рассмотрим теперь как влияет водонасыщение на степень анизотропии по продольным и поперечным деформациям туфобетона. Кривые продольных и поперечных деформаций всех образнов ПЕС и ПАС представлены на фиг. 2. Как видно, на верхнем графике во всех случаях кривая деформаций образнов ПЕС (кривая 1) проходит инже кривой деформаций образнов ПАС (кривая 2), и с увеличением продолжительности водного хранения расходимость этих кривых уменьшается и в чтоге они практически сливаются. Слияние этих кривых при продолжительности водного хранения 3 мес. означает, что гуфобетон по продольным деформациям стал изотропным. Согласно инжиему графику фиг. 2 аналогичиым образом водонасыщение влияет и на поверечные дефор-

мации туфобетона, разница заключается лишь в том, что в этом случае слияние кривых поперечных деформаций образцов ПЕС и ПАС происходит гораздо раньше.



Фиг 2 Влияние водонаст нения на акизотронию деформации туфобетона

В табл. 2 приведены значения коэффициента анизотронии исследованного туфобетона по модулю деформации $K_* = E'/E$ (где E и E' — соответственно модули деформации образцов ПЕС и ПАС) в зависимости от продолжительности водного хранения.

При сухих образнах K_1 больше единицы, причем, тем больше, чем меньше сжимающее напряжение. После суточного водного хранения K_2 увеличивается и уже не зависит от неличины напряжения, а дальнеещее водное хранение до $3 \cdot x$ лес, приводит к устойчивому его уменьшению до значения блилкого к единице, то есть туфобетои по модулю деформации практически становится изотропным. Интересно то, что при водонасыщенных образнах степень анизотронии туфобетона но модулю деформации практически не зависит от величных напряжения.

В табл. 2 приведелы значения коэффициента анизотролии по неперечным деформациям $K_3 = \varepsilon_{\min}/\varepsilon_{\min}$ (где ε_{\min}) и ε_{\min} соответственно поперечные деформации образнов НЕС и ПАС). При сухих образцах K_4 существение больше еданицы и практически не зависит от величним напряжения. В результате суточного водного храневия K_4 уменьшалось особенно чувствительно при напряжении 5MHa ($K_4 = 0.97$). Последнее свидстельствует о том, что гуфобетон и по поперечным деформациям стал практическа изотролным. При напряжении 10MHa то же самое происходит несколько нозже — примерно через 2.5 сут водного хранения. После $3 \times cyr$, водного хранения K_4 несколько меньше единицы и в дальнейшем изменяется несьма незначительно. Кроме этого

Таблица 2

Отпошение пове-Поперечные Молуль деформации Напрапление Отношение модуля де-Отношение модуля депечных деформаний деформации сжимающей по касательной формация образцов ПАС образиов ПЕС к по-**Бормання** водонасышенных Епоп Х 105 при $\times 10^{-2}$ n M/IaУсловия нагрузки образнов ПАС в модулю к молулю деформации перечным дефопыашины образцов ПАС хранения no othonieобразцов ПЕС при напряпои напояжении леформания образиов ПЕС дапряжения образион нию к слоям (MÎla) при напряжении (МПа) жении (МПа) (MIIa) при напряжении бетона при (MITa) испытании 10 10 5 10 01 10 5 5 0 7.8 6.1 24.2 18.6 57 54 51 1.00 1.00 1.00 Образны исопен. 1.28 1.33 1,24 1.16 1.30 76 67 1.00 59 1.00 E.00 CVXIIC napaa. 8 4 34.2 46 43 40 0.81 0.800.78 1 cym перпен. 0.97 1.28 1.35 1.35 1.35 8.7 62 58 0.82 0.92 26.8 54 0.87и поле парал. 6.320.5 54 51 48 0.95 0.94 0.943 cym периен. 0.93 0.89 1.20 1.22 1_22 6.8 23.0 62 0.93 65 59 0.86 1.00 в поде frapaa. 52 5.7 17.7 62 57 1.09 1.00 1_02 7 cym перпен. 1.15 1.16 0.93 0.93 1.19 1.05 6.1 19.0 71 66 62 0.93 0.99 в воле парал, 5.2 5.5 63 1.26 1,25 15.7 72 64 1.26 30 cym перпен. 1.06 1.07 1.08 0.94 0.95 16.5 1.17 76 73 1.00 69 1.09 в воде парал. 5.3 75 14.9 3 .400 78 71 1.37 1.39 1,39 первен. 1_01 1.03 0.91 0.98 1.01 5.8 15.5 76 73 1.24 79 1.04 1.13 в воле парал.

после 3-х сут. водного хранения K, практически не зависит от величииы сжимающего напряжения.

Таким образом, водонасыщение оказывает существенное влияние на прочность, деформации (продольные и поперечные) и анизотропные свойства весьма старого сухого туфобетона при сжатии. Как правило, независимо от того испытываются образны перпендикулярно или параллельно слоям бетонирования, сначала водное хранение приводит к адсорбциинному понижению прочности и увеличению деформаций (продольных и полеречных), а в дальнейшем - к существенному понышеино прочности и уменьшению деформации. При этом, эти изменения в количественном отношении в большой мере зависят от направления сжимающей нагрузки по отношению к слоям бетонирования. Повыше ине прочности и модуля леформации образцов, испытанных перпендикулярно слоям, гораздо больше, чем образцов, венытанных параллель-<mark>по слоям, и в результате этого водное хранение принодит к тому, что</mark> туфобетон по прочности, модулю деформации и поперечным деформациям становится изотропным. Упрочнение, рост модуля деформации. уменьшение поперечных деформаций в уменьшение степени аниаотронии туфобетона являются следствием того, что водное хранение приводит к заполнению образованиихся под зернами крупного заполнителя бетона пустот (дефектов) водой и тем самым к восстановлению водных прослоек. Положительный эффект восстановленных прослоек в случае непытання образцов перпенанкулярно слоям более чувствителен, чем лри испытации образнов, параллельно слоям.

В следующем параграфе чы рассмотрим результаты наших опытов с высыхающими образцами, которые еще раз косвенно подтверждают справедливость гипотезы в важной положительной роли эффекта восстановлениых водных прослоск при водонасыщении бетона

§ 3. Влияние высыхання на прочность, геформации (продольные и поперечные) и степень анизотропии туфобетона

Цилиндрические прочности туфобетона по испытаниям образцов ПЕС и ПАС после различных сроков высыхания приведены в табл. 3. Одновременно приводятся данные об уменьшении веса образцов в результате высыхания.

Прежде, чем перейти к анализу данных табл. З с точки зрешия влияния высычания на прочность и степень акизотровии туфобетона по прочности, отметим, что объемный вес свежеуложенного туфобетона при изготовлении больших цилиндров составлял 1820 кг/м³. Спустя же 23 года, когда из больших неизолированных и изолированных пилиндров были выбурены малые пилиндрические образцы ПЕС и ПАС объемные веса последних соответственно составили неизолированных образцов 1586 и 1600 кг/м³, а изолированных образцов—1681 и 1687 кг/м².

Таким образом, несмотря на наружную изоляцию за 23 года объемные веси изолярованных образцов ПЕС и ПАС соответственно умень-

шались на 7.7% и 7.3%, что свидетельствует о ненадежности изоляции, которая была сделана для исключения испарения. Однако, несмотря на это, объемные исса изолированных образцов ПЕС и ПАС оказались все же выше объемных весои таких же неизолированных образцов. Это обстоятельство обусловило более высокую прочность изолированных образцов ПЕС и ПАС (23.1 и 21.8 МПа) по сравнению с прочностью таких же неизолированных образцов (13.6 и 16.4 МПа). Кроме этого, при изолированных образцах прочность образцов ПЕС хотя и исяначительно, по все же больше прочности образцов ПАС, а при неизолированных образцах имеет место обратное явление и разнина прочностей болсе существенна (табл. 1 и 3). Ниже будет показано, что все это весьма закономерно.

Таблица 3
Влияние высыхания на цилиндрическую прочность туфобетона
и степень его анизотропии по прочности

Продолжи- тельность высыхания образион	Направление сжимающей натрузки по отнощению к слоям бетопа при пспытации	% умень- шенип веса образиол по массе изолиро- ваниых об- разиов	Цилинари- ческая прочность на сжатие в МПа	Отношение прочности высыхающих образцов к прочности изолированных образцоя	Отмошение прочности образцов ПАС к прочности образиоз ПЕС		
0	перпен.	0	23.1 21.8	1.00 1.00	0.94		
7 cym	перпен. парал	3.4 3.6	23.2 22.2	1.00 1.02	0.96		
1 stec	перпен. парал.	5.3 4.9	20.3 21.1	0.88 0.97	1 04		
3 мес	nepnen. napan,	6.0 5.8	17.7 20.4	0.77 0.94	1.15		
5 жес	периса. Парал	8.2 7.0	16.4 19.5	0.71 0.89	1.19		

Из данных табл. 1 и 3 следует, что прочности изолированных образцов ПЕС и ПАС соотиетственно на 70% и 33% выше прочности таких же неизолированных сухих образцов, то есть лаже неиздежная изоляция обеспечила столь высокую прочность. Поэтому, вполне понятно, что если изоляция была бы надежной, то прочности изолированных образцов ПЕС и ПАС были бы сще выше, а их разница еще больше.

По данным табл. З высыхание образнов ПЕС и ПАС в течение первых 7 сут. практически не повлияло на их прочность, а дальнейшее высыхание привело к закономерному снижению их прочности. При этом, как и следовало ожидать, спад прочности образнов ПЕС оказался более чувствительным (на 29%), чем образнов ПАС (на 11%). Конечно,

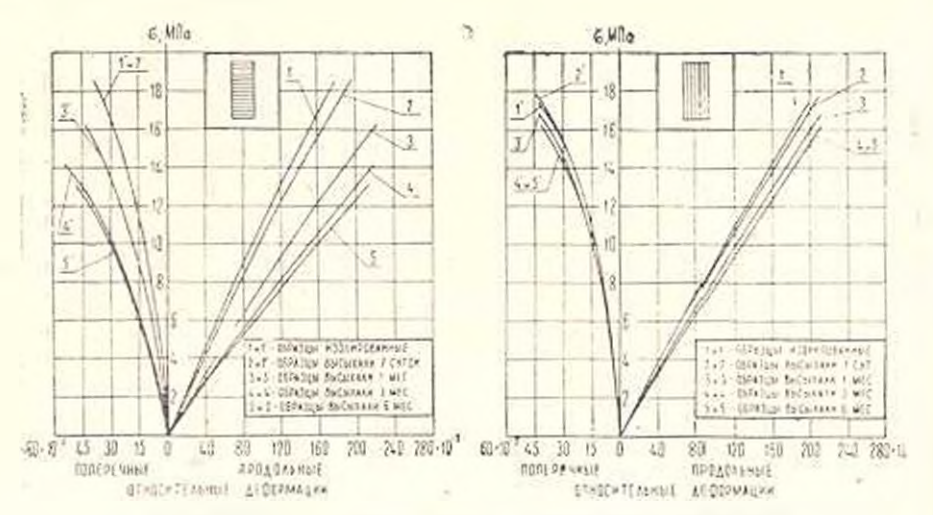
спад прочности был бы еще больше, если бы изоляция была надежной. Несовершенность изоляции и в связи с этим испарение и частичное исчезновение волных прослоек до начала выбуривания малых цилиндрических образцов уже привели к снижению прочности больших пилиндров-Таким образом, в полном собтветствии с результатами опытов с вольнасыщенными образнами (табл. 1), где водонасыщение после адсорбционного спада привело к заметному упрочнению образцов ПЕС и ПАС (особенно чувствительно образцов ПЕС), высыхание привело к обратному явлению — к спижению прочности образцов ПЕС и ПАС (особенно чувствительно образцов ПЕС).

В изолированных образцах коэффициент анизотропии туфобетона по цилиндрической прочности $K_1=0.94$ (табл. 3), то есть в этом случае прочность образцов ПЕС больше прочности образцов ПАС. Как и следовало ожидать, с увеличением продолжительности высыхания K_1 закономерно возрастает и через 6 мес. приобретает значение 1.19, то есть высыхание привело к увеличению степени анизотропии туфобетона по цилиндрической прочности. Как было уже показано, при водонасыщение сухих образцов наблюдалась обратная картина—уменьшение K_1 с 1.21 (при сухих образнах) до значения 0.96 (при водном хранении 3 мес.).

Высыхание оказывает существенное влияние в на деформации (продольные и поперечные) образцов ПЕС и ПАС (фиг. 3). Независимо от направления ежимающей нагрузки по отношению к слоям бетонярования, высыхание привело к увеличению как продольных, так и поперечных деформаций туфобетона. Из обоих графиков фиг. 3 ясно видно, что с увеличением продолжительности высыхания кривые продольных и поперечных деформаций все больше приближаются к осям деформации. При этом влияние высыхания на деформации образцов ПЕС более чувствительно, чем на деформации образцов ПАС.

Более ясное количественное представление о влиянии высыхания на деформации (продольные и поперечные) туфобетона можно получить из данных табл. 4, где приведены касательные модули деформации и поперечные деформации при различных напряжениях. Из этих данных следует, это влияние высыхания на модуль деформации качественно имеет тот же характер, что и влияние высыхания на прочность туфобстона. С момента начала высыхания наблюдается закономерный спад модуля деформании во премени, причем этот спад в случае образнов ПЕС более существенен, чем в случае образнов ПАС. После 6 мес. высыхания спад модуля деформации образнов ПЕС независимо от величины напряжения, составил 44%, а образцов ПАС при напряжения 0 и 15 МПа — 18% и 9%. Интересно го, что и изолированных образцах модуль деформации образцов ПЕС существенно больше модуля деформации образцов ПАС, а через месячное высыхание и в дальнейшем уже имеет место обратное. При этом, с увеличеньем продолжительности высыхания разлица модулей деформаций образцов ПЕС и ПАС увеличивается, что весьма закономерно.

Таким образом, высыхание и в связи с этим исчезновение водных прослоек привело к более чувствительному спаду модуля деформации, чем прочности туфобетона.



Фис. 3. Влияние высыхания на деформации туфобетона

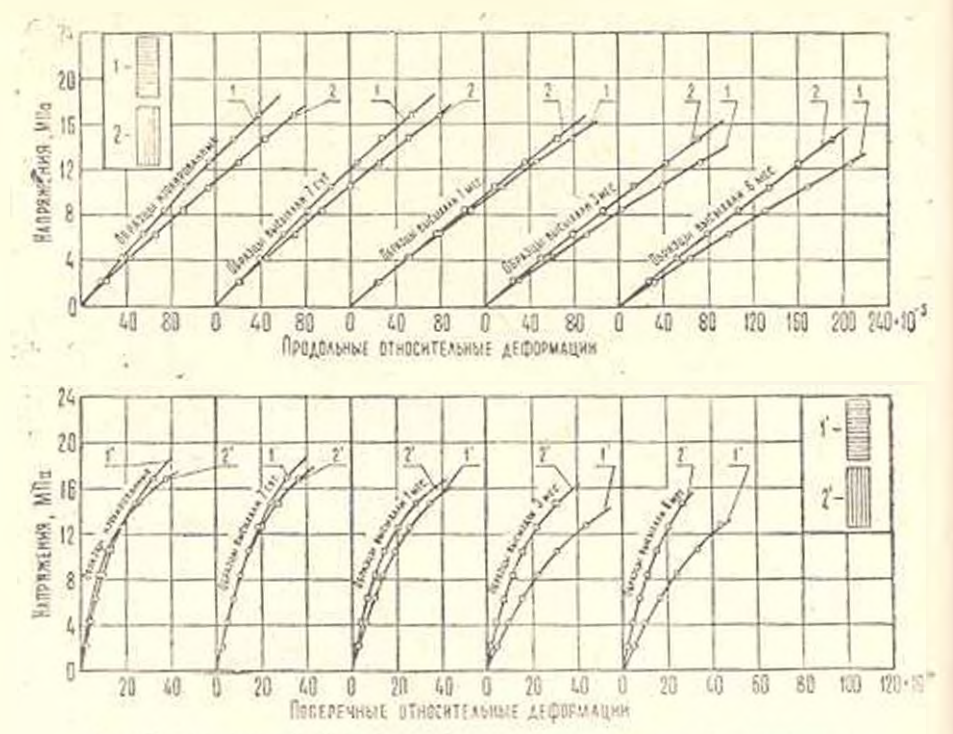
По данным табл. 4 в результате высыхання поперечные деформации туфобетона также увеличились, причем эти изменения в случае образцов ПЕС оказались весьма существенными, а образцов ПАС — незначительными. Так, например, при папряжении 10 МПа после 6 мес. высыхания поперечные деформации образцов ПЕС увеличились в 2.5 раза, а образцов ПАС всего — в 1.17 раза.

Рассмотрим теперь как влияет высыхание на степень анизотроции туфобетона по пролольным и поперечным деформациям туфобетона (фиг. 4). На верхнем графике в изолированных образцах кривая продольных деформации образцов ПЕС (кривая 1) проходит выше кривой продольных деформаций образцов ПАС (кривая 2). С увеличением продолжительности высыхания до месяца расходимость кривых 1 и 2 уменьшается, но уже кривая 2 проходит несколько выше кривой 1. После месяца дальнейшее высыхание уже приводит к постепенному увеличению расходимости кривых деформаций образцов ПЕС и ПАС, то есть к увеличению степени анизотропии по продольным деформациям.

Качественно аналогичным образом высыхание оказывает илияние и на степень аналогичным по поперечным деформациям туфобетона (нижний графак фиг. 4). Разница заключается и том, что по поперечным деформациям туфобетон становится изотропным после более короткого времени высыхания. После этого дальнейшее высыхание приводит к чувствительному увеличению степени анизотропии по поперечным деформациям и всегда кривая деформаций образнов ПАС (кривая 2) проходит выше кривой деформаций образцов ПЕС (кривая 1).

Вление высыхания на модуль деформании, поперечные деформации туфобетона и степень их анилогровии

продол- житель- ность	Напрапление сжимающей кагружи по отноше- иню к слоям бетопа ири испытании	Модуль леформации по жасательной ×10 ⁻² и АПТа при папряжении (АПТа)				Отношение модуля де- формации инсыхающих образцов к модулка де- формации изолированных образцов при папряжении (MHa)			Отношение модуля деформации оправнов ПАС к молулю леформации образнов ПЕС при вапражении (МНа)				Поперечные дефар- мании « _{пон} 10 ³ при напряжении (<i>AHIa</i>)			Отношение поперечных деформаций образцов НЕС к понеречным деформаниям образцов ПАС при напряжения (МПа)			
		0	5	10	15	0	5_	10	15	0	5	10	15	5	10	15	5	10	15
0	перпен. парал.	122 97	112 91	103 86	94 80	1.00	1.00	1.00 E.00	1.00	0.80	0.81	0.83	ນ.85	5.0 4.6	12.4 12.3	24.7 28.0	1.07	1.01	0.88
7 cym	пернен. парал.	114 93	104 88	94 83	85 79	0.93 0.96	0.93 0.97	10.01 70.0	0,90	n 82	0.85	0 48	0,93	5 5.2	13.1 13.4	25.3 28.5	1.02	0.98	0.86
1 .uec	перпен. нарал.	84 86	78 82	71 79	65 75	0.69 0.89	0.70 0.90	0.69 0.92	0.69 0.94	1 02	1.05	1.11	1.15	7.0 5.2	17.9 13.8	36.7 30.8	1.35	1.30	1.19
3 .400	периен. парал.	73 82	67 79	62 76	57 73	0,60 0,85	0.60 0.87	0.60	0.61	1 12	1.18	1.23	1,28	11.2 5.4	29.1 14.4	62.8 32.6	2.07	2.02	1.93
в мес	перпен. нарал,	68 80	63 78	58 75	53 73	0.56 0.82	0.56	0.56 0.87	0.56 0.91	1.18	1.24	1,30	1,38	12.2 5.8	30.6 14.4	61.5 28.5	2.10	2.12	2.16



Фиг. 4. Влияние высыхания на анизотропию деформаций туфобетона.

Паглядное представление о количественном изменении степени анизотронии туфобетока по модулю леформации и ноперечным дефорывирилея и винкумсыя итроиндетижлороди то итромириясь в мяшным ежамающего наприжения можно получить на данных табл. 4. Как видим, в случае изолированных образцов коэффициент анизотронии туфо бет на по модулю деформации К, при всех рассмотренных напряжениях меньше единицы в с увеличением напряжения от 0 до 15 МНа возрастает от 0.80 до 0.85. $K_{\rm c} < 1$, так как в этом случае модуль деформации образцов ПАС меньше модуля деформации образцов ПЕС. В результате высыхания в гечение первого неполного месяца К, в зависимости от величины напряжения в разное время возрастает до значения, равного един не, то есть туфобетои по модулю деформации становится изотропным. Последующее же высыхание до 6 нес, приводит к дальнейшему существенному росту К, причем тем больше, чем больще напряжение. при позышении напряжения от 0 до 15 МНа К. возрастает от 1.18 до 1.38. К. > 1. газ как в результате высыхания модуль деформания образнов ПАС становится больше модуля деформации образцов ПЕС.

Что касается коэффициента анизотропии туфобетона по поперечным деформациям — то последний в случае изолированных образцов при напряжении 5 MHa составляет 1.07 и с увеличением напряжения до 15 MHa уменьшается до значения 0.88 (табл. 4). После высыхания в течение первых 7 сит. К. несколько уменьшается, а дальнениее высыхание до 6 мес. приводит к его существенному увеличению, но уже

этот коэффициент практически не зависит от величины напряжения — при повышении напряжения от 5 до 15 МПа К, возрастает от 2.10 до 2.16.

Пя сравнения конечных значений коэффициентов K_2 и K_3 следует, что в результате высыхания степень анизотронии туфобетона по ноперечным деформациям увеличилась гораздо больше, чем по продольным деформациям.

Таким образом, в полном соответствии с результатами опытов нал водонасыщенными образнами, где нодонасыщение привело к существенному росту прочности и модуля деформации весьма старого сухого туфобетона, а также к тому, что этог бетон по прочности и модулю деформации стал изотронным, как и следовало ожидать, в опытах с высыхающими образцами получилось обратное явление. Как правило, независимо от того испытываются образцы НЕС или ПАС, после удаления изоляции высыхание весьма старого изолированного от влагонотери туфобетона приводит к понижению прочности и к увеличению его как продольных, так и поперечных деформаций. При этом, количественное влияние высыхания на прочность и деформативность бетона существенно зависят от направления сжимающей нагрузки по отношению к слоям бетонирования - понижение прочности и унеличение деформаций образдов ПЕС гораздо больше, чем образцов ПАС, По-этой причине за короткое время высыхания туфобетон сперва но прочиости и деформациям становится изотронным, однако, с дальнейшим высыханием его анизотронные свойства вновь начинают проявляться и степень анизотролии существенно возрастает,

Спал прочности, увеличение деформаций и изменение степени анизотровия бетона являются следствием тех пустот (дефектов), которыс остаются на местах водных прослоок после испарения воды. Заметим, что это отрицательное явление, которое происходит в результате испарения во времени, способствует также интенсификации деформации ползучести бетона в процессе его длительного сжатия. При этом, ползучесть бетона за счет этого до сих пор неизвестного механизма в большинстве случаев может оказаться весьма существенной.

§ 4. Практические рекомендации по уменьшению потери доли прочности бетона, вызванные испарением водных прослоек

Как уже отмечалось, наши опыты специально были поставлены над весьма старым изолированным бетоном (возраста 23 лет) с тем, что-бы можно было бы более обоснованно количественно оцеанть отряцательное влияние испарсиня водных прослоск на прочность и модуль деформации бетона и, как показали опыты, это влияние весьма существенно. Исходя из механизма данного ивления, можно заключить, что при наличии испарения вызванное испарением водных прослоск синжение прочности и модуля деформации будет тем больше, чем моложе бетон.

Сам же этот процесс закончится тем быстрее, чем меньше будет влажность среды.

На основании наших опытов можно сделать также вывод, что при наличии иснарения в любое время прочность бетона определяется наложением двух эффектов — положительного эффекта процесса твердения и отрицательного эффекта испарения водных прослоек.

По данным табл. З после высыхания в течение 6 мес. снижение прочности образнов ПЕС и ПАС соответственно составило 29% и 11%, а снижение модулей деформаций оказалось еще значительнее. Но если учесть, что и за неналежной изоляции больших цилиндров еще до момента выбуривания из них малых цилиндрических образцов имело место некоторое испарение, то фактические спады были еще больше. Наконец, эти спады оказались бы более значительными, если опыты прочодились бы пад молодым бетоном.

Таким образом, учитывая существенное отрицательное влияние испарения водных прослоек на прочность и модуль деформации бетона, необходимо и записимости от характеристик материалов, применяемых для приготовления бетона, условий производства работ и условий работы бетонных и железобетопных конструкций принять все необходимые меры, чтобы уменьшить, а если возможно, полностью исключить отрицательное влияние этого явления.

Как уже указывалось, причиной неодинаковости свойств бетона в различных направлениях, то есть анизотропии, являются те водные прослойки, которые образуются под зернами крупного заполнителя при укладке и уплотнении бетона. Анализ же вышеописанных новых опытов над высыхнющими образцами из весьма старого туфобетона показал, что именно с испарением этих водных прослоек связано спижение прочности и увеличение деформаций этого бетона, а также существенное песпичение степени его анизотропии.

К. С. Каранстви многочисленными опытами установил закономерности изменения степени анизотронии бетона по прочности, модуля деформации и леформациям ползучести при сжатии и растяжения в зависимости от различных факторов [5—15]. На основании этих опытов оп пришел к выводу, что все те факторы, которые приводят к уменьшению количества и размеров водных прослоск, а следовательно, и пустот (дефектов), тем самым уменьшают степени анизотронии бетона. Учитывая это, а также результаты вышеописанных новых опытов, можно следать ряд общих практических рекомендаций, которые позволяют существенно уменьшить и даже полностью исключить вызванное и п. рением водных прослоск снижение прочности и увеличение деформаций (продольных и поперечных) бетона.

На основании опытов [5-15] и выплеописанных опытов с водонасыщенными и высыхающими образцами из туфобетона можно заключить, что с точки зрения только положения элемента конструкций при бетонировании предпочтительным является горизоптальное положение, так как при этом отрицательное влияние испарения водных прослоск намного меньше. Как известно, для сборного строительства большинство элементов конструкций бетонируется именно в горизонтальном положении. Что касается монолитного строительства, гле элементы конструкций бетонируются в рабочем положении, то для уменьшения потери прочности элементов, бетонируемых в пертикальном положении, необходимо принять другие меры

Как известио, с увеличением размеров поперечного сечения бетонного элемента, влажности среды, продолжительности вибрации бетонной смеси и расхода цемента степень анизотропни бетона по прочности, модулю деформации и деформациям ползучести уменьциается [8—10, 12]. Объясняется это тем, что с увеличением размеров поперечного сечения бетонного элемента отрицательное илияние испарившихся из его наружных слоев водных прослоек на общую прочность и деформации элемента уменьшается Вполне понятно, что влияние масштабного фактора тесно сиязано с влажностью среды и чем больше влажность, тем меньше отрицательное ялияние испарения водных прослоек. Что касается продолжительности вибрации бетонной смеси и расхода цемента, то с их увеличением уменьшается количество и размеры водных прослоек, а следовательно, и пустот (дефектов), что также приводит к уменьшению потери прочности

Таким образом, карьнруя этими и другими факторами можно существенно уменьшить вызванное испарением водных прослоск снижение прочности и модуля деформации бетона.

Так как вызванное испарением водных прослоск снижение прочности и модуля деформации бетопа зависит от масштабного фактора, авторы решили более подробно изучить этот вопрос. Если рассматривать приготовленные из одного и того же бетона два бет инных цилиндра различных диаметров, то в результате высыхания цилиндр малого диаметра может высохнуть полностью и поэтому его прочность окажется меньше, чем прочность большого цилинара, так как сечение последнего высохнет частично. Высыхание наружных слоев большого цилиндра приведет к тому, что прочность бет на в этой части будет значительно меньше, чем в его пелысохшен ядровой части. Все сказанное в полной мере относится и к модулю деформации. К такому заключению мы прчходим ил сравнения данных табл 1 и 3, относящихся к прочностям сухих и изолированных образнов — этношение прочности изолированных образцов к прочности сухих образцов по данным испытаций образцов ПЕС и ПАС соотнетственно составляет 1.70 и 1.33. Как видим, развиша. прочностен сухих и изолированных образнов весьма существенна, однако, утверждать, что все это является следствием только испаревня водных прислова нег основания так как частично это могло быть обусловлено преждевременной стабилизацией процесса твердения также из-за высыхания бегона.

Для экспериментальной процерки как изменяется прочность бетона с паружных слоев в глубь бетонного элемента нами были поставлены специальные опыты по описанной в § 1 методике 11a отот раз бетоиным элементом, из разлых зон сечения которого выбуривались малые цилиндрические образцы ($d=5.5\,$ см, $h=18\,$ см), был цилиндр диаметром 50 см, изготовленный из того же туфобетова, состав которого был приведен в § 1. Большой пилиндр до трехлетнего возраста хранился в воздушно-влажных условиях, а затем до момента выбуривания из него в возрасте 23 лет малых пилиндрических образцов — под открытым небом. Для установления закономерности изменения прочности бетона по поперечному сечению большого цилиндра в радиальных направлениях с наружного слоя до его оси малые пилинарические образцы выбуривались из 4-х поянций. При этом ось малого цилиндрического образца, выбуренного из позиции 4, совпадала с осью большого цилиндра. Отметим, что в этих опытах образцы испытывались перпендикулярно слоям бетонирования.

Ввиду большого объема данной статьи мы вынуждены привести только некоторые данные этих опыток. В этих опытах прочность малых цилиндрических образцов, выбуренных из позничи 1, 2, 3 и 4 большого цилиндра соответственно, составили 19 1, 24.1, 24.9 и 25.8 МПа, а модуль деформации при напряжении $10\,MHa-81;\ 108;\ 109$ и 110 в $MHa \times 10^2$, Қақ видим, прочность и модуль деформании образцов, выбуренных из позиции 1, в результате высыхания существенно меньше, чем тех образцов, которые были выбурены из позиций 2, 3 и 4. Отмстим, что глубина высохшего наружного слоя большого цилиндра составляла 9 см. При более инакой влажности среды эта глубина была бы еще больше, а прочность, всроятно, еще меньше По приведенным данным отношение усредненной прочности ядровой части больного цилиндра (средняя прочность позиции 2, 3 и 4) к прочности его наружного высохшего слоя (прочность по позиции 1) составляет 1.3. Соответствующее отношение модулей деформаций также получалось ным 1.3.

Установленный нами тот факт, что прочность наружных слоев большого цилиндра существенно меньше, чем прочность его ядровой части, указывает на необходимость учета этого фактора при проектировании бетонных и железобетонных конструкций. Для этого необходимо в С.Н и П предусмотреть специальный коэффициент условий работы. При этом, этот коэффициент должен быть установлен в записимости от размеров сечения элементов конструкций, влажности среды и положения элементов конструкций при бетонировании.

В эти опытах часть образиов, которые были выбурены из позиняи 2 ядровой части большого инлиндра (прочность в момент выбурьнания составляла 24.1 MHa, а модуль деформации при напряжения $10\,MHa-108$ в $MHa\times 10^2$) были испытацы через 4. 8 и 12 мес высыхания в обычных лабораторных условиях я их прочности соответственно составиля 23.4, 21.9 и 19.8 MHa, а модули деформаций при напряжения 10 MHa-72, 69 и 66 в $MHa\times 10^2$. Таким образом, эти опыты еще раз показали, что высыхание приводит к свижению прочности и модуля деформации, которое связано с испарением водных прослоек. По этим данным прочность снизилась на 18%, а модуль деформации — на 39%.

Установленный нами тог факт, что прочность бетона в наружных слоях большого бетонного элемента существенно меньше, чем в его ядровой части, заставляет обратить внимание еще на один важный вопрос. Каж навестно, сущестнуют стандартные перазрушающие методы определения прочности бетона на сжатие в конструкциях приборами механического действия путем определения косненных характеристик прочности бетона — величины отскока, размера отпечатка, усилия скалывания ребра конструкции, условного напряжения при отрыве. При этом все эти характеристики определяются на поверхности элеменга конструкций. Учитыная результаты наших опытов, приходим к выводу, что полученную такими методами прочность бетона можно отнести ко всему сечению элемента конструкции, если это сечение небольшое. При большом сечении элемента этого делать нельзя, так как прочность его наружных слоев существенно меньше, чем прочность ядровой части. Для учета повышенной прочности ядровой части, площадь которой может оказаться существенной частью общей илощади сечения элемента конструкции, необходимо ввести специальный поправочный коэффиинент.

Остановимся еще на одной возможности уменьшения потери доли прочности бетона, вызванной испарением водных прослоек. Как известно, уменьшение крупности заполнителя приводит к снижению прочности и к увеличению как краткопременных, так и длительных деформаций бетона. Но вместе с этим, с уменьшением крупности заполнителя степень анизотровии по прочности и деформациям уменьшается, а объясивется это тем, что чем меньше крупность заполнителя, тем меньше размеры пустот (дефектов), которые остаются под зернами заполнителя после испарения водных прослоек [14]. Учитывая это, применением мелкого заполнителя можно существенно уменьшить отрицательное влияние пустот (дефектов) на прочность бетона. Правда, применение мелкого заполнителя требует перерасхода цемента, однако, во многих случаях применение даже мелкозернистых бетонов может оказаться экономически более выгодным.

В заключение данной работы отметим, что наши опыты свидетельствуют о том, что при наличии испарения любые бетонные элементы являются неоднородно наследственно-стареющими телами, свойства которых изменяются во времени в зависимости от координат. Теория ползучести для неоднородно наследственно стареющих сред разработана Н. Х. Арутюняном [1—4].

Основные выводы

1. Водонасыщение оказывает существенное влияние на прочность, деформации (продольные и поперечные) и степень анизотропии весьма старого туфобетона при сжатии. Сиачала водное хранение приводит к некоторому адсорбционному спаду прочности и увеличению деформации, а в дальнейшем — к обратному явлению. При этом, эти изменения в большой степени зависят от продолжительности водного хранении и направления сжимающей нагрузки по отношению к слоям бетонирования.

Прочность сухих образцов, испытанных перпендикулярно слоям, заметно меньше, а деформации больше, чем образцов, испытанных параллельно слоям. Однако, эта развища прочностей и деформаций образцов, испытанных перпендикулярно и параллельно слоям, и результате водного хранения стирается и туфобетон по прочности и деформациям становится изотропным. Объясияется это тем, что положительный эффект, вызнаиный заполнением образовавшихся под зернами заполнителя пустот (дефектов) водой и случае образцов, испытанцых перпендикулярно слоям, более чувствителен, чем в случае образцов, испытанных параллельно слоям.

2. После удаления изоляции высыхание оказывает существенное влияние на прочность, деформации (продольные и поперечные) и степень анизотропии весьма старого туфобетона при сжатии. Высыхание приводит к чувствительному спаду прочности и увеличению деформаций бетопа.

Отрицательное влияние высыхания существенно зависит от направления сжимающей нагрузки по отношению к слоям бетопирования — для образцов, испытываемых перпендикулярно слоям это отрицательное влияние гораздо больше, чем для образцов, испытываемых нараллельно слоям. По этой причине, а также из-за того, что до удаления изоляции прочность образцов, испытанных перпендикулярно слоям больше, а деформации меньше, чем образцов, испытанных параллельно слоям, по мере испарения туфобетои спачала становится изотропным, а в дальнейшем — существенно анизотропным. Степень анизотропии по модулю деформации гораздо больше, чем по прочности.

Спад прочности и модуля деформации, а также изменение степени анизотропни бетона ивляется следствием тех пустот (дефектов), которые остаются на местах водных прослоек после их испарения. Испарение водных прослоек способстнует также увеличению деформаций усадки и ползучести.

3. С момента изготовления бетонного элемента на положительный процесс иго упрочнения во времени накладывается отрицательное илияние тех пустот (дефектов), которые остаются на местах образовавшихся под зернами крупного заполнителя водных прослоек после испарения последних. Снижение прочности и увеличение деформативности за счет этого отрицательного явления зависят от различных факторов и во многих случаях могут оказаться весьма значительными. Учитывая это, необхедимо и нависимости от характеристи, митериалов, применяемых для праготовления бетона, условий производства работ и условии работы бетонных и железобетонных конструкций принять исе необходи-

мые меры, чтобы уменьшить, а если возможно, полностью исключить отрицательное влияние этого явления.

Все те факторы, которые уменьшают количество и размеры водных прослоек, а следовательно, и пустот (дефектов), тем самым уменьшают потери доли прочности и деформации бетона.

- 4. Отрицательное влияние испарения водиых прослоек на прочность и деформативность бетона в большой степени зависит от масштабного фактора. При бетонном элементе малого сечения это влияние более существенно, чем при бетонном элементе большого сечения, так как в первом случае высыхание охнатывает все сечение, в то время как во втором случае голько часть сечения. Для учета этого отрицательного явления необходимо в СНвП предусмотреть специальный коэффициент условий работы, который, хотя бы на первых порах, должен быть установлен в зависимости от влажности среды, размеров поперечного сечения элемента конструкции и его положения при бетонировании.
- 5. Поскольку в результате испарения водных прослоек прочность наружных слоев бетонного элемента может оказаться существенно меньше, а деформации больше, чем его ядровой части, существующие неразрушающие методы оценки прочности бетона путем определения косвенных показателей на поверхности для элементов конструкций большого сечения пеприемлемы. Этими методами невозможно также оценить прочность бетона в конструкциях в зависимости от направления сжимающей нагрузки по отношению к слоям бетонирования. Для учета повышенкой прочности ядровой части бетонного элемента, а также его положения при бетонировании необходимо установить специвльные поправочные коэффициенты.

Ивститут механики АН Армянской ССР

Поступила 16 ХИ 1980

บ. นนคนจธรรมน, น. น. นนคนจธรรมน

ԶՐԱՀԱԳԵՑՄԱՆ ԵՎ ՉՈՐԱՑՄԱՆ ՀԵՏԵՎԱՆՔՈՎ ՇԱՏ ԾԵՐ ՏՈՒՖՈՐԵՏՈՆԻ ԱՄՐՈՒԹՑԱՆ, ԳԵՖՈՐՄԱՑԻԱՆԵՐԻ ԵՎ ԱՆԻԶՈՏՐՈՊԻԱՅԻ ԱՄՏԻՃԱՆԻ ՓՈՓՈԽՈՒԹՅՈՒՆՆԵՐԻ ՈՒՈՈՒՄՆԱՍԵՐՈՒԹՅՈՒՆԸ ՍԵՂՄՄԱՆ ԳԵՊՔՈՒՄ

Ավ փոփում

Աշխատանքում բերվում են շատ ձեր տուֆորհտոնի ամբուկյան, դեֆորժացիաների և անիզոտրոպիայի աստիճանի վրա ջրահադեցման և չորացման աղդեցությունների փորձարարական ուսումնասիրության արդյունըները սեղմժան դեպչում։

Փորձերը ցույց են տալիս, որ յօր բհառնի ջրահագեցումը բերում է նրա ամրության զգալի աձին և դեֆորմացիաների նվաղմանը և բհառնը դառնում է իզոտրոպ։ Չորացման ժամանակ տեղի ունի հակառակ երևույթը—նվազում է բետոնի ամրությունը և աճում են անիզոտրոպիայի աստիճանը և բեռնավորված նմուշի դեֆորմացիաննրը։

INVESTIGATION OF CHANGE IN STRENGTH, MODULUS OF DEFORMATION AND DEGREE OF ANISOTROPY OF EXTREMELY OLD TUFOCONCRETE UNDER COMPRESSION OWING TO INUNDATION AND DRYING

K. S. KARAPETIAN, K. A. KARAPETIAN

Summary

The paper deals with the results of the experimental investigation of the influence of inundation and drying on strength, deformations (ion-gitudinal and lateral) and degree of anisotropy of extremely old concrete under compression.

The experiments show that inundation of dry concrete results in a considerable increase in its strength, modulus of deformation, and the concrete by its strength and modulus of deformation becomes isotropic. During concrete drying the reverse phenomenon takes place—reduction in strength, modulus of deformation and increase in the degree of anisotropy.

ЛИТЕРАТУРА

- Арутюням И. Х. О теории ползучести дли неоднородно наследственно-стареющих сред Докл АП СССР, 1976, т. 229, № 3.
- Аритюлян И. А. Некоторые задачи теории ползучести для пеоднородно-старею ших тел. Или. АН СССР, МТТ, 1976, № 3.
- Арутюнян Н Л. Об уравнениях состояния в нелинейной теории подручести. Дока АН СССР, 1976, т. 231, № 3
- Арутюник И. Х. Краеван задача теорин ползучести для нарашиваемого тела. ВММ, 1977, т. 41, вып. 5.
- Каранстян К. С. Об одном существенном факторе в прочностных и деформитивные свойствах бетона. Докл. АН Арм ССР. 1957, г. 24, № 4.
- Карипетян К. С. Влияние апизотропии на ползучесть бегона. Изв. АН Арм. ССР, гер. физ.-мат. ивук, 1957, т. 10, № 6
- Карапетян К. С. Влияние анилотропни на ползучесть бегона при ежатии и растяжении в заънсимости от пеличины наприжения. Докл. АН Арм. ССР, 1964, т. 39, № 1.
- Каранетян К. С. Влияние анизотропии на ползучесть бетона при сжатии и растяжении в заянсимости от масштабного фактора. Изв. АП Арм. ССР, сер. физ.-мат. паук, 1964. т. 17. № 1.
- Карапетян К. С. Влинине анизотронии на ползучесть безона в записимости от влажности среды. Изв. АН Арм.ССР, сер. физ.-мат. наук, 1965, г. 18, № 2.
- Карапетяк К. С. Влияние випротролим на подзучесть бетона и записнмости от продолжительности вибрящия бетонной смеси Докл АН Анм ССР, 1965, т. 43, № 4.

- Карапетян К. С. Влияние анизотропии на ползучесть бетона в зависимости от высоты опытного образца. Нока. АН Арм. ССР, 1965, т. 40, № 5
- Карапетян К. С. Влияние анизотропии на прочность и получесть бетона и зависимости от расхода цемента. Изв. АН Арм ССР, сер. физ. мат. паук, 1965, т. 18, № 5.
- Карапетян К. С. Влияние анизопровин на ползучесть бетона в зависимости от возраста бетона к моменту загружения. Докл. АН Арм. ССР, 1965, т. 41, № 5.
- Карапетян К. С. Влияние анизотролии на ползучесть бетона в зависимости от размеров заполнителя. Локл. АН Арм. ССР, 1966, т. 42, № 2.
- Каролетян К. С. О вторичном твердении и изменении зникотролных свойств бетона при его водонасыщении. Докл. АН Арм. ССР, 1973, т. 57, № 3.
- 16. Карапетям К. С., Котикям Р. А., Карапетям К. А. Исследование анизотропин прочности и модуля деформации весьма старого бетона. Третий Национальный контресс по теоретической и прикладной механике. Доклады, книга 1. Варна, 1977.

Л. Г. НЕТРОСЯН

КАЧЕНИЕ ТЯЖЕЛОГО ЦИЛИНДРА ПО ПЛОСКОСТИ, ПОКРЫТОЙ СЛОЕМ ВЯЗКОГО СТРУКТУРНОГО ВЕЩЕСТВА

Механизму влияния твердой поверхности на контактирующую с ней жидкость были посвящены работы многих исследователей. По-видимому, молекулы жидкости, тесно контактирующие с твердым телом, сцеплянсь с поверхностью или адсорбируясь на ней, создают поверхностные слои, образующие поверхность раздела соприкасающихся тел. Эти поверхностные слои обладают особыми свойствами, часто резко отличными от свойств того же вещества и объеме фазы. По миснию Кингебери [1] в области притяжения молекул металла происходит интенсификация вязкости части жидкости. Харди и Поттейдж [2] и Хенникер [3] также утверждают, что вблизи твердой стенки необщчю высока вязкость по сравнению с вязкостью в свободном объемс жидкости.

Для выясления плияния грайичных поверхностей на вязкость толких пленок смазки между двумя оптически плоскими нараллельными круглыми лисками, сближающимися друг с другом. Нидс [4] провел серию экспериментов. Измерения, выполненные им, показали, что с уменьшением голщины слоя увеличищется расхождение между измеренными и расчетными интерпалами времени сближения дисков. Фактическое время сближения дисков было больше расчетного, что указывает на искоторое увеличение эффективной вязкости смазки в тонких пленках. Нельзя дать иного объясления этому эффекту, кроме как предположить, что близость металлической поверхности влияет на вязкость жилкость, заставляя пленку становиться более твердой [5].

Теоретические расчеты вышеужазанных экспериментов были основаны на влассической теории континуума. Однако клаесическая точка зрения налагает сильные ограничения на пределы в которых континуальное описание макроскопического новедения может успецию отражать тонкую структуру материали. Накопившиеся факты последних лет свидетельствуют о том, что клаесическая теория континуума Навье-Стокса не может предсказать поведения некоторого класса жидкостей и особенчо течений через тонкие капилляры и узкие зазоры, так как не солержит механизма для объяснения наблюдаемых повых физических явлений. Это обстоятельство совместно с другими недостатками клаесической теории континуума привело исследователей к разработке теории несимметричных структурных жидкостей (моментиал теория). В этой теории введены два независимых кинем. поческих рестор-

ных поля, одно из которых представляет поступательные движения частиц жидкости, а другое вращательные движения частиц [6—9 и др.].

Ниже рассматрявается задача качення тяжелого цилиндра по плоскости, покрытой слоем вязкого структурного вещества (несимметричная жидкость).

1. Приближенные уравнения плоско-параллельного течения для глазочного слоя. Основные законы механики сплошной среды в дифференциальной форме имсют вид

$$\begin{split} \frac{d\phi}{dt} + \rho v_{i,\,i} &= 0, \quad \rho \frac{dv_i}{dt} = z_{ji,\,j} + \rho f_{ji} \quad \rho I \frac{dw_i}{dt} = z_{ijk} z_{jk} + \mu_{ji,\,j} + \rho c_i \\ \rho \frac{du}{dt} &= (v_{i,\,j} - c_{kji} w_k) z_{ji} + w_{k,\,j} \mu_{ji} - q_{i,\,i} \end{split} \tag{1.1}$$

Здесь р массовая плотность жидкости, o_t — скорость точки, w— средняя угловая скорость вращения частиц, I— скалярная константа с размерностью момента инернии сдиницы массы, f_t — плотность распределения массовых сил, c_t — внешний массовый момент, — тензор Леви-Чивиты, u— удельная внутренияя энергия, q_t — вектор теплового потока, — текзор силовых напряжений, p_{tt} — тензор моментных напряжений.

Для определяющих уравнений имеем

$$\tau_{i,0} = (-p + i v_{i,0}) v_{i,1} + \mu \left(v_{j,i} + v_{j,j} \right) \tag{1.2}$$

$$\tau_{\{j\}} = \mu_{\ell} \left(v_{i_{\ell}} = v_{i_{\ell}} \right) + 2 \mu_{\ell} \tau_{mij} \omega_{m} \tag{1.3}$$

$$u_{td1} = c_1 u_{11} + c_2 (u_{11} + u_{12}) \tag{1.4}$$

$$\mathbf{p}_{[ji]} = c_a \left(\mathbf{w}_{i,j} - \mathbf{w}_{i,j} \right) \tag{1.5}$$

тле индексами в круглых скобках обозначены симметричные части тензоров силовых и моментных напряжений, а индексами в квадратных скобках антисимметричные части соответствующих тензоров. $\mathbf{p}_i \ \mathbf{p}_i, \ \mathbf{c}_{in} \ \mathbf{c}_{in} \ \mathbf{c}_{in} = \mathbf{n}$ положительные скаляры, характеризующие изотропные свойства среды, $\mathbf{p} = \mathbf{p}$ давление в жидкости.

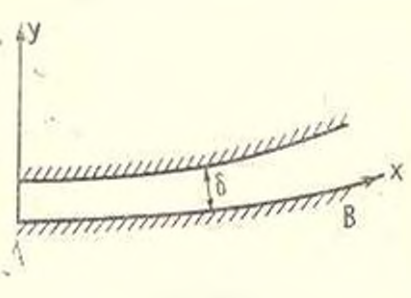
Подставляя (1.2)—(1.5) в уравнения (1.1) и считая коэффициенты вязкости постоянными по всей жидкости (однородная жидкость), получим уравнения движения структурных жидкостей.

Рассмотрим установнашееся плоско-параллельное течение вязкой структурной жидкости между приблизительно нараллельными новерхностями, радиусы кринизны которых достаточно велики по сравнению со средней толщиной слоя 6 (фиг. 1).

Для изучения движения жидкости выберем ортогональные криволинейные координаты х и у, причем координату х будем отсчитывать вдоль одной из направляющих AB, а координату y по направлению нормали к ней. При этом предполагается, что расстояние δ между поверхностями мало по сравнению с величиной $\frac{v-v_s}{U}$. где U-xарак-

терная скорость течения, $v = \frac{1}{2}$ и $v = \frac{1}{2}$ — соответственно кинематическая ньютоновская вязкость и кинематическая вращательная вязкость.

Ограничимся анализом двумерного (плоского) установившегося



Фиг. 1.

течения несжимаемой жидкости. Массовые силы и моменты будем считать пренебрежимо малыми. Тогда вектор скорости, вектор угловых скоростей и давление будут определяться зависимостями вида

$$v = v [u(x, y), v(x, y) \ 0]$$

 $\omega = \omega [0, 0, \omega(x, y)] \ (1.6)$
 $p = p(x, y)$

а уравнения движения свелутся к следующему виду:

$$\frac{\partial u}{\partial x} + \frac{\partial v}{\partial y} = 0$$

$$u \frac{\partial u}{\partial x} + v \frac{\partial u}{\partial y} = -\frac{1}{\rho} \frac{\partial p}{\partial x} + (v + v_r) \left(\frac{\partial^2 u}{\partial x^2} + \frac{\partial^2 u}{\partial y^2} \right) - 2v_r \frac{\partial w}{\partial y}$$

$$u \frac{\partial v}{\partial x} + v \frac{\partial v}{\partial y} = -\frac{1}{\rho} \frac{\partial p}{\partial y} + (v + v_r) \left(\frac{\partial^2 v}{\partial x^2} + \frac{\partial^2 v}{\partial y^2} \right) - 2v_r \frac{\partial w}{\partial x} \quad (1.7)$$

$$u \frac{\partial v}{\partial x} + v \frac{\partial w}{\partial y} = \frac{2v_r}{I} \left(\frac{\partial v}{\partial x} - \frac{\partial u}{\partial y} \right) - \frac{1}{I} + \gamma \left(\frac{\partial^2 w}{\partial x^2} + \frac{\partial^2 w}{\partial y^2} \right)$$

где $\gamma = \frac{c_- + c_+}{f}$ а $c_a = \frac{c_-}{f}$ и $c_+ = \frac{c_+}{f}$ коэффициенты моментной вязкости.

Ввиду малости в кривизной координатных линий будем пренебрегать и примем, что для течения в рассматриваемом нязком слое остаются справедливыми уравнения (1.7). Ввиду малости в будем считать, что составляющая скорости v много меньше u ($v \ll u$) и что, кроме того, вследствие прилипания жидкости к стенкам, изменения u и ω и направлении оси x происходят гораздо медлениее, чем в направлении y

TO ECTS, 4TO
$$\frac{\partial u}{\partial x} \ll \frac{\partial u}{\partial y}$$
 H $\frac{\partial w}{\partial x} \ll \frac{\partial w}{\partial y}$

Тогда, отбрасывая в (1.7) члены v, $\frac{\partial u}{\partial x}$, $\frac{\partial \omega}{\partial x}$, $\frac{\partial^2 u}{\partial x^2}$ и $\frac{\partial^2 \omega}{\partial x^2}$, как малые по сравнению с другими, получим следующие приближенные уравнения установнышегося плоско-параллельного течения для вязкого смазочного слоя:

$$\frac{1}{p} \frac{\partial p}{\partial x} = (v + v_t) \frac{\partial^2 u}{\partial y^2} + 2v_t \frac{\partial \omega}{\partial y}$$
 (1.8)

$$\frac{\partial p}{\partial y} = 0 \tag{1.9}$$

$$\left(c_{a} + c_{b} + \frac{\partial w}{\partial y^{a}} - 2v_{t} \left(2w + \frac{\partial u}{\partial y}\right) = 0 \tag{1.10}$$

$$\frac{\partial u}{\partial x} + \frac{\partial v}{\partial y} = 0 \tag{1.11}$$

Уравнения смазочного слоя (1.8)—(1.11) содержат члены, характеризующие несимметричность диады силовых и моментных напряжении.

Аналогичные уравнения для частных задач были получены также в работах [5] и [10], но в работе [10] в уравнении (1.10) опущен член однако, как показывает анализ порядка велични, этот член имеет такой же порядок, как и два других члена в уравнении (1.10). Исключение этого члена существенно влияет на характеристики движения в смазочном слое [5]. Оценки порядка величии, выполненные в [5], по нашему мнению, не вполне убедительны.*.

* Автор [5], изоля безразмерные параметры

$$\frac{x}{a} = \frac{x}{a} = \frac{y}{b} = \frac{u}{U} = \frac{v}{U} = \frac{\omega h}{U} = \frac{p}{U}$$

(2a - дляна пластины, h - толшины пленки) и пренебрегая <math>v, уравнения поступательных движении записал в безразмерной форме

$$\frac{1}{n}\frac{\partial u}{\partial x} = -\frac{\partial \overline{\rho}}{\partial x} + R_{h}^{-1} \left(\frac{h^{1}}{a^{2}} \frac{\partial^{2} \overline{u}}{\partial \overline{x}^{2}} + \frac{\partial^{2} \overline{u}}{\partial \overline{y}^{2}} \right) + 2N^{2}R_{h}^{-1} \frac{\partial^{2} \overline{u}}{\partial y}$$

$$O = -\frac{\partial \overline{\rho}}{\partial \overline{y}} - 2N^{2}R_{h}^{-1} \left(\frac{h}{a} \right)^{2} \frac{\partial \overline{u}}{\partial \overline{x}}$$

рде

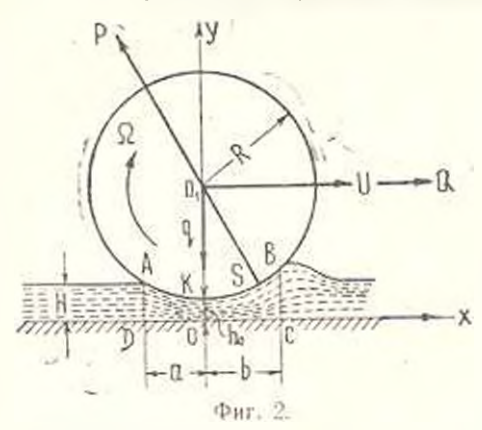
$$R_h = \frac{\rho U a}{\mu + \mu_r} \left(\frac{h}{a}\right)^2 \ll 1, \quad \left(\frac{h}{a}\right) \ll 1, \quad N = \left(\frac{\mu_r}{\mu + \mu_r}\right)^{\gamma_s}$$

Поскольку $R_h \ll 1$ и $\lfloor \frac{m}{n} \rfloor \ll 1$, то неубедительно получение из прицеденных уравлений соотношений (1.8) и (1.9).

2. Качение цилинора по плоскости, покрытой слоем вязкого вещества. Рассмотрим круглын цилиндр (каток) длины l_s , раднуса R и веса q, катящийся без скольжения с угловой скоростью Ω по горизонтальной плоскости, покрытой слоем вязкого вещества толщины li (фиг. 2). Найдем величину исобходимой для качения цилиидра силы тяги Q.

Для решения задачи применим к части вязкого слоя ABCD, нахолящейся в рассматриваемый момент непосредственно под цилиндром, приближенные уравнения (1.8)—(1.11).

Выбирая оси координат так, как показано на чертеже, и обозначач



переменную толщину слоя под цилиндром на расстоянии х от начала координат через h, будем иметь

$$h = h_0 + R - 1 \overline{R^2 - x^2}$$
 (2.1)

где $\Lambda =$ толицина визкого слоя при x = 0.

Обозначая абсинссы крайних точек A и B через — a и b и подагая, что меновенная ось кращения цилиндра проходит через точку $K(0, h_0)$, примем для рас-

сматриваемой задачи следующие граничные условия [9, 11]:

при
$$y = 0$$
 $u = 0$, $v = 0$, $w = 0$
при $y = h$ $u = \Omega(h - h_0)$, $v = -\Omega x$, $w = 0$
при $x = -a$ и $x = b$ $p = 0$
при $x = -a$ $\frac{\partial p}{\partial x} = 0$
(2.2)

Условия (2.2) выражают предположение о прилипании жидкости к тверлой границе. Первое из условий (2.3) означает, что давление вые объема поджатой части нязкого слоя полагается постоянным. Последнее условие принято во избежание отрицательных давлений в слое ABDC вблизи границы AD [11].

Решая уравнения (1.8) и (1.10) и пенольдуя граничные условия (2.2) для скорости и и угловой скорости ю, соответственно, получим

$$u = \frac{1}{2\rho v} \frac{\partial p}{\partial x} (y^2 - hy) + 2y \left(-\frac{h}{h} \right) \frac{kh \sinh kh}{kh \sinh kh + 2N^2 (1 - \cosh kh)} + \frac{(e^{-kh} - 1) \left[\frac{1}{2} \Omega \left(1 - \frac{h_0}{h} \right) - \frac{h}{4\rho v} \frac{\partial p}{\partial x} \left(1 - \frac{2N^2}{kh} \right) \right] - \frac{h}{kh \sinh kh + 2N^2 (1 - \cosh kh)} + \frac{h}{kh \sinh kh + 2N^2 (1 - \cosh kh)}$$

$$+(e^{-ky}-1)\left[\frac{1}{2}\frac{Q\left(1-\frac{h_{0}}{h}\right)-\frac{h}{4\rho v}\frac{\partial \rho}{\partial x}\left(1-\frac{2N^{2}}{kh}\right)\right]-\frac{h}{2\rho v}\frac{\partial \rho}{\partial x}}{kh\sinh kh+2N^{2}(1-\cosh kh)}\right]$$
(2.4)

$$\mathbf{e} = \left[\frac{1}{2} \, \Omega \left(1 - \frac{h_0}{h} \right) \frac{kh \sinh kh}{kh \sinh kh + 2N^2 (1 - \cosh kh)} - \frac{h}{4\sigma^2} \frac{\partial \rho}{\partial x} \right]$$

$$\times \left[\frac{e^{-\frac{h}{2}y} \left(e^{kh} - 1 \right) - e^{\frac{h}{2}y} \left(e^{-\frac{kh}{2}} - 1 \right)}{2\sinh kh} - 1 \right] + \frac{1}{2\gamma^2} \frac{\partial \rho}{\partial x} \left(\frac{\sinh ky}{\sinh kh} h - y \right) (2.5)$$

Здесь
$$N = \left(\frac{v_r}{v + v_r}\right)^{v_s}$$
, $I = \left(\frac{c_o + c_d}{4v}\right)^{v_s}$, $k = \frac{N}{\ell}$

Для определения давления *р* обратимся к уравнению перазрывностя (L11). Беря оз обоих частей этого уравнения интегралы по *у* в прежелах от 0 до *h* и принимая во внимание условия (2.2), получим

$$2x = \int_{0}^{h} \frac{\partial u}{\partial x} dy - \frac{\partial}{\partial x} \int_{0}^{h} u dy - \frac{\partial h}{\partial x} (u) = \frac{\partial}{\partial x} \int_{0}^{h} u dy - 2(h - h_0) \frac{dh}{dx}$$

Откуда, интегрируя по х, находим

$$2\int_{0}^{h}udy = 2(x^{2} + h^{3} - 2h_{0}h + C)$$
 (2.6)

Подставляя в левую часть полученного равенства значение и на (2.4) и вычисляя питеграл, будем иметь

$$\frac{h^3}{6\rho v} \frac{\partial p}{\partial x} = -\frac{2(x^2 - 2h_0 h + C)}{1 + \frac{12U}{h^2} - \frac{6NU}{h} \frac{kh(1 + ch kh) - 2N^2 sh kh}{kh sh kh + 2N^2(1 - ch kh)}} (2.7)$$

Заменяя здесь й его значением из (2.1) и определяя С по последие му из условий (2.3), найдем окончательно

$$\frac{\partial p}{\partial x} = 6\mu v \Omega \left[1 - \frac{h_0}{\sqrt{R^2 - a^2}} + 1 \cdot \frac{R^2 - x^2}{R^2 - x^2} \right] - \frac{a^2 - x}{h^3 f_h(N, l_1, h)}$$
(2.8)

Tae

$$f_h(N, l, h) = 1 + \frac{12l^2}{h^2} - \frac{6Nl}{h} \frac{kh(1 + \cosh kh) - 2N^2 \sinh kh}{kh \sinh kh + 2N^2(1 - \cosh kh)}$$
(2.9)

Выражения (2.1) и (2.5) вместе с (2.8) дают соответственно законы распределения скоростей и угловых скоростей в слое.

Закон распределения давлений походим из (2.8), принимая во винмание условие (2.3)

$$\rho(x) = 6 p \sqrt{2} \int \left[1 - \frac{h_0}{\sqrt{R^2 - a^2}} \right] \frac{a^2 - x^2}{h^3 f_h(N, l, h)} dx$$
(2.10)

Равнодействующая P сил давлений со стороны слоя на цилиндр будет, очевидно, проходить через центр O_i цилиндра, а се проскний на оси координат будут равны

$$P = -l_0 \int \frac{p(x) x dx}{\sqrt{R^2 - x^2}}, \qquad P = \int_{-a}^{b} p(x) dx \qquad (2.11)$$

При этом абсцисса точки з приложения равнодействующей будет

$$x_3 = \frac{P, R}{1} \tag{2.12}$$

Переходя к определению сил трения, отметим, что порядок их в рассматриваемой задаче ниже, чем порядок сил давления, так как вязкий слой между поверхностями тонок, в чем мы убедимся на числовых примерах. Поэтому составляющими сил трения можно преисбрегать по сравнению с соответствующими силами давления. В рассматриваемой задаче этот выпол, очевидный для составляющей вдоль оси Ох.

Для оценки величины силы трения ограничимся рассмотрением достаточно тонкого слоя. У которого среднее значение толщины слоя h мало по сравнению с a. Это условие, как видно на (2.1), будет выполнено, если в свою очередь a будет мало по сравнению с R, причем порядок малости величин h/a и a/R будет одинаков, а величина h/R будет иметь порядок a^2/R^2 .

Касательная составляющая вектора наприжения на элементе поверхности цилиндра, инутренняя нормаль к которому образует с осью оу угол ф, определяется по формуле

$$\tau_{xx} = \frac{1}{2} (\tau_{xx} - \tau_{yy}) \sin 2\varphi - \tau_{yx} \cos^2 \varphi + \tau_{xy} \sin^2 \varphi$$
 (2.13)

В рассматриваемом нами случае имеем

$$\sin \varphi = \frac{x}{R}$$
, $\cos 2\varphi = \frac{1}{R} \frac{R^2 - x^2}{R}$. $\sin 2z = \frac{2x}{R}$

а для напряжений

$$\tau_{yx} = -p + 2\rho v \frac{\partial u}{\partial x}$$

$$\tau_{yx} = \rho \left(\frac{\partial u}{\partial y} + \frac{\partial v}{\partial x}\right) + \rho v \left(\frac{\partial u}{\partial y} - \frac{\partial v}{\partial x}\right) + \frac{1}{2}\rho v_x w \qquad (2.14)$$

$$\tau_{yy} = -p + 2\rho v \frac{\partial v}{\partial y}$$

$$\tau_{xy} = \rho v \left(\frac{\partial v}{\partial x} + \frac{\partial u}{\partial y} \right) + \rho v_r \left(\frac{\partial v}{\partial x} - \frac{\partial u}{\partial y} \right) - 2\rho v_r \omega \tag{2.14}$$

Следовательно, напряжение силы вязкости на поверхности цилиндра будет представляться в виле

$$\left(\tau_{nx}\right)_{n} = \rho v \left[4 \frac{\partial u}{\partial x} \frac{x}{R} - \left(\frac{\partial u}{\partial y} + \frac{\partial v}{\partial x} \right) \left(1 - \frac{2x^{2}}{R^{2}} \right) - \frac{v_{x}}{v} \left(\frac{\partial u}{\partial y} - \frac{\partial v}{\partial x} \right) \right]_{n}$$

или приближенно

$$(\tau_{n-1})_k = -\rho (\nu + \tau_r) \left(\frac{\partial u}{\partial \nu}\right) + \nu \frac{2x^2}{R^2} \left(\frac{\partial u}{\partial \nu}\right)$$
 (2.15)

так как остальные члены будут пренебрежимо малы. Вычисляя (са.), с помощью (2.1) и (2.8) / причем в (2.8) второе из слагаемых, стоящих

в квадратной скобке, заменяется на $\frac{n}{2R}$) наилем для проекций на ось ох результирующей силы от касательных напряжений следующее вриближенное выражение:

$$F_{x} = l_{0} \int_{-a}^{b} (z_{n} \cdot)_{n} dx \approx -3 \rho v \Omega l_{0} (1 - N^{2}) \int_{-a}^{a} \left[\frac{a - x^{2}}{h^{2} f_{h} (N, l, h)} \left(1 - \frac{h_{0}}{2R} \right) + \frac{a^{2} h_{0}}{2R} \right] dx$$

$$+\frac{1}{3}\left(1-\frac{h_0}{h}\right)\frac{kh\sinh kh}{kh\sinh kh+2N^2(1-\cosh kh)}\left|\left(\frac{1}{1-N^2}-\frac{2x^2}{R^2}\right)dx\right|(2.16)$$

Для момента сил трения относительно оси О, цилиндра найдем приближенно:

$$M = -RF_x \tag{2.17}$$

Заметим, что порядок составляющей $F_{\mathbf{x}}$ по сравнению с $P_{\mathbf{x}}$ может быть оценен только после соответствующих конкретных расчетов.

Найденные ныше формулы (2.11), (2.12), (2.16) и (2.17) содержат три заранее пеизвестных параметра: a, b и h_a . Для их определения воспользуемся [11]:

- а) вторым условием (2.3) для давления.
- б) условием равновесия веса цилиндра с результирующей силой от давления слоя и
- в) предположением, что яблизи точки A, где слой наименее деформирован, можно приближению считать толицину слоя AD ранной заданной толщине недеформированного слоя H. Эти условия могут быть представлены в виде*

$$p(b) = 0,$$
 $P_{y} = q,$ (2.18)
 $H = h_{0} + R - \sqrt{R^{2} - a^{2}}$

При составлении второго условия проекцией силы трения на ось оу прецебретается

Составляя уравнение равновесия приложенных к цилиндру сил в проекции на ось ох, для силы тяги находим

$$Q \gg -(P_+ + F_-)$$
 (2.19)

В каждом конкретном случае все интегралы, входящие в полученные формулы, можно определить путем численного интегрирования.

Для оценки полученных результатов произведем приближенный подечет, полагая отношение $\frac{x}{R}$ настолько малым, что в выражениях, входящих под энак интегралов можно положить $1 | R^2 - x^2 | = R$ и, сле-

донательно, $h = h_0 = H$.

Тогда на (2.10) найдем

$$p(x) = \frac{6\rho v\Omega}{H^3 f_n(N, l, H)} \int_{-a}^{b} (a^2 - x^2) dx =$$

$$= \frac{2\rho v\Omega}{H^3 f_n(N, l, H)} (2a^3 + 3a^2 x - x^3)$$
 (2.20)

TAC

$$f_n(N, l, H) = 1 + \frac{12F}{H} = \frac{6Nl}{H} \frac{kH(1 + \cosh kH) - 2N^2 \sin kH}{kH \sin kH + 2N^2(1 - \cosh kH)}$$

Первое на условий (2.18) приводит к уравнению

$$b^3 = 3a^2b - 2a^3 = 0$$

единственным положительным корнем которого будет b=2a. Подставляя найденные значения p и b п (2.11), получим

$$P_{s} = -10.8 \frac{t_{0}^{3}}{RH^{3}f_{s}(N, l, H)} \qquad P_{s} = 13.5 \frac{t_{0}^{3}f_{s}(N, l, H)}{H^{3}f_{s}(N, l, H)} \quad (2.21)$$

Для силы трения при b=2a найдем на (2.16) значение

$$F_x = -10.8 \text{pv} 2 l_0 a^5 - \left(2 - \frac{H}{R}\right) \tag{2.22}$$

Если во всех полученных выражениях выделить общий множитель \mathfrak{p}_x $\Omega R l_a$ и заметить, что величины H/a и a/R имеют одинаковый порядок малости, го легко видеть, что P_m P_x и I_a имеют соответственно порядок $a^2 l H_b$, a/H и a/R. Таким образом, в данном случае в (2.19) величина F_x может быть отброшена как очень малая ин сравнению с P_x . Практиче ски ее влияние скажется лишь в том, что она создает момент (2.17) по рядка a/R, тормозящий качение.

Используя вторые из равенств (2.18) и (2.21), найдем для определения неизвестной а выражения

$$q = 13 \text{ a} \frac{6.00 / \text{ a}^4}{H^3 f_0(N, l, H)}$$
 (2.23)

Так как все наши расчеты справедливы ври H/a малом, то из (2.23) следует, что полученное решение годится лишь в том случае, если вес единицы длины катка q/l_a будет очень велик по сравнению с величиной $\omega \Omega R$.

Отбрасывая и (2.19) результирующую силу трения $F_{\rm c}$ и подставляя в это соотношение значения $P_{\rm c}$ из (2.21) и a из (2.23), получим

$$Q = 0.8a \frac{a}{R}$$
 (2.24)

HZIII

$$0.47 \left[\frac{Il^3 f_u(N, l, II)}{l_0} \frac{q}{l_0} \right]^{8L} \frac{q}{R}$$
 (2.25)

В последнем выражении коэффициент при — может рассматриваться как коэффициент трения качения [11]. Величина этого коэффициента, как видно из (2.25), убывает с уменьшением H и веса единицы длины катка qd и с увеличением pv и Ω , причем зависимость от последних трех нараметров значительно слабее, чем от H. Все эти выводы хорошо согласуются с физическим смыслом задачи. В частности, при $u = pv = \infty$ («абсолютно твердый слой») получается, как и следуег ожидать, что коэффициент грения качения равен нулю. Что касается векоторого уменьшения коэффициента трения качения с увеличением скорости движения, го этог факт нодтверждается целым рядом экспериментальных данных [12]

3 Обсуждение результатов. Отметим, что структурная (несимметричая) жидкость обладает новыми скалярными константами, связанными с учетом вращательного движения частиц. Структурная жидкость характеризуется тремя физическими константами v_i и $(c_{a^{-1}}, c_{a})$ в отличе от клиссической пьютоновской жидкости, которая характеризуется лишь одной константой вязкости v_i . Параметр v_i имеет размерность вязкости. Поскольку он появляется и результате учета вращательного движения частиц, го естественно его назвать вязкостью иращательного движения или просто вращательной вязкостью. Величина характеризует сопротивление вращательным движениям подобно тому, как сдвиговая ньютоновская вязкость характеризует сопротивление поступательным движениям. Константи $(c_a + c_d)$ имеет размерность $[v][L^2]_i$ и с ее помощью можно составить параметр $I = \left(\frac{-1}{4v}\right)^{-1}$.

который имеет размерность длины. Параметр *l* может быть отождествлен с некоторон характеристикой вещества, зависящей от размера молекул [5].

Несимметричность жидкости характеризуется двумя безраамерными параметрами

Параметр связи У, определенный формулой

$$N = \left(\frac{v_r}{v + v_r}\right)^{5k}$$

характеризует связь уравнений поступательного движения (1.8) и вращательного движения (1.10). Когда $\rightarrow 0$ ($N \rightarrow 0$), эти уравнения разделяются и уравнение движения (1.8) сводится к обычному уравнению Рейнольдеа для смазочного слоя.

Второй важный безразмерный параметр L представляет собой отношение начальной толщины слоя к характерной материальной длине, то есть

$$I_r = \frac{H}{l}$$

Это число характеризует взаимосвязь между геометрией и свойствами жилкости.

Можно ожидать, что эффекты структурных жидкостей булут ярче проявляться либо при большом t (что соответствует большому размеру подструктуры), либо при малой толщине слоя, то есть с уменьшением безразмерного параметра L эффекты структурных жидкостей становится более ощутимыми.

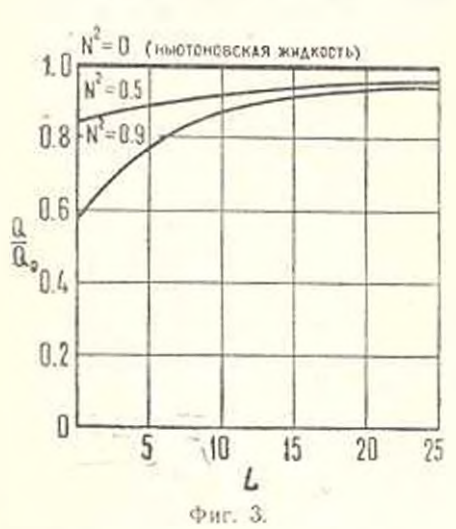
В другом кредельном случае $L \to \infty$ мы снова приходим к результатам для ньютоновской жидкости. Это означает, что в данном предельном случае реологические аномалии отсутствуют. Заметим, что $L \to \infty$ соотнетствует исчезающее малому размеру элемента подструктуры по сравнению с начальной толщиной слоя.

Для безразмерной силы тяги имеем

$$Q^* = \frac{Q}{Q_0} > |f_L(N, L)|^{t_0} \tag{3.1}$$

где Q_a — силы тяги для классического решения и

$$f_L(N,L) = 1 + \frac{12}{L^2} - \frac{6N}{L} \frac{NL(1 + \cosh NL) - 2N^2 \sinh NL}{NL \sinh NL + 2N^2(1 - \cosh NL)}$$
(3.2)



Выражение (3.1) для безразмерной силы тяги сводится к выведенному H. А. Слезкиным при $N \to 0$ или $L \to \infty$

$$\lim_{\substack{L \to 0 \\ N \to 0}} f_L(N, L) = 1 \tag{3.3}$$

В третьем предельном случае $L \to 0$ классическое решение умножается на $(1-N^2)$

$$\lim f_L(N, L) = (1 - N^2)$$
 (3.4)

На фиг. 3 показаны графики зависимости безразмерной силы

тиги $\frac{Q}{Q_0} = [f_L(N,L)]^N$ от параметра L для различных значений N.

График показывает, что снижение L соответствует синжению безразмерной силы тяги ири всех значениях N, кроме N=0, относящегося к классическому случаю выотоновской жидкости, когда сила тяги не зависит от изменений L. Заметим, что снижение L соответствует уменьшению толщины вязкого слоя. Итак, чем меньше толщина вязкого слоя, тем более явио выражено влияние подструктуры, вызывающее существенное возрастание эффективной вязкости в тонких слоях.

Ереванский государственный университет

Поступила 26 X 1979

լ. Գ. ՊԵՏՐՈՍՅԱՆ

ԾԱՆԲ ԳԼԱՆԻ ԳԼՈՐՈՒՄԸ ՄԱԾՈՒՑԻԿ ՍՏՐՈՒԿՏՈՒՐԱՅԻՆ ՆՅՈՒԹԻ ՇԵՐՏՈՎ ԾԱԾԿՎԱԾ ՀԱՐԹՈՒԹՅԱՆ ՎՐԱՅՈՎ

Ամփոփում

Քննարկվում է ծանր գլանի գլորումը մածուցիկ սարուկաուրային նյուհով ձաձկված Հարքության վրայով։ հնդրի լուժման համար կիրառված է ոչ սիմետրիկ (սարուկաուրային) շնղուկննրի անսությունը։ Ստացված է անալիտիկ արտաշալտություն դլանի գլորման ըարշիշ ուժի համար, իսկ միկրոստրուկտուրային ազդեցությունը պատկերված է գծագրի վրա։

THE ROLLING OF A HEAVY CYLINDER ALONG THE PLANE COVERED WITH A LAYER OF VISCOUS STRUCTURAL SUBSTANCE

L. O. PETROSIAN

Summary

The rolling of a heavy cylinder along the plane covered with a layer of viscous structural substance is considered. To obtain the solution the theory of asymmetrical (structural) fluids is applied. The analytic expression for the tractive force of the rolling cylinder is obtained, and the influence of microstructure is illustrated by the graph.

ЛИТЕРАТУРА

1. Kingsbury A. A New Oil Testing Machine and Some of its Results Trans. ASME, 1903, vol. 24, p. 143.

2. Hardy W., Nottage Al. Studies in Adhesion-I. Proceedings of the Royal Society of

London, Series A. 1926, vol. 112, p. 64.

3. Henniker J. C. The Depth of a Surface Zone of a Liquid. Reviews. Modern Physics, 1949, vol. 21, p. 322.

- 4. Needs S. J. Boundary Film Investigations, Trans. ASME, 1910, vol. 62,p. 331.
- 5 Прак Ста Теория сдавливания пленок микрополярных жидкостей. Тр. американского общества инженеров-механиков Проблемы трения и смазки, 1976, т. 98, серия F, № 1, с. 147
- Grad H. Statistical Mechanics, Thermodynamics and Fluid Dynamics of Systems with an Arbitrary Namber of Integrals Commun. Purc. App. Math., 1952, vol. 5, p. 455.
- 7 Аэро 7 Бульган А. Н., Кившинский Е. В. Асимметрическая гидромеханика, ПММ, 1965, т. 29, вып. 2.
- 8 Исцен Ван Деп Листров А. Т. О веизоперяществой медеди несимметричных жидкостей. Изо. АН СССР, Механика жидкости и газа, 1967, № 5.
- Петрогия Л. Г. Песаслование гадродинамического поледения многокомпонентного континуума с асимметрическим гелгором паприжения Ученые записки ГГУ, 1976, № 3, 1977, № 2, 1978, № 2.
- Agrawal V. K., Ganju K. L., and S. J. Squeete Film and Externally Pressurized Bearings Micropolar Find J. Linkated. Wear, 192 vol. 19, M. 3, p. 259
- 41. Следкия И. 4. Динамика визкой поскимаюмой видкости ТПТТД, М., 1955.
- $\{2, Tape(C, M)\}$ О, новыме са и и серие даминарних и темии $\{1\}$ стух георицан, $\{M, +2\}$, 1951

Механика

А. В. БЕРДАКЧИЕВ

ТРЕХМЕРНЫЕ ЗАДАЧИ СВЯЗАННОЙ ТЕРМОУПРУГОСТИ ДЛЯ БРУСА ПРЯМОУГОЛЬНОГО СЕЧЕНИЯ

Постановка связанных задач механики сплошной среды в общем виде дана н [1]. Задачам связанной термоупругости посвящены обзоры [2—5]. В настоящей работе при некоторых граничных условиях даны решения квазистатических задач связанной термоупругости для бруса прямоугольного сечения.

В случае линейной изотропной однородной термоупругой среды при малых деформациях уравнения равновесия и уравнение притока тепла имеют вид [5]

$$\mu \Delta u_i + (\lambda + \mu) e_i + X_i = \pi 0, \qquad (i = 1, 2, 3)$$
 (1.1)

$$\Delta 9 - \frac{1}{x} 6 - x + Q = 0 {1.2}$$

$$e = u$$
, $x = \frac{v^0}{c_0}$, $y = \frac{\tau T_0}{V^0}$, $Q = \frac{\tau C}{V^0}$, $\gamma = (3\lambda + 2\mu)\alpha_0$

гле u_i вектор перемещения; $0=T-T_i$ — перенад температуры (то есть разность между текущей температурой T и некоторой равновесной T_i): λ и α — постоянные Ламе; λ° — коэффициент теплопроводности; c_i — теплоемкость при постоянной деформации; ω — коэффициент теплового в единице объема в единицу времени; α_0 — коэффициент теплового расширения Поскольку случай произвольных объемных сил всегда сводится к случаю, когда объемные силы имеют потенциал $\{7\}$, то будем считать, что $X_i = C_{ij}$. Компоненты тензора напряжений α_{ij} и тензора деформаций ϵ_{ij} :

$$\sigma_{tj} = 2\mu \epsilon_{tj} + (ie - \gamma \theta) \delta_{tj}, \qquad 2\epsilon_{tj} - \omega_{ti} + \omega_{ti}$$

Начальные условия:

$$u_{\perp}|_{t=0} = f_{\perp}(x_{\perp}), \quad \theta|_{t=0} = h(x_{\perp})$$
 (1.3)

где $f_t(x_k)$, $h(x_k)$ заданные функции координат x_t (k=1, 2, 3), t— время. Квазистатическая задача связанной термоупругости состоит в интегрировании системы уравнений (1.1), (1.2) при удовлетворении начальным условиям (1.3) и некоторым граничным условиям для u_t и 0, которые мы пока не будем конкретизировать. Интегрируя (1.2) по времени от 0 до t с учетом (1.3), получим

201. 1. 1. 1. 2

$$\frac{\theta}{x} = \int_{0}^{t} \Delta \theta dz - \eta e + L, \qquad \left(L \equiv \frac{h}{x} + \eta f_{x, b} + \int_{0}^{t} Q dz \right) \tag{1.4}$$

Подстанляя выражение для в (1.4) в (1.1), найдем

$$\mu \Delta u_1 + (\lambda_1 + \mu) e_1 = \gamma x \int_0^t (\Delta \theta) d\tau + (\gamma x L - G)_1$$
 (1.5)

где $\lambda_i=\lambda+\eta$ тх. Представим u_i в виде $u_i=v_i+w_i$, $e=e_v+e_w$, $e_v=v_{k,k}$, $e_w=w_{k,k}$. где v_i — решение системы

$$p\Delta v_{1} - (\lambda_{1} + p) c_{p,1} = 0 {(1.6)}$$

а w_i — любое частное решение системы (1.5). Будем искать w_i в виде $w_i = \Phi_{ii}$. Подставляя это выражение в (1.5) и учитывая, что

$$\Delta (\operatorname{grad} \Phi) = \operatorname{grad} \operatorname{div} (\operatorname{grad} \Phi) - \operatorname{rot} \operatorname{rot} (\operatorname{grad} \Phi) = \operatorname{grad} \Delta \Phi$$

найдем Ф в виде

$$\Phi = \gamma_1 \int_0^t 0dz + F, \qquad \gamma_1 = \frac{\gamma_1}{\lambda_1 + 2\mu}$$

где F — любое частное решение уравнения $(I_1+2\mu)\Delta F=\gamma zL-G$. Таким образом,

$$u_{i} = v_{i} + \prod_{i} \int_{0}^{t} \theta_{i} dr + F_{i}$$
 (1.7)

Из (1.7) следует, что

$$e = e_v + \gamma_1 \int_0^1 \Delta \theta d\tau + \Delta F \tag{1.8}$$

Подставляя (1.8) в (1.4), получим

$$b = k^2 \int_0^t \Delta \theta dz = \Lambda i - \gamma_i x e \qquad (1.9)$$

$$\kappa = \frac{\pi (\lambda + 2\mu)}{\lambda_1 + 2\mu} \qquad M = \frac{\pi [(\lambda + 2\mu) L + \eta G]}{2\mu}$$

Исключая $\int \Delta b d\tau$ из (1,8) и (1.9), изйдем более простое выражение для е

$$(\lambda + 2p) e = (\lambda_1 + 2p) e_p + \gamma \theta - G$$
 (1.10)

$$\theta - k^2 \Delta \theta = M - \eta r e_n \tag{1.11}$$

В некоторых задачах v_n а следовательно, и e_n удается найти, не используя уравнение (1-11). Тогда подставляя найденное значение e_n в (1-11), получим для в уравнение (1-11) с известной правой частью и с некоторым граничным условием. Найдя v_n по формуле (1-7) определим v_n .

В прямоугольной декартовой системе координат Ох,х,х, компоненты тензора напряжений

$$\sigma_{11} = 2\mu \frac{\partial u_1}{\partial x_1} + \lambda e - \gamma \theta = (\lambda + 2\mu) e - \gamma \theta - 2\mu \left(\frac{\partial u_2}{\partial x_2} + \frac{\partial u_3}{\partial x_3} \right) \quad (1.12)$$

$$\sigma_{22} = 2\mu \frac{\partial u_3}{\partial x_2} + ie \qquad (1.13)$$

$$\sigma_{12} = \mu \left(\frac{\partial u_1}{\partial x_2} + \frac{\partial u_2}{\partial x_1} \right) \qquad \sigma_{11} = \mu \left(\frac{\partial u_2}{\partial x_1} + \frac{\partial u_1}{\partial x_2} \right)$$

$$\sigma_{22} = \mu \left(\frac{\partial u_2}{\partial x_2} + \frac{\partial u_2}{\partial x_2} \right) \qquad (1.14)$$

Систему (1.6) можно записать и форме

$$x_1 \frac{\partial e_v}{\partial x_1} = \frac{\partial w_{v3}}{\partial x_1} - \frac{\partial w_{v3}}{\partial x_2} = \frac{\partial w_{v3}}{\partial x_2} = \frac{\partial w_{v3}}{\partial x_1} - \frac{\partial w_{v3}}{\partial x_1}$$
(1.15)

$$-\frac{\partial e_{\tau}}{\partial x_1} = \frac{\partial u_{\tau 2}}{\partial x_1} - \frac{\partial u_{\tau 1}}{\partial x_2} \qquad (1.16)$$

$$c_1 = \frac{\partial v_1}{\partial x_1} + \frac{\partial v_2}{\partial x_2} + \frac{\partial v_3}{\partial x_1}, \qquad c_{v1} = \frac{\partial v_1}{\partial x_2} - \frac{\partial v_2}{\partial x_2}$$
 (1.17)

$$\omega_{v_3} = \frac{\sigma v_1}{\partial x_2} - \frac{\sigma v_3}{\partial x_1}, \qquad \omega_{v_3} = \frac{\partial v_1}{\partial x_1} - \frac{\partial v_2}{\partial x_2}$$
 (1.18)

Пусть дан бесконечный бруе прямоугольного поперечного сечения, ось которого параллельна оси Ox_i . В плоскости x_iOx_i получим прямоугольник ABCD — поперечное сечение бруса, $x_i = 0$, $x_i = a$, $x_2 = 0$, $x_4 = b$ соответственно уравнения граней AD, BC, AB, CD бруса, которые мы будем именовать так же, как соответствующие стороны прямоугольника ABCD. Будем считать, что внешние воздействия симметричны относительно плоскости x_iOx_i , и периодачны с периодом 2c в направлении оси Ox_i . Далее будут ланы точные решения надач, когда на одних гранях бруса заданы пормальные смещения, касательные усилия и тепловой поток, а на других — касательные смещения, нормальные усилия и температура. Решение каждой такой задачи будет получено и виде сумым решений более простых задач, которые мы рассмотрим в первую очередь.

Задача 1. На гранях АВ и CD заданы граничные условия

$$|u_2|_{x_1=0}$$
 $|\sigma_{12}|_{x_1=0}=0$ $|\sigma_{12}|_{x_2=0}=0$ (1.19)

$$=0, \qquad =0, \qquad =0, \qquad =0 \qquad =0 \qquad =0 \qquad (1.20)$$

Учитывая наше предположение о характере висшних воздействий, искомые функции разложим в ряды Фурье вида

$$u_{1} = \sum_{m, n=0}^{\infty} u_{2mn}(x_{1}, t) \cos \alpha_{m} x_{2} \cos \beta_{n} x_{3}$$

$$u_{2} = \sum_{m, n=0}^{\infty} u_{2mn}(x_{1}, t) \sin \alpha_{m} x_{2} \cos \beta_{n} x_{3}$$

$$u_{3} = \sum_{m, n=0}^{\infty} u_{3mn}(x_{1}, t) \cos \alpha_{m} x_{2} \sin \beta_{n} x_{3}$$

$$0 = \sum_{m, n=0}^{\infty} \theta_{mn}(x_{1}, t) \cos \alpha_{m} x_{2} \cos \beta_{n} x_{3}$$

где $a_m = \frac{b}{b}$ = $\frac{1}{c}$ Граничные условия (1.19), (1.20) удовле-

творены. Аналогичные разложения легко выписать и для заданных функций и мы этого делать не будем. Соответствующие коэффициенты разложений будем снабжать индексами m, n, причем и последующих соотношениях суммирование по повторяющимся индексам m и n не производится. Для каждых m, n c учетом (1.10) в (1.12) вместо (1.12)—(1.18) получим

$$\sigma_{11mn} = (\iota_1 + 2\mu) \qquad -2 (\alpha_m u_{2mn} + u_{3mn}) \qquad (1.21)$$

$$\sigma_{22mn} = 2 = u_{2mn} + u_{mn} - \gamma \theta_{mn}, \qquad \sigma_{33mn} = 2\mu_{2n}^2 u_{3mn} + \lambda e_{mn} - \gamma \theta_{mn} \qquad (1.22)$$

$$z_{12mn} = \mu \left(\frac{\partial u_{2mn}}{\partial x_1} - z_m u_{1mn} \right), \qquad z_m = \mu \left(\frac{\partial u_{3mn}}{\partial x_1} - 3 u_{1mn} \right)$$

$$c_{23mn} = -\mu \left(8_n u_{.mn} + u_{3mn} \right)$$

$$v_1 = \frac{\partial e_{-m\pi}}{\partial x_1} \qquad \qquad (\mathfrak{S}_{vmn} = \mathfrak{a}_m \, \omega_{v3.mn} - \mathfrak{d}_n \, \omega_{v2.mn}) \tag{1.23}$$

$$e_{rms} = \frac{\partial}{\partial x_1} = \frac{\partial}{\partial x_2}$$
 (1.24)

$$v_1 \beta_n e_{vmn} = w_{v1mn} - \frac{v_{2mn}}{\partial x_1}$$
 (1.25)

$$e_{vmn} = \frac{\partial v}{\partial x_1} + v_{2mn} + \beta_n v_{3mn}, \quad \omega_{v1mn} = \beta_n v_{2mn} - a_m v_{3mn}$$
 (1.26)

$$m_{\text{plans}} = -\frac{\partial v_{\text{plans}}}{\partial x_{\text{l}}} + a_{\text{nl}} v_{\text{lans}} \qquad (1.27)$$

Соотношения (1.7), (1.11) и (1.3) дают

$$u_{ims} = v_{ims} + \gamma_1 \int_1^t \frac{\partial \gamma_{ms}}{\partial x_i} dz + \frac{\partial P_{ms}}{\partial x_i}$$
 (1.28)

$$u_{3mn} = v_{3mn} - \gamma_1 \beta_n \qquad (1.30)$$

$$\theta_{mn} - k^2 \left(\frac{\theta_{mn}}{\theta_{mn}} - \epsilon_{mn} \theta_{mn} \right) = \Re_{mn} - \gamma_{n} \epsilon_{nmn} \cdot \theta_{mn} |_{t=0} = h_{mn} \quad (1.31)$$

где $\lambda_{mn}=a_m+\beta^2$. Учножая (1.24) и (1.25) соответственно на a_m и β_n и складыная, получны

$$r_1/m_0 \, e_{rmn} = \frac{\partial \Omega_{rmn}}{\partial x_1} \tag{1.32}$$

Подставляя Ω_{emn} на (1.23) в (1.32), найдем

$$e_{cmn} = c_{cmn}(t) \exp(-\lambda_{cmn} x_1) + c_{cmn}(t) \exp(\lambda_{cmn} x_1)$$
 (1.33)

$$Q_{cmn} = x_1 \lambda_{mn} \left[-c_{imn}(t) \exp(-\lambda_{mn} x_1) + c_{imn}(t) \exp(\lambda_{mn} x_1) \right]$$
 (1.34)

где ($l=1,\ 2$) (и далее для $l=3,\ 4,\ 5,6$) — неизвестные функции времени. Выражая $\Omega_{\text{т.п.в.}}$ через перемещения с помощью (1.27), волучим

$$c_{rmn} = \frac{\partial v_{lmn}}{\partial x_t} + R_{mn}, \qquad \mathcal{L}_{smn} = \lambda_{mn}^2 v_{lmn} + \frac{\partial R_{mn}}{\partial x_t}. \tag{1.35}$$

The $R_{mn} = a_m + \beta_n v_{3mn}$. Hostomy

Откуда с учетом (1.33), (1.34) находим

$$R_{mn} = \lambda_{mn} x_2 x_1 \left[c_{1mn}(t) \exp(-t_{mn} x_1) - c_{2mn}(t) \exp(\lambda_{mn} x_1) \right] + \\ + c_{2mn}(t) \exp(-t_{mn} x_1) + c_{4mn}(t) \exp(t_{mn} x_1), \quad (2x_2 = 1 - x_1) \quad (1.36)$$

$$v_{1mn}(x_1, t) = (x_1 - x_3) c_{1mn}(t) \exp(-t_{mn} x_1) + (x_2 x_1 + x_1) c_{2mn}(t) \exp(-t_{mn} x_1) + \frac{1}{c_{mn}} c_{3mn}(t) \exp(-t_{mn} x_1) - \frac{1}{c_{mn}} c_{4mn}(t) \exp(t_{mn} x_1), \quad (2x_{mn} x_3 = 1 + x_1)$$

$$(1.37)$$

Умножая (1.24) и (1.25) соответственно на # и α_m п почленно вычитая, найдем

$$= \frac{1}{m_a} \left(a_m \frac{\partial \omega_{c2ma}}{\partial x_1} + 3 \frac{\partial \omega_{c3mn}}{\partial x_2} \right) \tag{1.38}$$

Подставляя (1.27) в (1.38), получим

$$\frac{\partial^3 \omega_{v:1mn}}{\omega_{mn}} = r_{mn}^2 \, \omega_{v:1mn} = 0$$

$$\omega_{v1mn} = c_{smn}(t) \exp(-\lambda_{mn} x_1) + c_{6mn}(t) \exp(\lambda_{mn} x_1)$$
 (1.39)

Так как

$$v_{2mn}+$$
 8 $v_{3mn}=R_{mn}$ in $eta_n\,v_{2mn}-a_n\,v_{3mn}=0$

то используя (1.36) и (1.39), найдем

$$i \frac{1}{mn} v_{2mn} = a_m \lambda_{mn} x_2 x_1 \left[c_{mn}(t) \exp(-\lambda_{mn} x_1) - c_{2mn}(t) \exp(i \epsilon_{mn} x_1) \right] + \\
+ a_m \left[c_{3mn}(t) \exp(-\lambda_{mn} x_1) + c_{4mn}(t) \exp(i \epsilon_{mn} x_1) \right] + \\
+ \beta_n \left[c_{5mn}(t) \exp(-\lambda_{mn} x_1) + c_{6mn}(t) \exp(i \epsilon_{mn} x_1) \right]$$
(1.40)

$$v_{3mn} = \beta_n - x_2 x_1 \left[c_{1mn}(t) \exp(-\lambda_{mn} x_1) - c_{2mn}(t) \exp(\lambda_{mn} x_2) \right] +$$

$$- \beta_n \left[c_{3mn}(t) \exp(-\lambda_{mn} x_1) + c_{4mn}(t) \exp(\lambda_{mn} x_1) \right] -$$

$$- \alpha_m \left[c_{5mn}(t) \exp(-\lambda_{mn} x_1) + c_{6mn}(t) \exp(-\lambda_{mn} x_1) \right]$$
(1.41)

Далее при условиях (1.19), (1.20) мы рассмотрим три вида граничных условий на гранях *AD* и *BC*.

Задача 1а. Граничные условия имеют вид (1.19), (1.20) и

$$u_{1|x_{1}=0} = \tilde{a}_{1}, \quad \sigma_{12|x_{1}=0} = S_{1}, \quad \sigma_{13|x_{1}=0} = T_{1}, \quad \frac{\partial \theta}{\partial x_{1}|x_{1}=0} = q_{1} \quad (1.42)$$

$$u_1|_{x_1=a}=\delta_2, \qquad \sigma_{12}|_{x_1=a}=S_2, \qquad \sigma_{13}|_{x_1=a}=T_2, \qquad \frac{ds}{dx_1}|_{x_2=a}=q_2 \quad (1.43)$$

де правые части в (1.42), (1.43) являются заданными функциями от x_1, x_2, t . Для каждых m, n с учетом (1.22) вместо (1.42), (1.43) получим

$$u_{1mn}|_{t=0} = \delta_{2mn}(t)$$
 (1.44)

$$\mu \left(\frac{\partial u_{2mn}}{\partial x_1} - u_{1mn} \right) \Big|_{x_1 = 0} = S_{1mn}(t)$$

$$\mu \left(\frac{\partial u_{3mn}}{\partial x_1} - u_{1mn} \right) \Big|_{x_1 = 0} = T_{1mn}(t)$$

$$(1.45)$$

$$\frac{1}{p} \left(\frac{\partial u_{2mn}}{\partial x_1} - x_{-n} \right) \Big|_{x_1 = a} = S_{2mn}(t)$$

$$\frac{1}{p} \left(\frac{\partial u_{3mn}}{\partial x_1} - x_{-n} \right) \Big|_{x_1 = a} = T_{2mn}(t)$$

$$\frac{\partial \theta_{mn}}{\partial x_1}\bigg|_{x_1=0} = q_1 \qquad (t), \qquad \frac{\partial \theta_{mn}}{\partial x_1}\bigg|_{x_1=a} = q_{2mn}(t) \qquad (1.47)$$

Непосредственным подсчетом на основе (1.29), (1.30) найдем

$$\beta_n u_{2mn} - a_m u_{3mn} = \beta_n v_{2mn} - a_{mn} = \omega_{v1mn}$$
 (1.48)

Откуда с учетом (1.44) — (1.46) получим

$$\mu \frac{\partial \omega_{vlmn}}{\partial x_1} \Big|_{x_1=0} = \theta_n S_{1mn} - a_m T_1$$

$$\mu \frac{\partial \omega_{vlmn}}{\partial x_1} \Big|_{x_1=0} = \theta_n S_{2mn} - a_m T_{2mn}$$

$$(1.49)$$

Подставляя (1.39) в (1.49), найдем $c_{5mn}(t)$ и $c_{6mn}(t)$. Непосредственным подсчетом на основе (1.28) — (1.30) и (1.35) найдем

$$u_{1mn} + \frac{\partial}{\partial x_1} \left(-\frac{1}{2} + \frac{\partial}{\partial x_1} + \frac{\partial}{\partial x_2} + \frac{\partial}{\partial x_2} + \frac{\partial}{\partial x_3} + \frac{\partial}{\partial x_4} + \frac{\partial}{\partial$$

Откуда, используя (1.44) — (1.46), получим

$$\mu \Omega_{cmn} |_{x_1=0} = \epsilon_m S_{1mn} + \epsilon_n T_{1mn} + 2\mu r_{mn} \sigma_{1mn}$$
 (1.50)

$$p \Omega_{smn} = a_m S_{2mn} + \beta_n T_{2mn} - 2u h_{ms}$$
 (1.51)

Подставляя (1.34) в (1.50), (1.51), найдем $c_{1mn}(t)$ н $c_{2mn}(t)$. Далее условия (1.44) с учетом (1.28) и (1.47) дают

$$\left| v_{1mn} + \gamma_1 \right|_{0}^{\tau} q_{1mn}(z) dz + \frac{1}{2\pi i} \right|_{|z_1 = 0}^{\tau} = z_{1mn}(t)$$
 (1.52)

$$\left| v_{1mn} - v_{1} \right|_{x_{1}=a}^{t} = v_{2mn}(t)$$
 (1.53)

Подставляя (1.37) в (1.52), (1.53) и учитывая, что $c_{1mn}(t)$ и $c_{2mn}(t)$ уже известиы, найдем $c_{1mn}(t)$ и . Введем новую искомую функцию $\theta_{mn}(x_1, t)$ с помощью соотношения

$$\theta_{mn}(x_1, t) = \theta_{mn}(x_1, t) \exp(-k\theta_{mn}^{-1} t) + q_{1mn}(t) x_1 + \frac{x_1^2}{2n} [q_{2mn}(t) - q_{1mn}(t)]$$
(1.54)

Подставляя (1.54) в (1.31) и (1.47), получим

$$0_{mn} = k^{n} \frac{dx_{n}^{2}}{dx_{n}^{2}} + M_{mn} - \eta x \exp\left(k^{2} i_{mn}^{2} t\right) e_{nm}$$
 (1.55)

$$\frac{\partial \tilde{\theta}_{mn}}{\partial x}\bigg|_{x_1=0} = 0, \qquad \frac{\partial \tilde{\theta}_{mn}}{\partial x_1}\bigg|_{x_1=0} = 0, \qquad \tilde{\theta}_{mn} \qquad = \tilde{\theta}_{mn}^0 \qquad (1.56)$$

где t_0 , t_0 известны, e_{vmn} нами найдена. Решение задачи (1.55), (1.56) известно [8]. Далее $u_{imn}(x_1, t)$ (i = 1, 2, 3) найдем по (1.28)— (1.30) с учетом (1.37), (1.40), (1.41), Задача решена.

Задача 16. Граначные условия имеют вад (1.19), (1.20) и

$$u_2|_{x_1\to 0}=g_1, \qquad u_3|_{x_1=0}=h_1, \qquad \sigma_{11}|_{x_1\to 0}=p_1, \qquad \theta|_{x_1\to 0}=\theta_1 \quad (1.57)$$

$$u_2|_{x_1=a}=g_2, \qquad u_1|_{x_1=a}=p_2, \qquad \theta|_{x_1=a}=\theta_2 \quad (1.58)$$

правые части в (1.57), (1.58) являются заданными функциями от $x_{a_1} = t$. Для каждых m, n с учетом (1.21) получим

$$u_{2mn}|_{z_1=0} = u_{2mn}|_{z_1=0} = h_{1mn}(t)$$
 (1.59)

$$|u_{2mn}|_{t,mn} = g_{2mn}(t), \quad |u_{2mn}|_{t,mn} = h_{2mn}(t)$$
 (1.60)

$$(\lambda_1 + 2\mu) e_{vmn}|_{x_1=0} = p_{tmn}(t) + 2\mu \left[2m e_{tmn}(t) + \beta_n h_{1mn}(t) \right] + G_{mn}|_{x_1=0} (1.61)$$

$$(\lambda_1 + 2\mu) e_{vmn} = 1 + 2\mu \left[\alpha_m g_{2mn}(t) + \beta_n \right] + (t) + G_{mn} \left[\epsilon_{s-a}(1.62) \right]$$

$$\theta_{mn}|_{r_{mn}} = \theta_{1mn}(t), \qquad \theta_{mn}|_{r_{mn}} = \theta_{2mn}(t) \tag{1.63}$$

Подставляя (1.33) в (1.61), (1.62), найдем $c_{1mn}(t)$ и $c_{2mn}(t)$. Далее из (1.48), (1.59), (1.60) получим

$$|_{\ell_1=0} = \beta_n g_{1mn}(\ell) - \alpha h_{1mn}(\ell)$$
 (1.64)

$$w_{v1mn}|_{x_1=a} = \beta_n g_{2mn}(t) - a_n h_{2mn}(t)$$
 (1.65)

Подставляя (1.39) в (1.64), (1.65), найдем $c_{mn}(t)$, $c_{6mn}(t)$. Далее на основе (1.29), (1.30) найдем

$$a_m u_{2mn} + F_m u_{3mn} = R_{mn} - c_{mn} \left(\sum_{i=1}^{n} a_{mn} d_i + F_{mn} \right)$$

Поэтому с учетом (1.59), (1.60), (1.63) получим

$$R_{mn}|_{t_{mn}} = \lambda_{mn}^{2} \left(\sum_{mn} \left[\epsilon_{nmn} + \tau_{1} \int_{0}^{\infty} \theta_{nmn}(\tau) d\tau \right] + \alpha_{mn} g_{1mn}(t) + \beta_{n} h_{1mn}(t) \right)$$
(1.66)

$$R_{mn}|_{x_1=a} = \lambda_{mn} \left(F_{mn}|_{x_1=a} + \gamma_1 \int_{a}^{t} \theta_{2mn}(\tau) d\tau \right) + \alpha_m g_{2mn}(t) + \beta_n h_{2mn}(t)$$
(1.67)

Подставляя (1.36) в (1.66), (1.67) и учитывая, что $c_{ima}(t)$ и $c_{2ma}(t)$ уже навестны, навдем $c_{3ma}(t)$ и $c_{4ma}(t)$. Введем новую искомую функцию $\theta_{ma}(x_1, t)$ с помощью соотношения

$$\theta_{mn}(x_1, t) = \theta_{mn}(x_1, t) \exp(-k^1 h_{mn} t) + \theta_{1mn}(t) + \frac{x_1}{a} \{\theta_{2mn}(t) - \theta_{1mn}(t)\}$$
(1.68)

Подставляя (1.68) в (1.31) и (1.63), получим

$$\hat{\theta}_{mn} = k^2 \frac{\partial^2 \theta_{mn}}{\partial x^2} + \mathcal{M}_{mn} - \eta x \exp(k^2 k_{mn}^2 t) e_{vmn}$$
 (1.69)

$$\theta_{mn}|_{x_1=0}=0, \qquad \theta_{mn}|_{x_1=0}=0, \qquad \theta_{mn}|_{x_1=0}=0.$$
 (1.70)

где M_{mn} , θ_{mn}^0 известны, $e_{\nu mn}$ намя найдена. Решение задачи (1.69), (1.70) известно [8]. Далее u_{in} , (x_i, t) (i = 1, 2, 3) найдем по (1.28)— (1.30) с учетом (1.37), (1.40), (1.41).

Задача Ic. Граничные условия имеют вид (1.19), (1.20), (1.42). (1.58). Тогда для каждых m, n получим как и ранее первое из соотношений (1.49), (1.50), (1.52) и затем (1.62), (1.55), (1.67). Подставляя (1.39) в первое из соотношений (1.49) и в (1.65), найдем $c_{sms}(t)$, $c_{sms}(t)$, Затем, подставляя (1.34) в (1.50) и (1.33) в (1.62), найдем $c_{lmn}(t)$, $c_{sms}(t)$. Далее, подставляя (1.37) в (1.52) и (1.36) и (1.67) и учитывая, что $c_{lmn}(t)$ и $c_{lmn}(t)$ уже известим, найдем $c_{lmn}(t)$ и $c_{lmn}(t)$. Граничные условия для $\theta_{lmn}(t)$

$$\frac{\partial \theta_{mn}}{\partial x_1}\Big|_{x_1=0} = q_{1mn}(t), \qquad \theta_{mn}\Big|_{x_1=0} = \theta_{2mn}(t) \tag{1.71}$$

Введем новую искомую функцию $\theta_{mn}(x_1, t)$ с помощью соотношения $\theta_{mn}(x_1, t) = \theta_{mn}(x_1, t) \exp(-k^2)_{mn}^2(t) + \theta_{2mn}(t) - (x_1 - a)q_{1mn}(t)$ (1.72)

Подставляя (1.72) в (1.31) и (1.71), получим

$$\theta_{mn} = k^2 \frac{\partial^2 \theta_{mn}}{\partial x^2} + M_{mn} - \eta \epsilon \exp\left(k^2 i \frac{2}{mn} \ell\right) e_{mn} \qquad (1.73)$$

$$\frac{\partial \theta_{mn}}{\partial x_n}\Big|_{x_1=0} = 0, \qquad \overline{\theta}_{mn}\Big|_{x_1=\alpha} = 0, \qquad \theta_{mn}\Big|_{x_2=0} = \overline{\theta}_{mn} \qquad (1.74)$$

где M_{mn} , θ_{mn}^0 известны, e_{vmn} нами найдена. Решение задачи (1.73), (1.74) известно [8]. Далее $u_{tmn}(x_1, t)$ (t=1, 2, 3) найдем по (1.28)— (1.30) с учетом (1.37), (1.40), (1.41).

Задача 2. На гранях АД и ВС заданы граничные условия вида

$$u_1|_{x_1=0}=0, \quad z_{12}|_{x_1=0}=0, \quad z_{13}|_{x_1=0}=0, \quad \frac{\partial 0}{\partial x_1}|_{x_1=0}=0 \quad (1.75)$$

$$u_1|_{x_1=a}=0, \quad \sigma_{11}|_{x_1=a}=0, \quad \sigma_{13}|_{x_1=a}=0, \quad \frac{\partial \theta}{\partial x_1}|_{x_2=a}=0 \quad (1.76)$$

Учитыная наше предположение о характере внешних воздействий, искомые функции разложим в ряды Фурье вида

$$u_{1} = \sum_{m, n=0} u_{1mn}^{(2)}(x_{2}, t) \sin \gamma_{m} x_{1} \cos \beta_{n} x_{1}$$

$$u_{1} = \sum_{m, n=0} u_{2mn}^{(2)}(x_{2}, t) \cos \gamma_{m} x_{1} \cos x_{2}$$

$$u_{2} = \sum_{m, n=0} u_{3mn}^{(2)}(x_{2}, t) \cos \gamma_{m} x_{1} \sin \beta_{n} x_{2}$$

$$u_{3mn} = \sum_{m, n=0} (x_{2}, t) \cos x_{1} \cos \beta_{n} x_{3}$$

где $\frac{\pi m}{a}$; $\beta_n = \frac{\pi a}{c}$. Аналогичные разложения для известных функций легко выписать. Условия (1.75), (1.76) удовлетворены. Так же, как и в первой задаче, точные решения можно получить в следующих случаях.

Задача 2а. Граничные условия имеют вид (1.75), (1.76) и

$$u_2|_{x_1=0} = I_3$$
 $a_{12}|_{x_1=0} = S_3$ $a_{23}|_{x_1=0} = I_3$ $\frac{\partial \theta}{\partial x_2}|_{x_2=0} = q_3$ (1.77)

$$u_2|_{x_t \to b} = \delta_4, \quad \sigma_{13}|_{x_t \to b} = S_4, \quad \sigma_{23}|_{x_t \to b} = T_4, \quad \frac{\partial \theta}{\partial x_t}|_{x_t \to b} = q_4 \quad (1.78)$$

Задача 26 Граничные условия имеют вид (1.75), (1.76) и

$$u_1|_{x_1=0}=g_3, \quad u_1|_{x_2=0}=h_1 \quad \sigma_{22}|_{x_2=0}=\rho_3, \quad \vartheta|_{x_2=0}=\theta_3 \quad (1.79)$$

$$|u_1|_{x_0=0} = x_4, \quad |u_3|_{x_1=0} = h_4, \quad |x_0|_{x_0=0} = h_4, \quad |\theta|_{x_0=0} = \theta_4 \quad (1.80)$$

Правые части в (1.77) — (1.80) являются заданными функциями от x_0, x_0, t .

Задача 2c. Граничные условия имеют вид (1.75), (1.76) и (1.78), (1.79). Задачи 2a, 2b, 2c решаются так же, как задачи 1a, 1b, 1c.

Задача 3. На гранях АВ и СД заданы граничные условия

$$u_1|_{x_1=0}=0, \quad u_3|_{x_2=0}=0, \quad \sigma_{22}|_{x_2=0}=0, \quad \theta|_{x_3=0}=0 \quad (1.81)$$

$$u_1|_{x_0=b} = 0, \qquad u_1|_{x_0=b} = 0, \qquad \sigma_{22}|_{x_0=b} = 0, \qquad f|_{x_0=b} = 0$$
 (1.82)

С учетом нашего предположения о характере внешних воздействий искомые функции разложим в ряды Фурье вида

$$u_{1} = \sum_{m, n=0} u_{1mn}^{(3)}(x_{1}, t) \sin z = \cos \beta_{n} x_{2}$$

$$= \sum_{m, n=0} u_{1mn}^{(3)}(x_{1}, t) \cos z = x_{2} \cos \beta_{n} x_{3}$$

$$u_{3} = \sum_{m, n=0} u_{3mn}^{(3)}(x_{1}, t) \sin z_{m} x_{2} \sin \beta_{n} x_{3}$$

$$\theta = \sum_{m, n=0} u_{3mn}^{(3)}(x_{1}, t) \sin z = x_{2} \cos \beta_{n} x_{3}$$

где $a_m = \frac{m}{b}$. $\theta_n = \frac{m}{c}$. Условия (1.81), (1.82) удовлетворены. Точные решения можно получить в следующих случаях

Задача За. Граничные условия имеют вид (1.81), (1.82), (1.42), (1.43).

Задача 3b Граничные условия имеют вид (1.81), (1.82), (1.57), (1.58).

Задача Зс. Граничные условия имеют вид (1.81), (1.82), (1.42), (1.58).

Задача 4. На гранях AD и BC заданы граничные условия вида

$$u_2|_{x_1=0}=0, \qquad u_3|_{x_1=a}=0, \qquad =0 \qquad 0|_{x_2=0}=0 \qquad (1.83)$$

$$u_{s}|_{x_{1}=a}=0, \qquad u_{1}|_{x_{1}=a}=0, \qquad u_{|x_{1}=a}=0$$
 (1.84)

Искомые функции разложим в ряды Фурье вида

$$u_1 = \sum_{m,n=0}^{\infty} u_{1mn}^{(4)}(x_2, t) \cos \gamma_m x_1 \cos \beta_n x_3$$

$$\Pi_1 = \sum_{n=1}^{\infty} R_{2mn}^{\{4\}} \left(X_2, \dots \right) \sin \left(-\frac{1}{2} X_1 + \frac{1}{2} X_2 + \frac{1}{2} X_1 + \frac{1}{2} X_2 + \frac{1}{$$

$$u_3 = \sum_{m_1, m_2 = 2} u_{3mn}^{(4)}(x_2, t) \sin \gamma_m x_1 \sin \beta_n x_1$$

$$0 = \sum_{m_1, m_2 = 2} \theta_{mn}^{(4)}(x_2, t) \sin \gamma_m x_1 \cos \beta_n x_1$$

тде $\frac{d}{d} = \frac{d}{d} \cdot \frac{d}{d} \cdot$

Задача 4а. Граничные условия имеют вил (1.83), (1.84), (1.77), (1.78).

Задача 46. Граничные условия имеют вид (1.83), (1.84), (1.79). (1.80).

Задача 4с. Граничные условия имеют вид (1.83), (1.84), (1.78), (1.79).

Задача 5. На гранях AD и BC заданы граничные условия вида (1.75), (1.84). Искомые функции разложим и ряды Фурье вида

$$u_{1} = \sum_{m, n=0}^{\infty} u_{2mn}^{(5)}(x_{2}, t) \sin \zeta_{m} x_{1} \cos \beta_{n} x_{3}$$

$$u_{1} = \sum_{m, n=0}^{\infty} u_{2mn}^{(5)}(x_{2}, t) \cos \zeta_{m} x_{1} \cos \beta_{n} x_{3}$$

$$u_{2mn}^{(5)}(x_{2}, t) \cos \zeta_{m} x_{1} \cos \beta_{n} x_{3}$$

$$u_{1} = \sum_{m, n=0}^{\infty} b_{mn}^{(5)}(x_{2}, t) \cos \zeta_{m} x_{1} \cos \beta_{n} x_{3}$$

где $\frac{2m+1}{2a}$. В $\frac{2n}{c}$. Аналогичные разложения для известных функций легко выписать, используя спотношения

$$\int \sin \zeta_m x \sin x \, dx = \int \cos \zeta_m x \cos \zeta_k x \, dx = \begin{cases} 0 & \text{при } m = k \\ a & \text{при } m = k \end{cases}$$
 (1.85)

Граничные условия (1.75), (1.84) удоплетворены. Точные решения можпо получить в следующих случаях.

Задача 5а. Граничные условия имеют вид (1.75), (1.84), (1.77), (1.78).

Задача 56. Граничные условия имеют вид (1.75), (1.84), (1.79), (1.80).

Задача 5c. Граничные условия имеют вид (1.75), (1.84), (1.78), (1.79).

Задача 6. На гранях AB и CD заданы граничные условия (1.81), (1.20). Искомые функции разложим в ряды Фурье вида

$$u_{1} = \sum_{m, n=0}^{\infty} u_{1}(x_{1}, t) \sin x_{1} \cos \beta_{n} x_{2}$$

$$u_{2} = \sum_{m, n=0}^{\infty} u_{3mn}^{(b)}(x_{1}, t) \sin \zeta_{m} x_{2} \sin \beta_{n} x_{3}$$

$$u_{3} = \sum_{m, n=0}^{\infty} u_{3mn}^{(b)}(x_{1}, t) \sin \zeta_{m} x_{2} \sin \beta_{n} x_{3}$$

$$u_{4} = \sum_{m, n=0}^{\infty} u_{3mn}^{(b)}(x_{1}, t) \sin \zeta_{m} x_{2} \cos \beta_{n} x_{3}$$

где $\zeta_m = \frac{(2m+1) - 1}{2b}$. $\theta_n = \frac{-m}{c}$. Используя соотношения, аналогичные (1.85), легко выписать соотнетствующие разложения и для известных функций. Точные решения можно получить в следующих случаях.

Задача ба. Граничные условия имеют вид (1.81), (1.20), (1.42),

(1.43).

Зидача бр. Граничные условия имеют вид (1.81), (1.20), (1.57), (1.58).

Задача бс. Граничные условия имеют вид (1.81), (1.20), (1.42), (1.58).

Далее, если заданы пормальные смещения, касательные усилия и тепловой поток, то такие граничные условия будем называть граничными условиями первого вида. Если же заданы касательные смещения, нормальные усилия и температура, то такие граничные условия будем называть граничными условиями яторого вида. В настоящей работе получены решения для следующих качественно различных видои граничных условий.

- 1. На всех гранях брусв заданы граничные условия первого вида. Решение такой задачи получим, суммируя решения задач 1а и 2а (причем в одной из этих задач следует изять нулевые X_i и Q).
- 2. На всех гранях бруса заданы гранциные условия второго вида. Решение такой задачи получим как сумму решений задач 3b и 4b.
- 3. На одной грани, например, AD заданы граничные условия первого вида, а на трех остальных второго вида. Решение получим, суммируя решения задач 3с и 5b.
- На одной грани, например, ВС, задяны граничные условия второго вида, а на трех остальных — первого вида. Решение получим как кумму решений задач 1c и 5a.
- На двух противоложных гранях, например, AB и CD заданы граничные условия первого вида, а на двух других второго вида.
 Едесь надо взять сумму решений задач 1b и 4a.
- На двух соседних граних, например, AD и DC, заданы граничные условия первого вида, а на двух других — второго вида. Надо взять сумму решений задач 5с и 6с.

Автор благодарен профессору механико математического факультета МГУ Б. Е. Победре за внимание к работе.

Казанский филиал Москонского энергетического института

Поступила 7 V 1980

Ա. Վ. ԲԵՐԴԱԿՉԻԵՎ

ՈՒՂՂԱՆԿՅՈՒՆԱՋԵՎ ԿՏՐՎԱԾՔՈՎ ՀԵԾԱՆԻ ՀԱԾԱՐ ՋԵՐՄԱԱՌԱՋԳԱՍՇՈՒԹՅԱՆ ԿԱՊԱԿՑՎԱՄ ԵՌԱՉԱՓ ԵՆԴԻՐՆԵՐ

Ամփոփում

Մի քանի եղրային պայմանների դնպրում տրվում նն ուղղ<mark>անկյունաձն</mark> կարվածրով հիծանի Համար կապակցված ջերմաառաձգականու<mark>թյան քվա-</mark> դիստատիկ խնդիրները լուծումները։

THREE-DIMENSIONAL PROBLEMS OF BOUND THERMOELASTICITY FOR A BEAM OF RECTANGULAR CROSSECTION

A. V. BERDAKCHIYEV

Summary

For the case of certain boundary conditions the solutions for quasistatic problems of thermoelasticity for a beam of rectangular crossection are given.

ЛИТЕРАТУРА

- Нобедря Б. Е. О связанных задачах механики сплошной среды. В сб.: «Упругоси
 и неупругость», вып. 2. М. нэд-во МГУ, 1971, с. 224—253.
- Носицкий В. Обзор работ по динамическим проблемам термоупругости. Сб. перед водоц - Механика», 1966, № 6, с. 101—142.
- Шачнев В. А. О новых результатах в теории сопряженной гермоупругости. Приложение к книге 161, с. 237—250.
- 4. Коляно Ю. М. Обобщения пермомеханика. В сб.: «Математические методы и физико-механические поля», вып. 2. Киев. Наукова думка», 1975, с. 42-47.
- 5. Новацкий В. Теория упругости. М., «Мир», 1975, 872 с.
- 6. Новицкий В. Дыпамические задачи термоупругости. М., «Мир», 1970, 256 с.
- Гродский Г. Д. Интегрирование общих уравнений равмонесия изотролного упругото тела при помодан ньютоновых потенциалов и гармонических функций. Иза. АН СССР отд. мат. в остести. н., 1935, № 1, с. 587—614.
- Биния В. М. и ор. Линейные уравнения математической физики. СМБ. Под рединцией С. Г. Михлина М., «Наука», 1964, 368 с.

Մեխանիկա

XXXIV, A2 4, 1981

Мехапика

А. Д. ЛИЗАРЕВ

О РЕШЕНИЯХ ЗАДАЧ ТЕОРИИ КОЛЕБАНИЙ И УСТОРЧИВОСТИ ТОКОНЕСУЩЕЙ ПЛАСТИНЫ

Задача теории устойчивости токонесущей пластины-полосы шириной a (0 = x = a, $= \infty < y < \infty$), помещенной в поперечное маглитное поле, в случае, если деформации не зависят от координаты усводится к уравнению [1, 2]

$$\frac{d^4w}{dx^4} + \frac{2h}{cD}J_0H_0\frac{d}{dx}\left(x\frac{dw}{dx}\right) = 0 \qquad (1.1)$$

где 2h постоянная толщина пластины, D — цилиндрическая жесткость, I_* — плотность равномерно распределенного тока, H_* — вектор напряженности внешнего магнитного поля, перпеидикулярный срединной плоскости пластины, c — электродинамическая постоянная. Действующая на пластину постоянная объемная сила I_*H_0/c приводит к возникновению неоднородного поля нормальных напряжений $a = I_*H_0 \times ic$.

Переходя к безразмерным координатам $\mathfrak{c}=x/a$, умножая все члены уравнения (1.1) на \mathfrak{c}^1 и полагая \mathfrak{c}^2 \mathfrak{c}^2 перенишем (1.1) в виде

$$\mathbb{E}[w^{1V} + 2k\xi^5w'' + 2k\mathbb{E}[w] = 0 \tag{1.2}$$

Уравиение (1.2) принадлежит классу дифференциальных уравие ний с переменными коэффициентами

$$\sum_{i=0}^{n+1} z^i (a_i - b_i z^i - c_i z^{m\delta}) \frac{d^i w}{dz^i} = 0$$
 (1.3)

рассмотренному в [3—5]. Здесь a, b, c, b действительные числа, c = 0, 1, ..., q + 1; m = 2 нелое число. К уравнениям класса (1.3) сволятся многие задачи геории колебаний и устойчивости неоднородных механических систем, свойства которых описываются непрерывными функциями координат [3—5]. Будем относить к таким системам стержии, пластины и оболочки, физически и геометрически неоднородные или же с начальными неоднородными полями напряжений. Физическая неоднородность вызывается переменными физико-механическими свойствами материала — модулем упругости, коэффициентом Пуассона и плотностью. Геометрически неоднородными системами будем на

зывать стержии переменного поперечного сечения, пластины и оболочки переменной толщины. Начальная неоднородность напряжений может быть обусловлена, например, различной интенсивностью распределенных сил, приложенных по краям пластины, центробежными силами, влиянием собственного веса, температурными и электромагнитными полями. Возможно паличне нескольких неоднородностей и одном объекте, например, вертикально поставленный изотропный стержень переменного сечения неоднороден геометрически, а напряжения в таком стержие от собственного веса зависят от осевой координаты.

У различных объектов (стержень, иластина, оболочка) при различном характере неоднородности (физическая, геометрическая или же начальное неоднородное поле напряжений) формы колебаний и потери устойчивости описываются уравнениями класса (1.3), которые в разных задачах отличаются только постоянными коэффициентами u_i , b_i , c_i и показателем δ . Так, к уравнениям класса (1.3) приводятся задачи об устойчивости стержия переменного сечения с учетом собственного веса [6], об устойчивости кольневой пластины при исоднородном поле напряжений [7], о колебаниях кольневой пластины переменной толщины [8] и многие другие. Полная математическая апалогия обнаруживается между задачами об устойчивости призматического стержия при деиствии собственного веса [9] и об устойчивости токонесущей пластины. Обе эти задачи сводятся к уравнению вида (1.2)

Построение решений уравнений класса (1.3) для случая, когда все = 0, рассмотрено в [4]. Введем параметры

$$\alpha_{ij} = \frac{x_i - u_i}{\delta} + \beta_{ij} = \frac{x_i - x_j}{\delta} + 1$$
 (1.4)

где $i \neq j, \; x$ и u_i - к рии определяющих уравнений параметров знаменателя и числителя

$$a_0 + \sum_{i=1}^{q+1} a_i \prod_{j=1}^{l} (x - j + 1) = 0$$
 (1.5)

$$b_0 + \sum_{i=1}^{n} b_i \left[\left[(u - j + 1) = 0 \right] \right]$$
 (1.6)

Если среди корней уравнения (1.5) отсутствуют кратные корни, а также корви, разность которых равна числу, кратному 6, то при любом целом или пробиом 6 > 0 фундаментальную систему решений уравнения (1.3) можно представить в виде суммы произведений степенных и обобщенных гипергеометрических функций

$$\mathbf{x}_{i} = \mathbf{x}_{i1}, \dots, \mathbf{x}_{ip}; \ \beta_{i1}, \ \beta_{i2}, \dots, \qquad \forall i$$
 (1.7)

причем аргумент 💡 определяется формулой

$$\phi = \frac{b_{\rho}}{a_{q+1}} \frac{1}{2^{q-\rho+1}}$$

тде b.— коэффициент со старшим нидексом р среди отличных от нуля коэффициентов b, в уравнении (1.3).

При одном или нескольких значениях $\mathbf{3}_{11}=\mathbf{0}, -1, -2, ...$ уравнение (1.3) имеет соответствующее число частных решений, содержащих $\ln z$ в первой и более высоких степенях.

Уравиение (1.2) принадлежит классу (1.3), причем $p=2,\ q=3$:

$$b_1 = b_1 - 2k;$$
 $c_1 = 0;$ $a_4 = 1;$ $b_0 = b_1 = b_4 = 0;$ $c_1 = 0;$ $c_2 = 0;$ $c_3 = 0;$

Определяющее уравнение параметров знаменателя (15) имеет корин $x_1 = 0$, $x_2 = 1$, $x_3 = 2$, $x_4 = 3$, определяющее уравнение параметров числителя (1.6) — корин $u_1 = u_2 = 0$. Разность корией $x_1 = x_4$ кратна $\xi = 3$, одиако частное решение w_1 может быть записано и фирме (1.7), так ими частное решение w_4 постоянная величина. Общее решение уравнения (1.2) имеет вид

$$w = C_1 + C_2 \mathcal{F}_2 - C_1 \mathcal{F}_3 + C_4 \mathcal{F}_4 \tag{1.8}$$

где C₁ — постоянные, зависящие от граничных условий,

$$F_{2} = {}_{1}F_{2}\left(\frac{1}{3}; \frac{2}{3}, \frac{4}{3}; \psi\right)$$

$$F_{3} = {}_{3}F_{2}\left(\frac{2}{3}; \frac{5}{3}, \frac{4}{3}; \psi\right)$$

$$F_{4} = {}_{2}F_{3}\left(1, 1; 2, \frac{4}{3}, \frac{5}{3}; \psi\right)$$

Пусть пластина жестко защемлена по краю $\epsilon = 1$, а край $\epsilon = 0$ свободен, что соответствует граничным условням

$$w''(0) = w''(0) = w(1) - w(1) = 0$$

Используя обычную процедуру приравнивания нулю определителя нетвертого порядка, составленного из коэффициентов при С., получим вравнение устойчивости

$$w_2(1) = 0$$
 (1.9)

Если пластина жестко защемлена по краю $\xi=1$, а край $\xi=0$ шаржирно оперт, то

$$w(0) = w'(0) = w(1) = w'(1) = 0$$

а уравнение устойчивости имеет вид

$$w_2(1) w_1(1) - w_2(1) w_1(1) = 0$$
 (1.10)

Наконец, если краи пластины $\bar{z}=0$ и $\bar{z}=1$ жестко защемлены, то

$$w(0) = w'(0) = w(1) = w'(1) = 0$$

81

Уравнение устойчивости принимает вид

$$w_3(1) w_4'(1) - w_3'(1) w_4(1) = 0 (1.11)$$

Функции ш, ш, ш, удовлетворяют зависимости

$$\frac{d}{dt} \left[\xi^{3}{}_{\rho} F_{Q} \left(\mu, \, x_{2}, \, \alpha_{3}, \, \dots, \, \alpha_{\rho}; \, \mu + 1, \, \beta_{2}, \, \beta_{3}, \, \dots, \, \beta_{n}, \, \alpha \xi^{(n)} \right) \right] =$$

$$= \beta \xi^{3}{}_{\rho-1} F_{\rho-1} \left(\alpha_{2}, \, \alpha_{3}, \, \dots, \, \alpha_{\rho}; \, \beta_{2}, \, \beta_{3}, \, \dots, \, \beta_{n}; \, \alpha \xi^{(n)} \right)$$

поэтому уравнения устойчивости (1.9)-(1.11) можно упростить, подставив в них выражения

$$w_{2}(1) = {}_{0}F_{1}\left(\frac{2}{3}; \psi\right)$$

$$w_{3}(1) = 2{}_{0}F_{1}\left(\frac{4}{3}; \psi\right)$$

$$w_{4}(1) = 3{}_{1}F_{2}\left(1; \frac{4}{3}, \frac{3}{3}; \psi\right), \qquad \psi = -\frac{2}{3}k$$

$$(1.12)$$

Используя зависимость (1.12), а также соотношение

$$I_{*}(z) = \frac{\left(\frac{z}{2}\right)^{*}}{\Gamma(*+1)} {}_{0}F_{1}\left(*+1; \frac{z^{2}}{4}\right)$$

где /.(z) — функция Бесселя, Г(v) — гамма-функция, можно показать, что уравнение (1.9) эквивалентно уравнению / (=) — 0, приведенному в [1, 2].

Решение с помощью ЭВМ уравнений (1.9) - (1.11) дало следующие значения критических параметров: $k_i = 3.9186, \ k_i = 26.2503, \ k_a = 37.3143.$ Отметим, что при решении уравнения, соответствующего (1.10), мето дом Бубнова – Галёркина, который, как известно, цает приближенные верхние оценки критических сил, в [2] получено первое приближение $t_i = 29.03$. Как указано в [10], результаты экспериментальных исследований позво, яют принять теоретические значения критических параметров за верхний предел при оценке устойчивости токонесущей пластины.

Построим еще аналитическое решение задачи о колеблинях токонесущей пластины, описываемых дифферепциальным уравнением [1, 11]

$$\frac{d^4w}{dx^4} = \frac{a}{D} \frac{d}{dx} \left[\left(1 - \frac{x^2}{a^2} \right) \frac{dw}{dx} \right] = 0 \tag{1.13}$$

где λ^4 — частотный параметр, $a=2aJ_0^2/c^2$.

Снова переходя к безразмерным координатам : = x/a и умножая все члены уравнения (1.13) на : получим

$$\xi^{\mu} w^{\mu\nu} - \mu (1 - \xi^{\mu}) \xi^{\mu} w^{\nu} + 2p \xi^{\mu} w^{\nu} - k^{2} \xi^{\mu} w = 0$$
 (1.14)

где $\mu = \alpha/a^2D$.

Уравнение (1.4) принадлежит классу (1.3), причем p=2, s=2, q=3; b=2, m=2; $a_0=a_1=a_2-a_3=0$, $a_4=1$; $b_0=b_1-b_2=b_4=0$; $b_2=p$; $c_0=\lambda^2$, $c_1=-2p$, $c_2=-1$, $c_3=c_4=0$.

Стандартная процедура построения решений уравнений (1.3) с отличными от нуля коэффициентами ст рассмотрена в [5]. Снова введем параметры α_{II} и β_{IJ} , определяемые формулами (1.4), а также параметр

$$\tau_{in} = (x_1 - v_n) \delta^{-1} \qquad (n = 1, 2, ..., s)$$
 (1.15)

где s — порядок старшей производной, при которой коэффициент c_t в уравнении (1.3) отличен от нуля, в u_n — кории определяющего уравнения

$$f_m(v) = c_0 + \sum_{i=1}^s c_i \prod_{j=1}^r (v - j + 1) = 0$$
 (1.16)

Если среди корией x_i уравнения (1.5) отсутствуют кратные кории, а также кории, разность которых равна числу, кратному δ_i то частные решения уравнения (1.3), в котором хотя бы одии из коэффициентов c_i отличен от нуля, представляют собой произведения степенных функций и p_i $_i M_g$ -функций:

$$w_i = z^{x_i}_{p,s} H_q \begin{pmatrix} \alpha_{i1}, & \alpha_{i2}, \dots, & \alpha_{ip}; \\ \gamma_{i1}, & \gamma_{i2}, \dots, & \gamma_{is}; & \psi \\ \beta_{i1}, & \beta_{i2}, \dots, & \beta_{iq}; \end{pmatrix}$$
 (1.17)

$$P_{p,4}H_q(\psi) = 1 + \sum_{k=1}^{\infty} D_k \frac{x^k}{k!}$$

$$= \frac{1}{a_{q+1}} \frac{z^k}{\delta^{q+1}}$$
(1.18)

Условия сходимости ряда (1.18) рассмотрены в [5]. Коэффициенты D_k и этом ряде при $k \ge 3$ можно представить и виде трехдиагональных определителей k-го порядка, которые вычисляются с помощью рефрентных зависимостей

$$D_k = D_{k-1} g_k + D_{k-m} h_k (1.19)$$

причем $D_0 = 1$, $D_1 = K_1$

$$g_k = b_p \delta^p \frac{\prod\limits_{i=1}^p (s_{ii} + k - 1)}{\prod\limits_{j=1}^{k+1} (\beta_{ij} + k - 1)}$$
, $h_k = c_k C_{km} \frac{\prod\limits_{i=1}^r (\gamma_{ik} + k - m)}{\prod\limits_{j=1}^{k+1} (\beta_{ij} + k - 1)}$

$$G_{n} = a_{q+1}^{m-1}(k-m-1)$$
, $(a)_{n} = a(z-1)(z-2) \cdot \cdot (z+1) - c$

Обобщенный гипергеометрический ряд является частным случаем ряда (1.18). Это следует из того, что если в уравнении (1.3) все коэффициенты $c_i = 0$, то в рекуррентных зависимостях (1.19) все $h_k = 0$, а определитель D_k равен тогда произведению элементов, стоящих на главной диагонали.

Определяющее уравнение (1.5) в рассматриваемой задаче имеет кории $x_1 = 0$, $x_2 = 1$, $x_2 = 2$, $x_4 = 3$, уравнение (1.6) — кории $u_1 = 0$, $u_2 = 1$, уравнение (1.16) — кории

$$\psi_{n,\pm} = \frac{1}{2} \left(-1 \pm \sqrt{1 + \frac{4\lambda^2}{\mu}} \right), \quad \mu \neq 0$$

Хотя разлости корией $x_1 - x_1 = x_1 - x$, кратим $\delta = 2$, одиако логарифмические решения не требуются, так как корни x_1 и x_2 удовлетворяют определяющему уравнению (1.6) и поэтому можно положить $D_{\epsilon}(x_1) = C_{\epsilon}$, $D_{\epsilon}(x_2) = C_{\epsilon}$, где C_{ϵ} — любые постоянные числа. С учетом этих равенети при k > 1 определяются все коэффициенты $D_{\epsilon}(x_1)$ и $D_{\epsilon}(x_2)$ в рядах (1.18), и тогда все частиме решения уравнения (1.14) имеют вид (1.17). Аналогичный случай при постросиии обобщенного степенного ряда рассмотрен в [12].

Таким образом, процедура построения аналитических решений уравнений класса (1.3) в общем случае сводится к решению определяющих уравнений (1.5), (1.6), (1.16), вычислению параметров 1. 3 год формулам (1.4), (1.15) и аргумента 4. При численной реализации аналитических решений с помощью ЭВМ для определения коэффициентов D, ряда (1.18) может быть использован, например, аппарат ценных дробей.

При удовлетворении граничным условиям решений, найденных по описанной процедуре, необходямо определять их производные до n-го порядка. Производные произведения $\frac{1}{2\pi i} = z^{x_i} p_i \, d I_g$ (3) имеют вид

$$\frac{d^n w_i}{dz} = z^{x_i - n} \sum_{n=1}^{\infty} (x_i + k\delta + 1 - n)_s D_s \frac{\psi^k}{k!}$$

где Д₂ те же коэффициенты, что и в ряде (1.18).

Числовые результаты, полученные при реализации предложенных аналитических решений в $\int_{\rho_{1}}^{\rho_{2}} d\rho_{3} d\rho_{4} = 0$ функциях, могут быть

использованы в качестве эталонных при оценке точности различных приближенных методов.

Институт механики металлополимерных систем АН БССР

Поступила 5 VI 1980

IL Գ. ԼԻԶԱՐԵՎ

ՀՈՍԱՆՔԱՏԱՐ ՍԱԼԻ ՏԱՏԱՆՈՒՄՆԵՐԻ ԵՎ ԿԱՅՈՒՆՈՒԹՅԱՆ ՏԵՍՈՒԹՅԱՆ ԽՆԿԻՐՆԵՐԻ ԼՈՒԾՈՒՄՆԵՐԻ ՄԱՍԻՆ

Haf de made na d

Ցույց է տրվում, որ Հոսանթատար սալի- չերտի տատանումների և կայու-Նուβյան տեսության խնդիրները բերվում են հախկինում ուսումնասիրված բաղմանդամային դործակիցներով դիֆերենցիալ ∴ավասարումներին։

Այդ Հավասարումների համար կառուցվել են հատուկ ֆունկցիաներ պարունակող Ճշգրիտ անալիտիկ լուծումներ։

Հոսանրատար սալի կալունության մասին խնդրի Համար տարբեր եզ-

ON SOLUTION FOR PROBLEMS IN THE VIBRATION AND STABILITY THEORY FOR CURRENT-CARRYING PLATES

A. D. LIZAREV

Summary

The problems in the vibration and stability theory are shown to be reduced to the previously described class of differential equations with polynomial coefficients. Exact analytical solutions for these equations are constructed in the form of peculiar functions. Numerical results are given for the problem of stability of the current-carrying plate under different boundary conditions.

JIHTEPATYPA

- Багдасарян Г. Е., Белубекян М. В. Колебания и устойчивость токонесущей пластинки в поперечном магинаном поле. Докл. АН Арм. ССР, 1973, т. 57, № 5, с. 276—281.
- 2. Амбарнумян С. А. Багдасарян Г. Е., Белубекян М. В. Матинтоупругость тонкях оболочек и пластии. М., Наука, 1977, 272 с.
- Лизарев А. Д., Кленов В. И. О решениях одного класса уравнений устойчности упругия систем. Тез. докл. У Всесоюзной конф. по проблемам устойчности а строительной механике. Л., 1977, с. 16—17.

- Лизарев А. Д., Клеков В. И. Об одном обобщении гипергеометрического уравиения. Дифференциальные уравнения, 1976, т. 12, № 12, с. 2170—2174.
- Ливирев А. Л. Кленов В. И. Аналитические решения одного класса уравнений с полниомиальными коэффициентами. Дифференциальные уравнения, 1978, т. 11, № 12, с. 2158—2163.
- Липарев Л. Д., Кленов В. И. Устойчивость стержней переменного сечения при действии собственного веса. Изв. вузов. Строительство и архитектура, 1978, № 6. с. 37—41.
- 7. Лизарев А. Д., Кузьмендов В. П. Об устойчивости занкого диска, посаженного на пал. Изи вузов. Машиностросние, 1979, № 11, с. 17—20
- Лизарев А. Д., Кузьменцов В. П. Свободиме колебания кольцевых пластии переменной тольнымы Проблемы прочности, 1980, № 4, с. 96—99.
- 9. Вольмир Л. С. Устойчиность деформируемых систем М., Наука, 1967, 984 с.
- Овакимян Р. И., Косакин Ю. И., Мартиросан Р. М. Экспериментальное исследование устойчивости токонесущей пластинки в магинтном поле. Ита. АН Арм.ССР, Механика, 1974, 27, № 6, с. 68—73.
- Либарцумян С. 1. Белубекан М. В. К задаче колебаний зоконесущей пластинкиполосы В ки: 1р. Х Всесоюзной конф по теории оболочен и пластин. Тбылиси, Менинереба, 1975, с. 3—10.
- 12. Смирнов В. И. Курс высшей математики, т. 3, ч. 2. М., «Наука», 1974, 672 с.